

สำนักหอสมุดกลาง พระจอมเกล้าลาดกระบัง

การสร้างวงจรกรองสัญญาณเชิงเลข 2 มิติ โดย

DISTRIBUTED ARITHMETICS

IMPLEMENTATION OF 2-D DIGITAL FILTER-BASED

DISTRIBUTED ARITHMETICS



นายสมจินต์ ทองปลิว

MR. SOMCHIN THONGPLEW

วิทยานิพนธ์
ห้ามนำออกนอกห้องสมุด

วิทยานิพนธ์นี้เป็นส่วนหนึ่งของการศึกษาตามหลักสูตรปริญญาวิศวกรรมศาสตรมหาบัณฑิต

สาขาวิชาวิศวกรรมไฟฟ้า

บัณฑิตวิทยาลัย

สถาบันเทคโนโลยีพระจอมเกล้าเจ้าคุณทหารลาดกระบัง

พ.ศ. 2538

ISBN 974-621-257-5

ลิขสิทธิ์ของบัณฑิตวิทยาลัย สถาบันเทคโนโลยีพระจอมเกล้าเจ้าคุณทหารลาดกระบัง

ไม่ว่ากรณีใดๆทั้งสิ้น อีกทั้งห้ามมิให้ตัดแปลงเนื้อหา และต้องอ้างอิงถึงเจ้าของเอกสารทุกครั้งที่มีการนำไปใช้

IMPLEMENTATION OF 2-D DIGITAL FILTER-BASED DISTRIBUTED ARITHMETICS



A THESIS SUBMITTED IN PARTIAL FULFILLMENT
OF THE REQUIREMENTS FOR THE DEGREE
MASTER OF ELECTRICAL ENGINEERING
GRADUATE SCHOOL
KING MONGKUT 'S INSTITUTE OF TECHNOLOGY LADKRABANG

1995

เอกสารนี้เป็นเอกสารที่สงวนไว้สำหรับการใช้ส่วนตัวเท่านั้น ไม่อนุญาตให้นำไปใช้ประโยชน์ด้านการค้า
ISBN 974-621-257-5
ไม่ว่ากรณีใดๆทั้งสิ้น อีกทั้งห้ามมิให้ดัดแปลงเนื้อหา และต้องอ้างอิงถึงเจ้าของเอกสารทุกครั้งที่มีการนำไปใช้

หัวข้อวิทยานิพนธ์

การสร้างวงจรรองสัญญาณเชิงเลข 2 มิติโดย

Distributed Arithmetics

นักศึกษา

นายสมจินต์ ทองปลิว

อาจารย์ผู้ควบคุมวิทยานิพนธ์

รศ.ดร.กอบชัย เดชหาญ

ระดับการศึกษา

วิศวกรรมศาสตรมหาบัณฑิต สาขาวิศวกรรมไฟฟ้า

ภาควิชา

วิศวกรรมโทรคมนาคม สถาบันเทคโนโลยีพระจอมเกล้า

เจ้าคุณทหารลาดกระบัง

พ.ศ.

2538

บทคัดย่อ

วิทยานิพนธ์นี้จะเกี่ยวกับวงจรรองสัญญาณเชิงเลข (digital filter) ซึ่งเป็นแขนงหนึ่งของการประมวลผลสัญญาณเชิงเลข (digital signal processing) โดยปกติแล้วจะเป็นวิชาที่เกี่ยวข้องกับคณิตศาสตร์ในรูปของทฤษฎี และอัลกอริทึมต่าง ๆ แต่บทความนี้จะแสดงให้เห็นวิธีการนำเอาฮาร์ดแวร์เข้าไปประยุกต์ใช้กับงานการกรองสัญญาณเชิงเลขสองมิติแบบ Low-pass filtering, High-pass filtering, Sobel edge detector และ Laplacian filtering โดยใช้วิธีการหนึ่งที่ว่า การกระจายทางคณิตศาสตร์ (Distributed Arithmetics, DA) ซึ่งเป็นวิธีที่ทำให้ฟังก์ชันถ่ายโอน (transfer function) ของวงจรรองสัญญาณเชิงเลขแปลงไปสู่วงจรรีเลย์ทรอนิกส์ได้ในรูปของการเปิดตาราง อีกทั้งยังแก้ไขข้อมูลที่ผิดพลาดจากการประมวลผลสัญญาณของ DA แบบเก่า วิธีการนี้จะช่วยให้เห็นรูปแบบทางฮาร์ดแวร์ที่ประมวลผลข้อมูลด้วยความเร็วสูง และถูกต้องมากขึ้น

Thesis Title	Implementation of 2-D digital filter-based Distributed Arithmetics
Student	Mr.Somchin Thongplew
Thesis Advisor	Assoc. Prof. Dr. Kobchai Dejhan
Level of Study	Master of Electrical Engineering
Department	Communication Engineering King Mongkut 's Institute of Technology Ladkrabang
Year	1995

ABSTRACT

This thesis describes the digital filtering, it is a part of Digital Signal Processing (DSP) section. Generally, DSP is presented by arithmetics and algorithms. This paper proposes an implementation of two dimensional low pass filter, high pass filter, Sobel edge detector and Laplacian filter by using the method so called distributed arithmetics with this method the transfer function is transformed into a look up table. Not only the ease in implementation, the proposed method has also included the error-checking procedure. The implementation with conventional LSI chips shows its functionality perfectly.

กิตติกรรมประกาศ

วิทยานิพนธ์ฉบับนี้สำเร็จลุล่วงไปด้วยดี ผู้ทำวิจัยขอกราบขอบพระคุณ คุณพ่อบัญญัติ ทองปลิว และคุณแม่มาลี ทองปลิว ที่ให้ความอุปการะในทุก ๆ ด้าน

ขอกราบขอบพระคุณท่านอาจารย์ รศ.ดร.กอบชัย เดชหาญ ที่ได้คำแนะนำตลอดจนช่วยเหลือด้านเอกสารข้อมูลอันเป็นประโยชน์ต่องานวิจัย ขอขอบคุณ คุณอาโมทย์ สมบูรณ์แก้ว ที่ช่วยเหลือทางด้านข้อมูลภาพถ่ายและแนะนำเทคนิคการเขียนโปรแกรม

นายสมจันต์ ทองปลิว



เอกสารนี้เป็นเอกสารที่สงวนไว้สำหรับการใช้งานเพื่อการศึกษาเท่านั้น ไม่อนุญาตให้นำไปใช้ประโยชน์ด้านการค้า ไม่ว่าจะกรณีใดๆทั้งสิ้น อีกทั้งห้ามมิให้ดัดแปลงเนื้อหา และต้องอ้างอิงถึงเจ้าของเอกสารทุกครั้งที่มีการนำไปใช้

สารบัญ

บทคัดย่อภาษาไทย.....	I
บทคัดย่อภาษาอังกฤษ.....	II
กิตติกรรมประกาศ.....	III
สารบัญ.....	IV
สารบัญตาราง.....	VI
สารบัญภาพ.....	VII

บทที่ 1 บทนำ	1
1.1 ทฤษฎีเบื้องต้น.....	1
1.2 ข้อได้เปรียบและข้อด้อยของการประมวลผลเชิงเลข	4
1.3 บทนิยามของคำศัพท์เทคนิคในระบบการประมวลผลเชิงเลข	6
1.4 ทฤษฎีการสุ่มตัวอย่าง	7
1.5 ทฤษฎีเบื้องต้นเกี่ยวกับการกรองสัญญาณเชิงเลข	8
1.5.1 สมการแตกต่างเชิงเส้นสัมประสิทธิ์คงที่	8
1.5.2 การสร้างวงจรกรองความถี่ดิจิทัล	9
1.6 การประมวลสัญญาณภาพ (Image Processing)	11
1.6.1 องค์ประกอบของระบบประมวลข้อมูลภาพดิจิทัล	12
1.6.2 การเพิ่มความชัดเจนของภาพ (Image Enhancement)	14

บทที่ 2 การกระจายทางคณิตศาสตร์	17
2.1 ระบบตัวเลข	17
2.2 ทฤษฎีการกระจายทางคณิตศาสตร์	18
2.3 โครงสร้างของวงจรกรองอันดับสองโดยวิธีการกระจายทางคณิตศาสตร์.....	22
2.4 โครงสร้างของวงจรกรอง 2 มิติโดยวิธีการกระจายทางคณิตศาสตร์	24

บทที่ 3 การออกแบบ	28
3.1 การติดต่อตัวประมวลผลกับคอมพิวเตอร์	28
3.2 การออกแบบวงจรหน่วงเวลาข้อมูลภาพโดยใช้แรม.....	28
3.3 การออกแบบวงจรหน่วงข้อมูลภาพความเร็วสูง	32

เอกสารนี้เป็นเอกสารทสงวนไว้สำหรับการใช้งานเพื่อการศึกษาเท่านั้น ไม่นำไปเผยแพร่โดยไม่ได้รับอนุญาต

ไม่ว่ากรณีใดก็ตาม ห้ามนำไปตีพิมพ์หรือเผยแพร่โดยไม่ได้รับอนุญาตจากเจ้าของเอกสารทุกครั้งที่มีการนำไปใช้

3.3 การออกแบบข้อมูลลงหน่วยความจำ.....	33
3.4 การออกแบบวงจรการกระจายทางคณิตศาสตร์.....	36
บทที่ 4 การประยุกต์ใช้งาน	39
4.1 การกระจายทางคณิตศาสตร์กับการกรองสัญญาณภาพ.....	39
4.1.1 การกระจายทางคณิตศาสตร์กับการกรองความถี่สูงผ่าน.....	41
4.1.2 การกระจายทางคณิตศาสตร์กับการกรองความถี่ต่ำผ่าน	43
4.2 การกระจายทางคณิตศาสตร์กับ Sobel Edge Detector.....	44
4.3 การกระจายทางคณิตศาสตร์กับ Binary image edge detector.....	45
บทที่ 5 แนวทางพัฒนา	51
5.1 การพัฒนาการกระจายทางคณิตศาสตร์กับวงจรกรองอันดับสูง	51
5.2 การพัฒนาการกระจายทางคณิตศาสตร์กับตัวกรองสองมิติแบบป้อนกลับ.....	54
บทที่ 6 สรุปผลและข้อเสนอแนะ	57
ผลงานที่ได้รับการตีพิมพ์.....	59
เอกสารอ้างอิง.....	60
โปรแกรมที่ใช้ในการทดลอง	61
วงจรที่ใช้ในการทดลอง.....	78
- วงจรเชื่อมต่อกับคอมพิวเตอร์.....	79
- วงจรจัดลำดับสัญญาณ 2 มิติ.....	80
- วงจรการกระจายทางคณิตศาสตร์.....	87
- วงจรกรองสัญญาณแบบลาปลาซเชียล	93
ภาคผนวก	94

เอกสารนี้เป็นเอกสารที่สงวนไว้สำหรับการใช้งานเพื่อการศึกษาเท่านั้น ไม่อนุญาตให้นำไปใช้ประโยชน์ด้านการค้า
ไม่ว่ากรณีใดทั้งสิ้น อีกทั้งห้ามมิให้ดัดแปลงเนื้อหา และต้องอ้างอิงถึงเจ้าของเอกสารทุกครั้งที่มีการนำไปใช้

สารบัญตาราง

ตารางที่

หน้า

- | | |
|--|----|
| 1. ตารางข้อมูลของโครงสร้าง DA แบบ 1 BAAT,..... | 21 |
| 2. ตารางการสร้างข้อมูลของตัวประมวลผล..... | 34 |
| 3. ตารางเปรียบเทียบเวลาประมวลผล..... | 57 |



สารบัญญภาพ

หน้า

1. โครงสร้างของการประมวลสัญญาณเชิงเลข.....	1
2. โครงสร้างเบื้องต้นของวงจรกรองสัญญาณเชิงเลข.....	10
3. แสดงค่าของฟังก์ชัน $f(x,y)$ ในระบบภาพดิจิทัล.....	11
4. แสดงองค์ประกอบของระบบประมวลภาพดิจิทัล.....	12
5. โครงสร้างของ DA เบื้องต้น.....	21
6. โครงสร้างวงจรกรองสัญญาณเชิงเลขอันดับสองแบบ DA 1 BAAT.....	22
7. โครงสร้างตัวประมวลสัญญาณ 2 มิติที่ใช้ทั่วไป.....	24
8. โครงสร้างตัวประมวลสัญญาณ 2 มิติแบบ DA 1 BAAT.....	26
9. โครงสร้างตัวประมวลสัญญาณ 2 มิติแบบ DA Full Parallel.....	27
10. การเชื่อมต่อวงจร DA กับคอมพิวเตอร์.....	28
11. โครงสร้างตัวจัดลำดับข้อมูล 2 มิติขนาด 3×3 สำหรับภาพ 256×256	29
12. Timing Diagram ของวงจรหน่วงข้อมูลโดยใช้แรม.....	31
13. วงจรหน่วงข้อมูลโดยใช้แรม.....	31
14. โครงสร้างตัวจัดลำดับข้อมูลภาพความเร็วสูง.....	33
15. Timing Diagram ของวงจรกรอง 2 มิติแบบ DA 1 BAAT.....	37
16. วงจรกรองสัญญาณภาพ DA Full Parallel ที่ใช้ในการทดลอง.....	40
17. ผลตอบสนองทางอิมพัลส์ของตัวกรองความถี่สูงผ่าน.....	41
18. ผลการทดลองใช้ DA กับตัวกรองความถี่สูงผ่าน.....	42
19. ผลตอบสนองทางอิมพัลส์ของตัวกรองความถี่ต่ำผ่าน.....	43
20. ผลการทดลองใช้ DA กับตัวกรองความถี่ต่ำผ่าน.....	44
21. โครงสร้างการทำงานของ Sobel edge detector.....	45
22. ผลการทดลองใช้ DA กับ Sobel edge detector.....	46
23. วงจรกรองสัญญาณภาพสองระดับที่ใช้ในการทดลอง.....	49
24. ผลการทดลองใช้ DA กับ Laplacian edge detector.....	50

บทที่ 1

ทฤษฎีเบื้องต้น

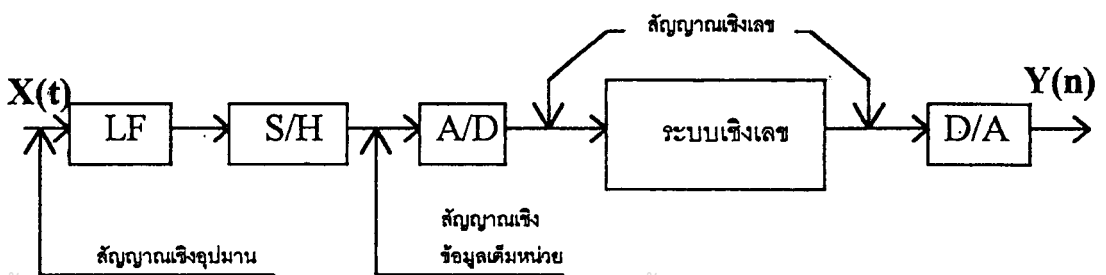
1.1 บทนำ

การประมวลผลสัญญาณที่เรียกว่า ดิจิตอลซิกแนลโปรเซสซิง (Digital Signal Processing)[11] หรือใช้ตัวย่อว่า DSP เป็นขบวนการที่ใช้ความรู้ทางคณิตศาสตร์เกี่ยวกับตัวเลขมาทำการจัดการกับสัญญาณต่าง ๆ โดยปกติการจัดการสัญญาณที่เป็นอะนาลอกเป็นทั้งขบวนการแบบเชิงเส้นและไม่เชิงเส้น มีอุปกรณ์ช่วยในการประมวลผลสัญญาณอยู่มาก เช่น ตัวต้านทาน ตัวเก็บประจุ ทรานซิสเตอร์ ออปแอมป์ และอุปกรณ์อิเล็กทรอนิกส์อีกมากมาย ฯลฯ การสร้างและประมวลผลสัญญาณเหล่านั้น สามารถประมวลให้ได้ผลลัพธ์ตามต้องการด้วยขบวนการทางดิจิตอล และนี่เป็นเหตุผลที่ทำให้บทบาทของ DSP จะเพิ่มมากขึ้นเป็นลำดับ จนสามารถนำมาประยุกต์ใช้งานได้อย่างกว้างขวางต่อไป ทั้งนี้เพราะอุปกรณ์ที่เกี่ยวกับ DSP เริ่มมีราคาถูกลงและทำงานได้รวดเร็วยิ่งขึ้น การประยุกต์ใช้งานที่พบเห็นได้มากได้แก่ เรื่องต่าง ๆ ต่อไปนี้

- ฟิลเตอร์ อะแดปทีฟฟิลเตอร์ อีควอลไลเซอร์ และตัวเลื่อนเฟส
- มิกเซอร์ มอดูเลเตอร์ และตัวเปรียบเทียบเฟส
- วงจรกำเนิดสัญญาณ ออสซิลเลเตอร์ปรับค่าได้ และแหล่งสัญญาณรบกวน
- ฟาสฟูเรียร์ทรานส์ฟอร์ม (Fast Fourier Transform)
- อุปกรณ์ไม่เชิงเส้น ลิมิเตอร์ คอมพาราเตอร์
- การควบคุม วงจรควบคุมแบบต่าง ๆ เซอร์โว ฯลฯ
- วงจรประมวลผลสัญญาณภาพ เสียงพูด ฯลฯ

การประมวลผลสัญญาณในรูปแบบ DSP จะใช้ไมโครโปรเซสเซอร์ที่มีความเร็วสูง ดังนั้นจึงประยุกต์ใช้งานได้ง่าย และเป็นการออกแบบระบบด้วยซอฟต์แวร์ ดังนั้นจึงมีการนำไปใช้ในงานด้านต่าง ๆ ที่เป็นผลิตภัณฑ์สำเร็จรูปหลายอย่าง เช่น โมเด็ม อุปกรณ์โทรศัพท์ วงจรสังเคราะห์เสียง วงจรควบคุมขบวนการผลิต ฯลฯ การประมวลผลสัญญาณอะนาลอกจึงประกอบด้วยขั้นตอนต่าง ๆ ดังนี้

1. สุ่มสัญญาณอะนาลอกที่เป็นอินพุต ออกเป็นสัญญาณอะนาลอกแบบเป็นช่วง ๆ
2. เปลี่ยนสัญญาณอะนาลอกเป็นสัญญาณดิจิตอล
3. ประมวลผลข้อมูลดิจิตอลนั้นตามอัลกอริทึมทางคณิตศาสตร์
4. แปลงผลลัพธ์จากดิจิตอลกลับเป็นอะนาลอกใหม่



กล่าวโดยทั่วไปการประมวลผลสัญญาณก็คือการนำเอาสัญญาณมาเข้าระบบการประมวลผลที่ข้างในประกอบขึ้นด้วยระบบอุปกรณ์ที่ทำปฏิบัติการทางคณิตศาสตร์ อาทิเช่น การบวกสัญญาณ การคูณ การหาร ถอดรากที่สอง หรือ การอินทิเกรตสัญญาณ ซึ่งอาจเป็นปฏิบัติการอย่างใดอย่างหนึ่ง หรือ ผสมผสานกันแล้วแต่ความยุ่งยากของระบบแต่เดิมนั้นเรานิยมใช้ระบบการประมวลผลสัญญาณในรูปแบบระบบการประมวลผลสัญญาณเชิงอุปมาน ซึ่งสัญญาณเข้า และ ออก จากระบบเป็นสัญญาณต่อเนื่องหรือเชิงอุปมาน ส่วนปฏิบัติการทางคณิตศาสตร์ทำโดยการใช้วงจรเชิงเส้นที่อาจต่อโดยใช้กลอุปกรณ์อิเล็กทรอนิกส์ (เช่น ทรานซิสเตอร์ หรือ ออปแอมป์) และ กลอุปกรณ์พาสซีฟ (เช่น ตัวความต้านทาน ตัวเก็บประจุ หรือ ตัวอินดักเตอร์) ข้อดีของระบบการประมวลผลแบบนี้ก็คือ ราคาถูก การออกแบบทำได้ง่าย เนื่องจากมีการค้นคิดวิธีการ และ ทำบันทึกหรือตารางไว้มากมาย อย่างไรก็ตามจุดจำกัดของระบบการประมวลผลสัญญาณเชิงอุปมานอยู่ที่ ประสิทธิภาพ และ ความแม่นยำ ในการประมวลผลที่มีความละเอียดมากได้ นอกจากนี้คุณสมบัติของกลอุปกรณ์ก็ยังแปรค่าตามสภาวะแวดล้อม เช่น อุณหภูมิ อายุการใช้งาน ความชื้นทำให้ความเชื่อถือได้ของระบบมีได้แค่ระดับหนึ่งเท่านั้น และยังมีสิ่งรบกวนมากด้วย ผลจากพัฒนาการทางเทคโนโลยีการออกแบบ และผลิตรวม ทำให้กลอุปกรณ์เชิงเลข เช่น คอมพิวเตอร์ ไมโครคอมพิวเตอร์ ไมโครโปรเซสเซอร์ อุปกรณ์ลอจิกเกต หรือ อุปกรณ์สนับสนุนต่าง ๆ มีราคาถูกลงเป็นอย่างมาก อีกทั้งประสิทธิภาพดีขึ้นมาก ทำให้ความสนใจในการนำเอาระบบประมวลผลเชิงเลขมาทำการประมวลผลสัญญาณมากขึ้น และเริ่มนำเข้ามาทดแทนระบบการประมวลผลเชิงอุปมานเดิมมากขึ้นเป็นลำดับ ผลที่ได้ก็คือ ได้ระบบการประมวลผลสัญญาณที่มีประสิทธิภาพ และความเชื่อถือได้สูง และราคาไม่แพงอีกต่อไป อย่างไรก็ตามถึงแม้แนวคิดในการประมวลผลสัญญาณก็ยังเป็นการนำเอาสัญญาณมาทำปฏิบัติการทางคณิตศาสตร์ แต่เนื่องจากสัญญาณเข้าระบบเป็นแบบเชิงเลขที่ได้จากการสุ่มตัวอย่างสัญญาณเดิมแล้วทำการแปลงเป็นตัวเลข การทำอย่างนี้ทำให้ธรรมชาติของสเปกตรัมของสัญญาณเปลี่ยนไป การวิเคราะห์และออกแบบจึงไม่สะดวกที่จะใช้ชุดเครื่องมือทางคณิตศาสตร์ของระบบเชิงอุปมานเดิม เช่น การแปลงลาปลาซ หรือ สมการดิฟเฟอเรนเชียลได้ ดังนั้นการเรียนรู้ถึงการวิเคราะห์การออกแบบระบบการประมวลผลสัญญาณเชิงเลข เราจึงต้องทำความเข้าใจกับเครื่องมือทางคณิตศาสตร์ที่ใช้ในสาขาวิชานี้ เช่น การแปลง-แซด และสมการผลต่างสืบเนื่อง เป็นต้น ซึ่งสิ่งเหล่านี้มีพัฒนาการมาจากระบบเชิงอุปมานนั่นเอง

โดยทั่วไปจากกล่าวได้ว่างานวิจัยออกแบบ และพัฒนาในสาขาวิชาการประมวลผลสัญญาณเชิงเลข (Digital Signal Processing : DSP) อาจแบ่งได้เป็น 2 หัวข้อใหญ่ คือ

1. การกรองเชิงเลข (Digital Filtering): ความจริงแล้ว การกรองเชิงเลขอาจมีอยู่หลายประเภทด้วยกัน อย่างไรก็ตามสำหรับในงานวิจัยนี้เราสนใจเฉพาะการกรองเชิงเลขแบบเป็นระบบเชิงเส้น ซึ่งมีตัวกรองอยู่ 2 ชนิด คือ ตัวกรองไม่ป้อนกลับเชิงเลข (non-recursive filter) และ ตัวกรองป้อนกลับเชิงเลข (recursive digital filter) ตัวกรองทั้ง 2 ชนิดเป็นวงจรพื้นฐานของวงจรกรองเชิงเลขแบบอื่น ๆ รายละเอียดเกี่ยวกับคุณสมบัติ

หลักการออกแบบ หลักการสร้างจะได้กล่าวถึงในบทต่อ ๆ ไป

2. การแปลงเชิงเลข (Digital Transform): การแปลงเชิงเลขโดยเฉพาะ การแปลงฟูรีเยอร์เต็มหน่วย (Discrete Fourier Transform : DFT) ที่ทำการประมวลผลโดยใช้ขั้นตอนวิธีที่เรียกว่า การแปลงฟาสต์ฟูรีเยอร์ (Fast Fourier Transform : FFT) มีส่วนทำให้ การประมวลผลสัญญาณเชิงเลขได้รับความนิยมมากขึ้น

ตัวอย่างการนำไปประยุกต์ใช้ของกรประมวลผลสัญญาณเชิงเลขมีให้เห็นอยู่มากในปัจจุบัน เช่น เทคนิคการสื่อสารเชิงเลขซึ่งอาจเป็น การผสมสัญญาณ (modulation) หรือ การเข้ารหัส (coding) สัญญาณเชิงเลข นอกจากนี้ก็ยังใช้ในระบบควบคุมเชิงเลข (digital control system) และอุปกรณ์เครื่องมือวัดเชิงเลข (digital instrumentation) เป็นต้น โดยทั่วไปแล้วการประมวลผลสัญญาณเชิงเลขอาจ หมายถึง

(ก) การประมวลผลเชิงเลขของสัญญาณใด ๆ ที่ไม่ได้อยู่ในรูปสัญญาณเชิงเลข หรือ

(ข) การประมวลผล (ด้วยวิธีใดก็ตาม) ของสัญญาณที่อยู่ในรูปแบบสัญญาณเชิงเลขแล้ว

ความหมายในข้อ (ก) นั้น หมายถึง การประมวลผลสัญญาณในธรรมชาติทั่วไป ซึ่งสัญญาณในธรรมชาตินั้นปกติอยู่ในรูปแบบ สัญญาณเชิงอุปมาน (analog signal) ก่อนการประมวลผลต้องทำการแปลงสัญญาณเชิงอุปมานให้เป็นสัญญาณเชิงเลขเสียก่อน ส่วนความหมายในข้อ (ข) เป็นการประมวลผลสำหรับสัญญาณที่มาจากอุปกรณ์เชิงเลข เช่น คอมพิวเตอร์ หรือ ระบบควบคุมเชิงเลข สัญญาณจากอุปกรณ์เหล่านี้เป็นแบบสัญญาณเชิงเลขอยู่แล้วจึงไม่จำเป็นต้องมีการแปลงสัญญาณอีก

เหตุผลสำคัญที่ทำให้การประมวลผลสัญญาณเชิงเลข เริ่มได้รับความสนใจมากขึ้นก็เนื่องมาจากเทคโนโลยีในการสร้างวงจรรวม หรือ วงจรไอซี (integrated circuit) สามารถทำได้อย่างมีประสิทธิภาพดีขึ้นมาก วงจรยุ่งยาก และมีขนาดใหญ่สามารถนำมาสร้างเป็นวงจรรวมที่ผลิตบนสารกึ่งตัวนำขึ้นเดียวกันได้ และสามารถผลิตครั้งละจำนวนมากขึ้นได้ จึงทำให้ราคาต่อวงจรถูกเป็นอย่างมาก โดยเฉพาะอย่างยิ่งวงจรรวมแบบวีแอลเอสไอ (VLSI : Very Large Scale Integration) สำคัญ ๆ เช่น ไมโครโปรเซสเซอร์ (microprocessor) ซึ่งมีราคาถูกลงมากและมีผู้สนใจนำมาทำเป็นตัวประมวลผลสัญญาณมากขึ้นนอกจากนี้ การประมวลผลเชิงเลขยังให้ความเชื่อถือได้ (reliability) และความแม่นยำในการคำนวณ (accuracy) ดีกว่าการประมวลผลสัญญาณเชิงอุปมานมาก

เนื่องจากการประมวลผลสัญญาณเชิงอุปมานได้มีการศึกษาวิจัย และมีการพัฒนากันมานาน ทำให้อุปกรณ์ และระบบวงจรที่ใช้กันอยู่ในปัจจุบันอยู่ในรูปแบบของการประมวลผลสัญญาณเชิงอุปมานเกือบทั้งหมด การที่จะออกแบบสร้างระบบประมวลผลสัญญาณใหม่ ให้อยู่ในรูปแบบของการประมวลผลสัญญาณเชิงเลข อุปกรณ์ใหม่นั้นก็ต้องสามารถเชื่อมโยงกับอุปกรณ์เดิมซึ่งเป็นระบบการประมวลผลเชิงอุปมานได้ ดังนั้นความพยายามของนักวิจัยสมัยแรก ก็คือ การวิจัย และ ศึกษาเพื่อหาวิธีที่นำเอาความสัมพันธ์นี้ได้แก่ สาขา วิชาทฤษฎีโครงข่าย (network theory) กับ ทฤษฎีกราฟ (graph theory) สาขาวิชาการทำนายข้อมูล (data prediction) กับ การอัดแถบความถี่ปฏิบัติงาน (bandwidth compression) สาขาวิชา

การแปลงฟูรีเยอร์ (Fourier transform) กับ การแปลงฮาดามาร์ด (Hadamard transform) หรือ สาขาวิชา

เอกสารนี้เป็นเอกสารที่สงวนไว้สำหรับการศึกษาเท่านั้น ไม่นับญาติให้มาไปใช้ประโยชน์ด้านการค้า

ไม่ว่ากรณีใดทั้งสิ้น อีกทั้งห้ามมิให้ดัดแปลงเนื้อหา และต้องอ้างอิงถึงเจ้าของเอกสารทุกครั้งที่มีการนำไปใช้

การกรองเชิงเลข (digital filter) กับ การกรองเชิงอุปมาน (analog filter) เป็นต้น ซึ่งในแต่ละสาขาวิชาที่กล่าวถึงนี้เป็นที่รู้จักกันเป็นอย่างดี และ มีการประยุกต์ใช้กันมากในปัจจุบัน

1.2 ข้อได้เปรียบและข้อด้อยของการประมวลผลสัญญาณเชิงเลข

อาจกล่าวได้ว่า ข้อเด่นเป็นอย่างมากของการประมวลผลสัญญาณเชิงเลขก็คือ ความเที่ยงตรง ความแม่นยำในการประมวลผล อย่างไรก็ตามการนำเอาระบบประมวลผลสัญญาณเชิงเลขมาใช้ร่วมกับระบบการประมวลผลสัญญาณเชิงอุปมานที่ยังมีการใช้กันมากในปัจจุบัน ก็ต้องมีข้อเสียเปรียบอยู่มากเช่นกัน ดังนั้นการกล่าวถึงข้อได้เปรียบและข้อด้อย บางประการของการประมวลผลสัญญาณเชิงเลขก็อาจเป็นประโยชน์บ้างและนอกจากนี้ยังเป็นการให้ภาพอย่างกว้าง ๆ แก่ผู้ที่จะนำเอาระบบประมวลผลสัญญาณเชิงเลขไปประยุกต์ใช้ได้อย่างเหมาะสมยิ่งขึ้น

- ข้อดีของการประมวลผลสัญญาณเชิงเลข

ข้อได้เปรียบของการประมวลผลสัญญาณเชิงเลขอาจกล่าวได้เป็นหัวข้อดังนี้

1.เหมาะสำหรับอุปกรณ์ที่ข้อมูลอยู่ในรูปแบบสัญญาณเชิงเลขอยู่แล้วเช่น ผลลัพธ์จากคอมพิวเตอร์ ไมโครโปรเซสเซอร์ หรือ ข้อมูลจากระบบควบคุมเชิงเลข เป็นต้น ทั้งนี้เนื่องจากสัญญาณหรือข้อมูลจากอุปกรณ์เหล่านี้ถ้าหากต้องนำไปประมวลผลในระบบประมวลผลสัญญาณเชิงอุปมานก็จำเป็นต้องมีวงจรแปลงรูปแบบสัญญาณเชิงเลขเป็นเชิงอุปมาน (Digital to Analog converter : D/A) เพื่อแปลงสัญญาณเชิงเลขให้เป็นเชิงอุปมานก่อน หลังจากประมวลผลด้วยระบบประมวลผลเชิงอุปมานแล้วก็ต้องแปลงผลลัพธ์ที่เป็นสัญญาณเชิงอุปมานไปเป็นสัญญาณเชิงเลขด้วย วงจรแปลงรูปแบบสัญญาณเชิงอุปมานเป็นเชิงเลข (Analog to Digital converter : A/D) เพื่อส่งกลับไปยังอุปกรณ์เชิงเลขต่อไปซึ่งจะเห็นว่าระบบประมวลผลมีความซับซ้อนมากขึ้น นอกจากนี้ถ้าหากเป็นระบบที่ต้องการทำการประมวลผลสัญญาณพร้อมกันหลายสัญญาณ (ซึ่งในคอมพิวเตอร์มักทำในลักษณะนี้) ก็จะทำให้ระบบยุ่งยากมากขึ้นอีกทั้งในปัจจุบัน A/D หรือ D/A ที่มีประสิทธิภาพสูงและมีความเร็วในการแปลงสูงมีราคาแพง

2. อุปกรณ์ทางด้านเชิงเลขหรือ ดิจิตอล มีราคาถูก ขนาดเล็ก มีประสิทธิภาพสูง ความแม่นยำและความแม่นยำสูง นอกจากนี้การพัฒนาให้มีประสิทธิภาพสูงขึ้นก็เป็นไปอย่างรวดเร็ว ข้อนี้เป็นข้อได้เปรียบที่สำคัญ เพราะว่าการประมวลผลสัญญาณเชิงเลขสามารถคำนวณได้อย่างแม่นยำ และต้องการให้มีความละเอียดเท่าใดก็ได้ แต่สำหรับการประมวลผลเชิงอุปมาน การคำนวณที่ให้ความละเอียดเกินกว่าหนึ่งในพันส่วน หรือ 0.001 นั้นทำได้ยากมาก นอกจากนี้อุปกรณ์ (device) ของการประมวลผลเชิงอุปมาน เช่น ตัวความต้านทาน ตัวขยายสัญญาณ ยังมีคุณสมบัติการแปรค่าไปตามสภาวะแวดล้อม เช่น อุณหภูมิ ความชื้น อายุการใช้งานด้วย ทำให้ความแม่นยำ และความเชื่อถือได้ของระบบการประมวลผลสัญญาณเชิงอุปมานต่ำ อย่างไรก็ตามในปัจจุบัน การประมวลผลเชิงเลขที่ให้ความแม่นยำสูงต้องใช้อุปกรณ์ราคาแพง ถ้าหากมีการพัฒนาให้อุปกรณ์ประมวลผลเชิงเลขมีราคาถูกก็จะเป็นการผลดีอย่างยิ่ง

เอกสารนี้เป็นเอกสารที่สงวนไว้สำหรับการใช้งานเพื่อการศึกษาเท่านั้น เมื่อนำไปใช้ประโยชน์ด้านการค้า

ไม่ว่ากรณีใดทั้งสิ้น อีกทั้งห้ามมิให้ดัดแปลงเนื้อหา และต้องอ้างอิงถึงเจ้าของเอกสารทุกครั้งที่มีการนำไปใช้

3. การรับและส่งข้อมูลหรือสัญญาณเชิงเลขทำได้แน่นอนกว่า ทั้งนี้เนื่องจากสัญญาณเชิงเลขมีแค่ 2 ระดับ คือ ศูนย์ (0) กับหนึ่ง (1) เท่านั้น ถ้าหากรูปคลื่นสัญญาณผิดเพี้ยนไปก็สามารถแก้ไข และสร้างขึ้นมาใหม่ให้เหมือนเดิมได้โดยง่าย

4. การประมวลผลสัญญาณเชิงเลขทำได้ง่าย ทั้งนี้เนื่องจากขั้นตอนวิธี (algorithm) การประมวลผลสัญญาณมักประกอบด้วย การบวก การลบ การคูณ การหาร และการเลื่อนตัวเลขเท่านั้น ซึ่งข้อความนี้สามารถเห็นจริงได้ในบทต่อ ๆ ไป

5. ระบบประมวลผลสัญญาณเชิงเลข สามารถทำเป็นแบบระบบแบ่งส่วนเวลา (time-shared system) ได้ ดังนั้นจึงสามารถทำการประมวลผลได้พร้อม ๆ กันหลายช่องสัญญาณได้ และนอกจากนี้ในระบบเดียวกันยังสามารถโปรแกรมให้ทำงานได้หลายรูปแบบด้วย

6. ระบบประมวลผลสัญญาณเชิงเลขมีความคล่องตัวสูง ทั้งนี้เนื่องจากสามารถทำการ มัลติเพล็กซ์กับข้อมูลหรือ สัญญาณเสียงหรือ สัญญาณภาพได้ การมัลติเพล็กซ์ยังสามารถทำเป็นแบบ การมัลติเพล็กซ์แบบแบ่งเวลา (Time Division Multiplex : TDM) หรือ การมัลติเพล็กซ์แบบแบ่งรหัส (Code Division Multiplex : CDM) ได้

- ข้อดีของการประมวลผลเชิงเลข

นอกจากข้อดีที่กล่าวมา การประมวลผลสัญญาณเชิงเลขทำให้เกิดข้อดีหลายประการคือ

1. ระบบการประมวลผลสัญญาณเชิงเลขต้องมีสัญญาณสำหรับการซิงค์ (synchronization) การจับเวลา (timing) และ การกำหนดขอบ (framing) ของข้อมูลไว้ด้วย ถ้าหากสัญญาณเหล่านี้สูญหายหรือผิดพลาดไป การทำงานของระบบก็จะผิดพลาดไปด้วย

2. มีปัญหาการเชื่อมต่อ (interfacing) กับระบบการประมวลผลสัญญาณเชิงอุปมาน ทั้งนี้เนื่องมาจากระบบประมวลผลสัญญาณแบบเดิม ส่วนมากอยู่ในรูปแบบระบบเชิงอุปมาน ดังนั้นระบบที่สร้างขึ้นใหม่ก็ต้องสามารถเชื่อมต่อกับระบบเดิมให้ได้ ซึ่งอาจทำให้ระบบประมวลผลสัญญาณซับซ้อนขึ้น

3. สัญญาณหรือข้อมูลเชิงเลขไม่ใช่สัญญาณตามธรรมชาติที่แท้จริงแต่ถูกสร้างขึ้นมา ดังนั้นการส่งสัญญาณชนิดนี้ไปในตัวกลางตามธรรมชาติทั่วไป ซึ่งมักมีแถบความถี่ปฏิบัติงาน (bandwidth) จำกัด และยังมีผลตอบสนองของเฟสไม่เป็นเชิงเส้น (non-linear phase response) จึงอาจทำให้สัญญาณเกิดความผิดเพี้ยนได้ เช่น เมื่อเราส่งสัญญาณรูปเหลี่ยมไปบนสายส่ง สัญญาณที่รับได้ไม่เป็นรูปเหลี่ยมเหมือนเดิม

4. เนื่องจากเราต้องการออกแบบระบบประมวลผลสัญญาณเชิงเลขให้มีความคล่องตัวสูง สามารถใช้งานได้หลายรูปแบบ ดังนั้นอาจทำให้การออกแบบระบบประมวลผลสัญญาณเชิงเลขมีความซับซ้อนมาก ซึ่งรวมทั้งด้านการซ่อมแซม บำรุงรักษา และจัดทำคู่มือใช้งานด้วย

5. ช่วงกว้างความถี่ปฏิบัติงานของระบบประมวลผลสัญญาณเชิงเลขต่ำกว่าของระบบประมวลผลเชิงอุปมานมาก ข้อจำกัดนี้เนื่องมาจากอุปกรณ์ที่ใช้หรือประกอบขึ้นเป็นระบบการประมวลผล ไม่ว่าจะเป็นชนิดใดทั้งสิ้น อีกทั้งห้ามมิให้ดัดแปลงเนื้อหา และต้องอ้างอิงถึงเจ้าของเอกสารทุกครั้งที่มีการนำไปใช้

สัญญาณเชิงเลข เช่น วงจรเกท วงจรซีพรีจิสเตอร์ วงจรสุ่มและคงค่าสัญญาณ (Sampling and Hold circuit หรือ S/H) หรือ วงจร A/D และ D/A เป็นต้น วงจรเหล่านี้ต่างมีความเร็วสูงสุดในการทำงานจำกัดอยู่ค่าหนึ่ง ซึ่งในปัจจุบันยังมีค่าต่ำมาก จึงเป็นผลทำให้ระบบการประมวลผลเชิงเลขมีความเร็วต่ำ ตัวอย่างเช่น ถ้าใช้ไมโครโปรเซสเซอร์ที่มีสัญญาณนาฬิกาขนาด 1 เมกกะเฮิร์ต เมื่อนำไปสร้างเป็นระบบประมวลผลสัญญาณเชิงเลขจะใช้ได้กับสัญญาณที่มีความถี่สูงสุดประมาณ 10 ถึง 20 กิโลเฮิร์ต เท่านั้น อย่างไรก็ตาม เมื่อพิจารณาข้อดีและข้อด้อยต่าง ๆ นี้แล้ว ถ้าเราต้องการระบบประมวลผลสัญญาณที่มีประสิทธิภาพดี ความแม่นยำสูงโดยไม่คำนึงถึงว่าราคาจะสูงเท่าใดแล้ว ระบบการประมวลผลสัญญาณเชิงเลขก็ให้ประโยชน์ได้มาก

1.3 บทนิยามของคำศัพท์เทคนิคในระบบการประมวลผลเชิงเลข

ในการกล่าวถึงระบบ DSP ในที่นี้จะเกี่ยวข้องกับคำนิยามของคำศัพท์ทางอิเล็กทรอนิกส์ซึ่งในที่นี้ขอนิยามคำศัพท์ที่เกี่ยวข้องก่อน

1. สัญญาณเชิงอุปมาน (Analog signal) : ใช้กับการกล่าวถึงสัญญาณที่มีรูปคลื่น (waveform) แปรไปอย่างต่อเนื่องกับพิสัยเวลา โดยที่แอมพลิจูด (amplitude) หรือค่าขนาดของสัญญาณก็มีการแปรไปอย่างต่อเนื่องด้วย เช่น สัญญาณไซน์ หรือ $\sin(\omega t)$ เป็นต้น คำว่าอุปมานมีต้นกำเนิดมาจากการพัฒนาการของคอมพิวเตอร์เชิงอุปมาน (analog computer) ที่เลียนแบบปริมาณทางฟิสิกส์ต่าง ๆ (ซึ่งเป็นปริมาณแบบต่อเนื่องกับเวลา) ด้วยค่าขนาดค้ำยหรือกระแสไฟฟ้า และใช้อุปกรณ์เชิงอุปมาน เช่น วงจรขยายออปแอมป์ (op-amp) มาใช้ช่วยในการเลียนแบบ

2. สัญญาณเชิงเวลาต่อเนื่อง (Continuous-time signal) : สัญญาณแบบนี้รูปคลื่นของสัญญาณแปรค่าไปอย่างต่อเนื่องกับพิสัยเวลา แต่แอมพลิจูดไม่ได้เจาะจงว่าต้องแปรไปอย่างต่อเนื่อง ซึ่งก็หมายถึงว่าอาจแปรอย่างไม่ต่อเนื่องก็ได้ เพราะฉะนั้นอาจกล่าวได้ว่า สัญญาณเชิงอุปมานเป็นชนิดหนึ่งของสัญญาณเชิงเวลาต่อเนื่องได้

3. สัญญาณเชิงเลขเวลาเต็มหน่วย (Discrete-time signal) : เป็นสัญญาณ $x(t)$ ที่ค่าของฟังก์ชันกำหนดเฉพาะเขตของเวลาที่แน่นอนอันหนึ่งเท่านั้นสัญญาณแบบนี้อาจแบ่งตามลักษณะของแอมพลิจูดได้เป็น 2 แบบ คือ

- สัญญาณเชิงข้อมูลเต็มหน่วย (Discrete data signal) : สัญญาณแบบนี้แอมพลิจูดจะต่อเนื่อง หรือกล่าวได้ว่า แอมพลิจูดมีค่าเท่ากันทุกประการกับสัญญาณเชิงอุปมาน ที่เป็นตัวต้นแบบในการสุ่มตัวอย่าง (sampling) ตัวอย่างเช่น สัญญาณออกของวงจรสุ่มและคงค่าสัญญาณจะจัดเป็นสัญญาณเชิงเต็มหน่วย สัญญาณแบบนี้บางที่อาจเรียกว่า ข้อมูล หรือ สัญญาณเชิงเต็มหน่วย

- สัญญาณเชิงเลข (Digital signal) : สัญญาณแบบนี้แอมพลิจูดของสัญญาณมีค่าเฉพาะเขตของค่าที่แน่นอนเขตหนึ่งเท่านั้น เช่น สัญญาณที่ออกจากวงจร A/D เป็นต้น

ในระบบประมวลผลสัญญาณถ้าหากเรามีสัญญาณเชิงอุปมาน $x(t)$ แล้วเราทำการสุ่มตัวอย่างทุกคาบเวลา T วินาที ด้วยวงจร S/H เพราะฉะนั้น $x(t)$ ที่ได้จากการสุ่มตัวอย่าง หรือ มีการกำหนดค่า $x(nT)$ เฉพาะเวลาที่ $t = nT$ โดยที่ n เป็นค่าคงตัวใด ๆ สัญญาณที่จุดสัญญาณออกของวงจร S/H นี้เรียกว่าเป็นสัญญาณเชิงเต็มหน่วย เพราะว่าแอมพลิจูดยังเท่ากับสัญญาณ $x(t)$ เดิม แต่ถ้าผ่านสัญญาณ $x(nT)$ ไปยัง วงจร A/D ขนาด N บิต แล้วสัญญาณจะถูกแปลง หรือตีความเป็นเลขฐานสองที่มี 2^N ค่า โดยใช้ค่าที่ใกล้เคียงกับ $x(nT)$ มากที่สุด ตัวเลขที่ได้จากการตีความเป็นหรือเรียกว่าเป็น สัญญาณออกจากวงจร A/D นี้จะเรียกว่า สัญญาณเชิงเลข

4. ระบบเวลาจริง (Real-time system) : โดยทั่วไปคำนี้ใช้กับระบบการประมวลผลสัญญาณที่การคำนวณการประมวลผลทำได้เสร็จสิ้น ก่อนที่จะมีการสุ่มตัวอย่างสัญญาณลำดับใหม่ อย่างไรก็ตามคาบเวลาในการสุ่มตัวอย่างสัญญาณควรมีค่าน้อย

5. ลำดับ (Sequence) : บางครั้งอาจเรียกเป็นลำดับข้อมูล หรือ ลำดับสัญญาณ ซึ่งคำว่าลำดับอาจใช้แทนสัญญาณเชิงเต็มหน่วย หรือ สัญญาณเชิงเลขก็ได้

1.4 ทฤษฎีการสุ่มตัวอย่าง

อาจกล่าวได้ว่าสัญญาณในธรรมชาติส่วนมาก เช่น สัญญาณเสียง, สัญญาณการสั่นของพื้นโลก, คลื่นหัวใจ หรือ การแปรค่าไปขของอุณหภูมิ เหล่านี้เป็นไปในลักษณะแบบต่อเนื่องกับพิสัยเวลาหรือกล่าวได้ว่าเป็นสัญญาณเชิงอุปมาน การนำสัญญาณเหล่านี้ไปประมวลผลในลักษณะการประมวลผลสัญญาณเชิงเลข หรือ การประมวลผลสัญญาณเชิงเต็มหน่วย (discrete signal processing) ได้ต้องใช้ระบบการประมวลผลตามรูปที่ 1.1 ซึ่งตามรูปวงจร S/H (sample & Hold) เป็นวงจรสุ่มและคงค่าสัญญาณไว้เพื่อให้วงจร A/D ทำการแปลงเป็นตัวเลขอีกทีหนึ่ง

อย่างไรก็ตามการเปลี่ยนสัญญาณเชิงอุปมานมาเป็นสัญญาณเชิงเลขนั้น ในเบื้องต้นต้องมีการสุ่มตัวอย่างก่อน ซึ่งอัตราหรือความถี่ในการสุ่มตัวอย่างโดยไม่ทำให้สูญเสียข้อมูลสำคัญไปนั้น ทฤษฎีการสุ่มตัวอย่าง (sampling theory) ของแซนนอน (Shannon) กล่าวไว้ว่าถ้าหากเรามีสัญญาณเชิงอุปมาน $x(t)$ ที่ค่าการแปลงฟูริเยอร์ หรือ สเปกตรัมกำลัง (power spectrum) ของมันมีแถบความถี่ปฏิบัติงาน (bandwidth) เท่ากับ f_0 แล้ว เราสามารถทำการสุ่มตัวอย่าง โดยที่สัญญาณที่ได้ไม่สูญเสียเนื้อหาสำคัญก็ต่อเมื่อความถี่ในการสุ่มตัวอย่าง f_s มีค่ามากกว่าหรือ เท่ากับสองเท่าของความถี่ f_0 หรือโดยทั่วไปเราอาจสุ่มตัวอย่างด้วยค่าความถี่ $f_s = 2f_0$ พอดี ค่าความถี่นี้มีชื่อเรียกว่าความถี่นิควิสต์ (Nyquist frequency) และคาบเวลา $T_n = 1/(2f_0)$ นี้เรียกว่า ช่วงการสุ่มตัวอย่างนิควิสต์ (Nyquist interval) ในทางปฏิบัติเพื่อหลีกเลี่ยงผลของปรากฏการณ์ไม่เป็นเชิงเส้น (nonlinearity) ที่อาจเกิดจากการสุ่มตัวอย่าง เรามักใช้ความถี่ในการสุ่มตัวอย่าง f_s มากกว่าค่าความถี่นิควิสต์ หรือ f_0 ขึ้นไป ส่วนจะมีค่ามากกว่าเท่าใดนั้นขึ้นกับลักษณะงานไม่ได้มีการกำหนดค่าที่แน่นอน ซึ่งอาจใช้เป็น

$2.5 f_0$ หรือ $10f_0$ ก็ได้ตามทฤษฎีการสุ่มตัวอย่างของแซนนอนนั้นเห็นได้ว่าการจะสุ่มตัวอย่าง สัญญาณได้ถูกต้องก็ต้องรู้ค่าแถบความถี่ปฏิบัติงานของสัญญาณ หรือพูดอีกนัยหนึ่งสัญญาณต้องมีแถบความถี่ปฏิบัติงานจึงจะทำการสุ่มตัวอย่างได้ ดังนั้นในบางครั้งเพื่อให้มั่นใจได้ว่าสัญญาณที่ทำการประมวลผลถูกประมวลผลอย่างถูกต้อง ในภาคแรกของระบบประมวลผลเชิงเต็มหน่วย และเชิงเลขจึงอาจมีวงจรกรองผ่านความถี่ต่ำ (low-pass filter) ไว้เป็นตัวกำหนดแถบความถี่ปฏิบัติงานของสัญญาณดังได้แสดงในรูป 1.1

1.5 ทฤษฎีเบื้องต้นเกี่ยวกับการกรองสัญญาณเชิงเลข[11]

วงจรฟิลเตอร์กล่าวได้ว่าเป็นวงจรที่มีความสำคัญในระบบอิเล็กทรอนิกส์ ทฤษฎีของวงจรฟิลเตอร์แบ่งตามประวัติได้เป็น 2 แขนงคือ ทฤษฎีดั้งเดิม (classical filter theory) และทฤษฎียุคใหม่ (modern filter theory) ทฤษฎีแบบยุคใหม่นี้จะให้ผลที่ละเอียดและแน่นอนกว่าทฤษฎียุคดั้งเดิม วงจรฟิลเตอร์แบ่งออกได้เป็นประเภทใหญ่ ๆ เช่น Passive Filter, Active Filter, Electromechanical Filter, Digital Filter, Microwave Filter

การกรองสัญญาณดิจิทัล (Digital Filter) คือ กระบวนการคำนวณ (computational process) หรือ อัลกอริทึม (algorithm) ซึ่งสัญญาณดิจิทัลหรือลำดับของตัวเลขที่เป็นสัญญาณเข้า (input) ถูกแปลงให้เป็นลำดับของตัวเลขใหม่ที่เรียกว่า สัญญาณออกดิจิทัล (output digital signal) กระบวนการคำนวณ อาจจะเป็นแบบการกรองความถี่ต่ำ (low pass filter) การกรองความถี่สูง (high pass filter) การหาค่าอนุพันธ์ (derivative) เป็นต้น

1.5.1 สมการแตกต่างเชิงเส้นสัมประสิทธิ์คงที่

(Linear Constant Coefficient Differential Equations)

ระบบ shift-invariant สามารถเขียนแทนด้วยสมการแตกต่างเชิงเส้นสัมประสิทธิ์คงที่อันดับที่ N ได้ดังนี้

$$\sum_{k=0}^N a_k Y(n-k) = \sum_{r=0}^M b_r X(n-r) \quad ; a \neq 0 \quad (1.1)$$

$$a_0 Y(n) + \sum_{k=1}^N a_k Y(n-k) = \sum_{r=0}^M b_r X(n-r) \quad (1.2)$$

เมื่อ a_0, a_1, \dots, a_n และ b_0, b_1, \dots, b_m เป็นค่าคงที่ซึ่งใช้ในการกำหนดคุณสมบัติ (characteristic) ของระบบ ถ้าเรากำหนดให้ $a_0 = 1$ เราจะได้

$$Y(n) = \sum_{r=0}^M b_r X(n-r) + \sum_{k=1}^N a_k Y(n-k) \quad (1.3)$$

เราเรียกสมการที่ (1.3) ว่าสมการ digital filter โดยที่ a_k และ b_r เป็นค่าสัมประสิทธิ์จะมีค่าเท่าไร ขึ้นอยู่กับชนิดของฟิลเตอร์ซึ่งเราเรียกฟิลเตอร์แบบนี้ว่า รีเคอร์ซีฟฟิลเตอร์ (recursive filter) ถ้าสัมประสิทธิ์ a_k ของ $Y(n-k)$ มีค่าเป็นศูนย์เราเรียกฟิลเตอร์แบบนี้ว่า นอนรีเคอร์ซีฟฟิลเตอร์ (non-recursive filter) ซึ่งเขียนความสัมพันธ์ได้ดังสมการที่ (1.4)

$$Y(n) = \sum_{r=0}^M b_r X(n-r) \quad (1.4)$$

1.5.2 การสร้างวงจรของความถี่ดิจิทัลแบบรีเคอร์ซีฟ

(Recursive Filter Synthesis)

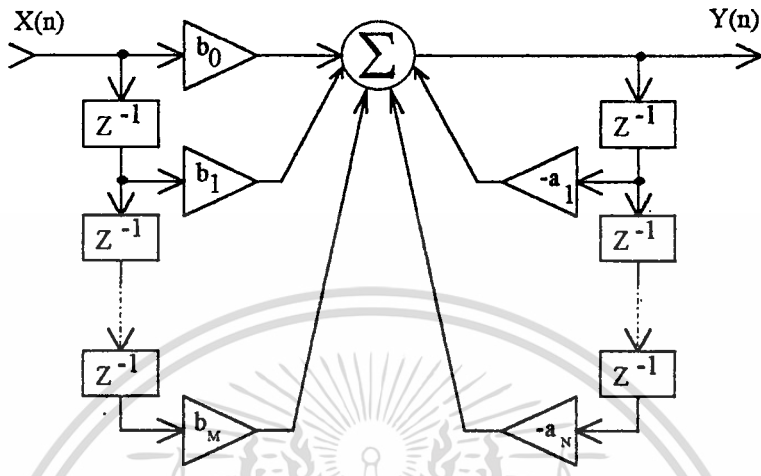
การสร้างวงจรของความถี่ดิจิทัลจะต้องเขียนความสัมพันธ์ระหว่างสัญญาณ input และ สัญญาณ output ให้อยู่ในรูปแบบหรือ algorithm ที่ใช้คำนวณก่อน algorithm นี้จะใช้ตัวบวก (adder) ตัวหน่วง (delay) และ ตัวคูณด้วยค่าคงที่ (constant multiplier) มาช่วยเขียนโครงสร้างของวงจรจาก สมการของ digital filter สมการที่ (1.3) กรณี $r = k$ เราจะได้

$$Y(n) = \sum_{k=0}^M b_k X(n-k) - \sum_{k=1}^N a_k Y(n-k) \quad (1.5)$$

Z - Transform

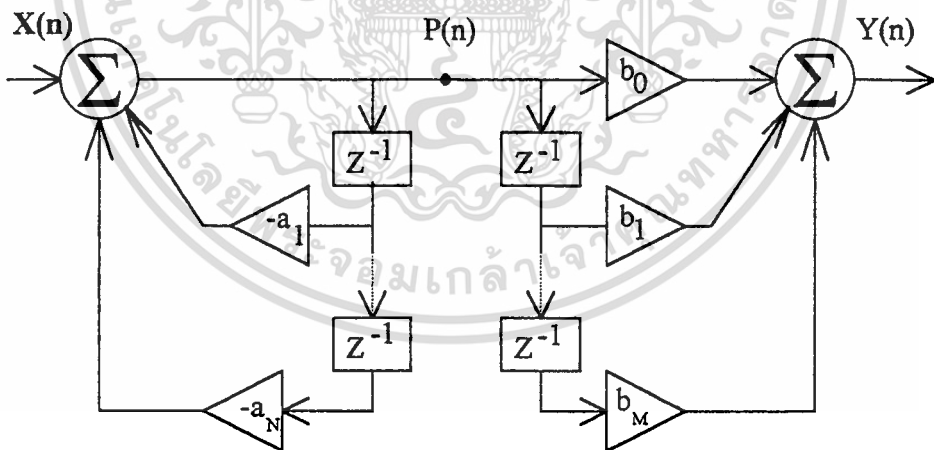
$$Y(z) = \sum_{k=0}^M b_k X(z)Z^{-k} - \sum_{k=1}^N a_k Y(z)Z^{-k} \quad (1.6)$$

ซึ่งเราสามารถแทนสมการ (1.6) ด้วย algorithm ในการคำนวณได้โดยตรงนั่นคือเอาค่า delay ของ สัญญาณ input คูณด้วยสัมประสิทธิ์ b_k และค่า delay ของสัญญาณ output คูณด้วยสัมประสิทธิ์ a_k แล้วนำผลคูณ ทั้งหมดเอามาเข้าวงจรรวมข้อมูล (Summing) โดยสามารถเขียนเป็น block diagram ดังรูปที่ 1.2 ซึ่งเรียกว่า direct form I



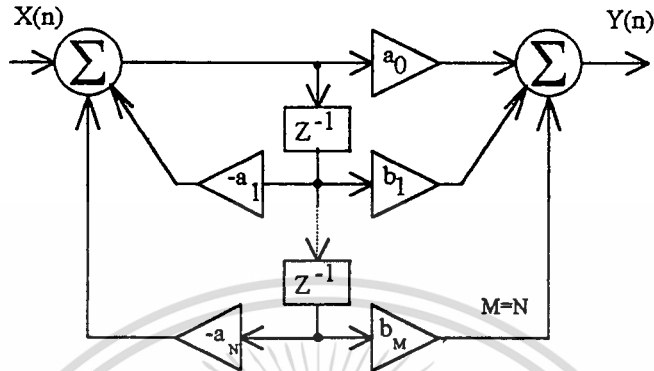
รูปที่ 1.2 Direct form I

จาก direct form I เราจะแยกให้อยู่ในรูปของ direct form II ดังรูปที่ 1.3



รูปที่ 1.3 Direct form II

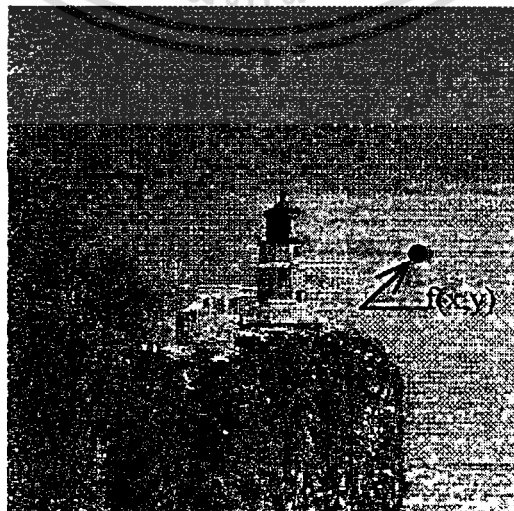
จากรูปที่ 1.3 จะเห็นว่าเราสามารถให้ delay ร่วมกันได้ เมื่อยุบ delay ร่วมกันแล้วเราเรียกการเขียนรูปแบบนี้ว่า direct form II canonical แสดงดังรูปที่ 1.4



รูปที่ 1.4 Direct form II canonical

1.6 การประมวลสัญญาณภาพ (Image Processing)[10]

ในที่นี้จะกล่าวถึงการประมวลสัญญาณเชิงเลขสองมิติซึ่งเป็นข้อมูลภาพ (Image Processing) และองค์ประกอบพื้นฐานในการประมวลภาพข้อมูล รูปแบบของอิมเมจ การฟิลเตอร์ การแทนภาพในระบบดิจิทัล (Digital Image Representation) ในระบบภาพโดยทั่วไปสามารถแทนด้วยฟังก์ชันของความเข้มแสงในระนาบสองมิติ : $f(x,y)$ โดยที่ x และ y แทนตำแหน่งคู่ลำดับที่เกิดขึ้นในภาพจริง และค่าฟังก์ชัน f ณ จุด (x,y) ใด ๆ จะเป็นสัดส่วนโดยตรงกับความสว่างหรือระดับสีเทา (gray level) ของภาพที่จุดนั้น ๆ แสดงได้ดังรูปที่ 1.5



เอกสารนี้เป็นเอกสารที่สงวนไว้สำหรับการใช้งานเพื่อการศึกษาเท่านั้น ไม่อนุญาตให้นำไปใช้ประโยชน์ด้านการค้า
รูปที่ 1.5 ค่าของฟังก์ชัน $f(x,y)$ ในระบบภาพดิจิทัล
ไม่ว่ากรณีใดๆทั้งสิ้น อีกทั้งห้ามมิให้ดัดแปลงเนื้อหา และต้องอ้างอิงถึงเจ้าของเอกสารทุกครั้งที่มีการนำไปใช้

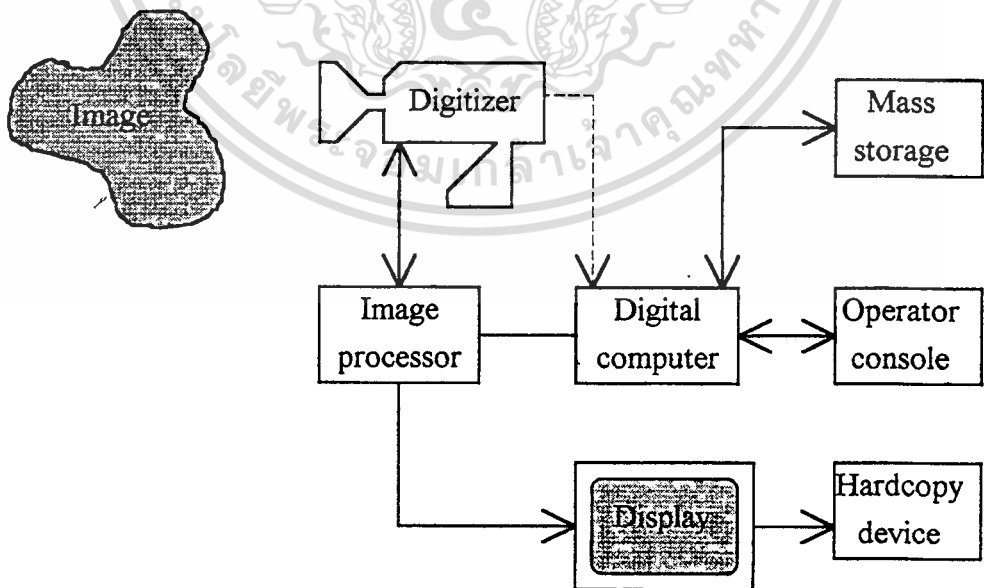
สำหรับข้อมูลภาพแบบดิจิทัล $f(x,y)$ มีลักษณะที่ไม่ต่อเนื่องทั้งในระนาบสเปเชียล (spatial) ดังนั้นจึงพิจารณาให้ข้อมูลภาพแบบดิจิทัลแทน อยู่ในรูปของเมตริกซ์ ซึ่งเมตริกซ์จะมีแถวและหลักที่มีลักษณะเป็นเอกลักษณ์ และมีความสัมพันธ์กับค่าสมาชิกในแถวและหลัก ที่แทนด้วยระดับสีเทาของภาพที่จุดนั้น ๆ ถึงแม้ว่าขนาดของข้อมูลภาพแบบดิจิทัล จะแปรเปลี่ยนไปตามการประยุกต์ใช้งาน แต่จะมีข้อดีที่ได้เปรียบ ถ้ากำหนดให้มีลักษณะเฉพาะเป็นอะเรย์แบบสมมาตร (square array) และจำนวนของระดับสีเทาเป็นเลขจำนวนเต็มกำลังสอง

1.6.1 องค์ประกอบของระบบประมวลผลข้อมูลภาพดิจิทัล

(Elements of A Digital Image Processing System)

องค์ประกอบพื้นฐานโดยทั่วไปในระบบการประมวลผลข้อมูลภาพ ประกอบด้วย 5 ส่วนใหญ่ ๆ คือ

1. ส่วนเปลี่ยนสัญญาณอนาล็อกเป็นสัญญาณดิจิทัล (Digitizer)
2. เครื่องประมวลผลข้อมูลภาพ (Image Processor)
3. เครื่องคอมพิวเตอร์แบบดิจิทัล (Digital computer)
4. อุปกรณ์ที่ใช้ในการแสดงผล และบันทึกผล (Display and Recording Devices)
5. อุปกรณ์ที่ใช้ในการเก็บรักษาข้อมูล (storage Devices)



รูปที่ 1.6 แสดงองค์ประกอบของระบบการประมวลผลแบบดิจิทัล[10]

เอกสารนี้เป็นเอกสารที่สงวนไว้สำหรับการใช้งานเพื่อการศึกษาเท่านั้น ไม่อนุญาตให้นำไปใช้ประโยชน์ด้านการค้า ไม่ว่ากรณีใดๆทั้งสิ้น อีกทั้งห้ามมิให้ดัดแปลงเนื้อหา และต้องอ้างอิงถึงเจ้าของเอกสารทุกครั้งที่มีการนำไปใช้

1. ส่วนเปลี่ยนสัญญาณอนาล็อกให้เป็นสัญญาณดิจิทัล (Digitizer)

ส่วนของดิจิไทเซอร์ ทำหน้าที่เปลี่ยนสัญญาณภาพให้อยู่ในรูปของตัวเลขเพื่อใช้เป็นข้อมูลป้อนเข้าดิจิตอลคอมพิวเตอร์ ส่วนนี้ได้แก่ กล้องโทรทัศน์ ดิจิไทเซอร์ ภายในประกอบด้วยหลอดวิดิคอน ทำหน้าที่เป็นสื่อนำไฟฟ้าทางแสง ภาพจะถูกโฟกัสลงบนผิวของหลอด ซึ่งถูกเปลี่ยนให้เป็นสัญญาณไฟฟ้า ซึ่งจากการควอนไทซ์สัญญาณนี้จะได้ภาพดิจิตอลเกิดขึ้น

2. เครื่องประมวลข้อมูลภาพ (Image Processor)

เครื่องประมวลข้อมูลภาพแบบดิจิตอลเป็นหัวใจของระบบการประมวลข้อมูลภาพเครื่องประมวลข้อมูลภาพ ประกอบด้วยชุดฮาร์ดแวร์ที่มี 4 ฟังก์ชันพื้นฐานคือ การหยุดภาพนิ่ง (image acquisition) การเก็บข้อมูลภาพ (storage) การประมวลภาพในระดับต่ำ (แต่รวดเร็ว) (Low Level (fast) processing) และการแสดงผล (display) โดยทั่วไปโมดูลของการหยุดภาพนิ่ง จะมีสัญญาณโทรทัศน์เป็นหน่วยอินพุท และทำการเปลี่ยนสัญญาณนี้ให้เป็นข้อมูลแบบดิจิตอล เครื่องประมวลข้อมูลภาพสมัยใหม่ส่วนมาก จะใช้การดิจิไทซ์ภาพโทรทัศน์ ในเวลา 1 เฟรม (one frame-time) เช่น ในเวลา 1/30 วินาที จึงมักเรียกว่า เครื่องจับภาพนิ่ง (frame grabber)

โมดูลของการเก็บภาพแบบที่เรียกว่า เฟรมบัฟเฟอร์ (frame buffer) จะทำหน้าที่เก็บรักษาหน่วยความจำของภาพแบบดิจิตอล โดยทั่วไปจะมีเครื่องมือ 2-3 ชุด ที่รวมเข้าไว้ในเครื่องประมวลข้อมูลภาพ คุณสมบัติการหยุดภาพของโมดูลการเก็บภาพประกอบด้วยหน่วยความจำที่สามารถอ่านข้อมูลจากอัตราของโทรทัศน์ปกติ มีอัตรา 30 ภาพ ต่อวินาที ลักษณะนี้เป็นไปตามการทำงานของโมดูลการหยุดภาพนิ่ง ที่ประกอบไปด้วยภาพที่สมบูรณ์ในการเก็บภาพที่เร็วเท่าที่ภาพถูกจับให้หนึ่ง หน่วยความจำสามารถเปลี่ยนให้เป็นแอดเดรสของโทรทัศน์ได้โดยชุดแสดงผลของภาพที่จอมอนิเตอร์

เครื่องประมวลข้อมูลภาพยังมีหน้าที่ในฟังก์ชันระดับต่ำอีกด้วย (Low-level function) เช่น การประมวลผลทางคณิตศาสตร์ และทางตรรกศาสตร์ หรือที่เรียกว่า หน่วยตรรกเลขคณิต (Arithmetic Logic Unit : ALU) โดยถูกออกแบบพิเศษเพื่อที่จะเพิ่มความเร็วในการประมวลผลแบบขนาน ส่วนโมดูลแสดงผล (display module) ทำหน้าที่อ่านหน่วยความจำของภาพ แล้วทำการเปลี่ยนข้อมูลของภาพที่เป็นแบบดิจิตอลให้เป็นสัญญาณวีดีโอแบบอนาล็อก และแสดงผลสัญญาณที่แปลงได้นั้น ให้ออกทางมอนิเตอร์โทรทัศน์ หรืออุปกรณ์วีดีโอ ชนิดอื่น

3. เครื่องคอมพิวเตอร์แบบดิจิตอล (Digital Computer)

ถึงแม้ว่าเครื่องประมวลข้อมูลภาพ อาจเปรียบได้กับความสามารถในการประมวลผลภายใน ดังที่ได้กล่าวมาแล้วแต่ว่าระดับของการประมวลผลยังอยู่ในระดับค่อนข้างต่ำ ในด้านความทันสมัยซึ่งโดยทั่วไปพบว่า เครื่องประมวลข้อมูลภาพนี้จะถูกต่อเชื่อม (interface) กับเครื่องคอมพิวเตอร์ระบบเอกสารถ่ายเป็นเอกสารที่สแกนไว้สำหรับการใช้งานเพื่อการศึกษาค้นคว้า นี้เมื่ออนุญาตให้เข้าไปใช้ประโยชน์ด้านการค้า ไม่ว่าจะกรณีใดทั้งสิ้น อีกทั้งห้ามมิให้ดัดแปลงเนื้อหา และต้องอ้างอิงถึงเจ้าของเอกสารทุกครั้งที่มีการนำไปใช้

จะมีความเหมาะสมเฉพาะกับงาน ๆ หนึ่งเท่านั้น ไม่สามารถนำเทคนิคเดียวกันนี้มาใช้รวมกันได้หมด ในหัวข้อนี้จะกล่าวถึงรูปแบบของอิมเมจ วิธีการฟิลเตอร์ การตัดค่าเทรสโฮลด์ และวิธีการเลือกค่าฮิสโตแกรม เป็นต้น

1. โมเดลข้อมูลภาพ (an Image Model)

ในที่นี้คำว่าข้อมูลภาพ หมายถึง ฟังก์ชันของความเข้มแสง 2 มิติโดยมีรูปแบบ $f(x,y)$ ซึ่งขนาดหรือ แอมพลิจูด (amplitude) ของฟังก์ชันที่พิกัดเชิงเส้น (spatial coordinates) ที่จุด (x,y) จะแสดงค่าความสว่าง (brightness) ของข้อมูลภาพที่จุดนั้น ๆ เมื่อแสงเป็นรูปแบบพลังงานแบบหนึ่ง ดังนั้น $f(x,y)$ จึงต้องมีขนาดไม่เท่ากับศูนย์ และจะต้องมีขนาดไม่เท่ากับอนันต์ (finite) ดังนั้น จะได้ว่า

$$0 < f(x,y) < \alpha$$

พื้นฐานโดยทางธรรมชาติของ $f(x,y)$ อาจจะได้รับพิจารณาเกี่ยวกับคุณสมบัติ สองประการดังต่อไปนี้ คือ ประการแรก จะพิจารณาเกี่ยวกับแหล่งกำเนิดแสงทั้งหมดที่เกิดขึ้นเองบนฉาก ประการที่สอง จะพิจารณาเกี่ยวกับแสงสะท้อนทั้งหมด ที่เกิดขึ้นจากการสะท้อนของวัตถุในฉากเอง คุณสมบัติทั้งสองประการนี้ จะถูกเรียกว่า การส่องสว่าง (illumination) และการสะท้อน (reflectance) ซึ่งมีรูปแบบฟังก์ชันดังนี้คือ $i(x,y)$ และ $r(x,y)$ ตามลำดับ ทั้งสองฟังก์ชันนี้รวมกันจะกลายเป็นรูปแบบของ $f(x,y)$ จะได้ว่า $f(x,y) = i(x,y) * r(x,y)$ เมื่อ $0 < i(x,y) < \alpha$ และ $0 < r(x,y) < \alpha$

2. ฟิลเตอร์ (Filter)

ฟิลเตอร์เป็นตัวกรองสัญญาณภาพเบื้องต้น ให้ได้ภาพที่มีความคมชัดมากยิ่งขึ้น เพื่อที่จะนำภาพไปประยุกต์ใช้ได้ดียิ่งขึ้น ซึ่งมีมากมายชนิด แต่ในที่นี้จะกล่าวเฉพาะที่นิยมใช้กันมากเท่านั้น

- การเฉลี่ยค่ารอบย่าน (Neighbourhood Average)

การเฉลี่ยค่ารอบย่านเป็นเทคนิคที่ใช้กันในเชิงโดเมนโดยตรง สำหรับการทำให้ภาพให้ชัดเจนยิ่งขึ้น ให้ภาพอินพุท $f(x,y)$ มีขนาด $n \times n$ และ $g(x,y)$ เป็นผลของภาพที่ได้จากการปฏิบัติของระดับสีเทาทุก ๆ จุด (x,y) ได้จากการเฉลี่ยค่าระดับสีเทาของพิเซลในภาพ $f(x,y)$ ซึ่งสามารถอธิบายได้ดังนี้

$$g(x,y) = \frac{1}{M} \sum_{n,m} f(n,m)$$

สำหรับ $x,y = 0,1,\dots, N-1$ และ M คือ ผลรวมของจำนวนจุดในย่านนั้น ๆ

- ฟิลเตอร์แบบมัธยฐาน (Median Filter)

สิ่งสำคัญประการหนึ่งจากการเฉลี่ยค่ารอบย่าน คือ การเกิดความเบลอร์ที่ขอบของภาพ และมีรายละเอียดสัญญาณรบกวนที่ชัดเจน อาจแก้ไขได้โดยการใช้เทรชโฮลด์ (threshold) ซึ่งโดยทั่วไป แล้วค่าเทรชโฮลด์จะได้จากการลองผิดลองถูก แต่ถ้าใช้ฟิลเตอร์แบบมัธยฐาน แทนระดับสีเทาของแต่ละพิกเซล โดยการใช้ค่าเฉลี่ยมัธยฐานของระดับสีเทาในรอบย่านนั้น ๆ ของพิกเซล จะทำให้ภาพที่ได้มีประสิทธิภาพดีขึ้น การหาค่ามัธยฐาน (M) คือ เซ็ตที่มีค่าในเซตครั้งหนึ่งมากกว่า M และอีกครึ่งหนึ่งน้อยกว่า M การหาค่ามัธยฐาน สามารถหาได้โดยทำการเรียงข้อมูลจากน้อยไปหามาก แล้วนำค่าที่อยู่ตรงกลางนั้น มาใช้แทนค่า M

ตัวอย่าง

สมมติว่า มีย่านขนาด 3x3 มีข้อมูล

(10, 20, 20, 20, 15, 20, 20, 25, 100)

สามารถเรียงข้อมูลใหม่ได้เป็น

(10, 15, 20, 20, 20, 20, 25, 100)

ดังนั้นค่าที่อยู่ตรงกลางเป็นค่ามัธยฐานมีค่าเท่ากับ 20 นั่นเอง ความคิดที่มีอิทธิพลต่อฟังก์ชันของฟิลเตอร์แบบมัธยฐาน คือ จะทำให้จุดที่มีความเข้มที่แตกต่างมากกว่าย่านรอบ ๆ ของมัน

- ฟิลเตอร์แบบความถี่ต่ำผ่าน (Low - pass Filter)

สัญญาณรบกวนในระดับสีเทาของภาพมักจะมีส่วน ของสัญญาณความถี่สูง ของการแปลงฟูเรียร์อย่างมากซึ่งจะทำให้เกิดการเบลอร์ของภาพ ดังนั้นจึงต้องหาวิธีการกำจัดเฉพาะช่วงความถี่สูงที่ไม่ต้องการออกไป จากทฤษฎีการทำคอนโวลูชันจะได้ว่า

$$G(u,v) = H(u,v) F(u,v)$$

เมื่อ $F(u,v)$ คือ การแปลงฟูเรียร์ของภาพที่ต้องการให้เรียบ ปัญหาก็คือ การเลือกทรานส์เฟอร์ฟังก์ชัน $H(u,v)$ ที่ให้ได้ผลลัพธ์ $G(u,v)$ โดยที่สามารถกำหนดจุดช่วงที่ความถี่สูงของ $F(u,v)$ ออกไปได้ การแปลงอินเวอร์สลาปลาซ (Inverse Laplace) ของ $G(u,v)$

$$g(x,y) = L^{-1} [H(u,v) F(u,v)]$$

จะได้ว่า $g(x,y)$ เรียบขึ้น เพราะว่า ส่วนประกอบความถี่สูงไม่สามารถผ่านออกไปได้ แต่ช่วงความถี่ต่ำจะสามารถผ่านไปได้ โดยปราศจากการลดทอนของสัญญาณซึ่งวิธีนี้เรียกว่า ฟิลเตอร์ แบบความถี่ต่ำผ่าน ฟังก์ชัน $H(u,v)$ ถูกเรียกว่า ทรานส์เฟอร์ฟังก์ชันของฟิลเตอร์ (Filter Transfer Function) ซึ่งในการคำนวณ จะพิจารณาเฉพาะ $H(u,v)$ เท่านั้น ฟิลเตอร์แบบความถี่ต่ำผ่านนี้มีอยู่หลายชนิดด้วยกัน โดยที่แต่ละฟิลเตอร์จำทำหน้าที่กรองความถี่สูงออกไปให้เหลือเฉพาะความถี่ต่ำเท่านั้น

บทที่ 2

การกระจายทางคณิตศาสตร์

2.1 ระบบตัวเลข

ก่อนอื่นจะกล่าวถึงพื้นฐานของเลขฐานสองก่อน เนื่องจากในระบบเลขฐานสิบนั้นมีเลขอยู่สิบค่าที่เป็นฐานคือ 0 ถึง 9 สัญลักษณ์ + และ - แทน บวก และ ลบ ตามลำดับ และจุดในเลขฐานสิบใช้เป็นตัวแยกระหว่างตัวเลขจำนวนเต็มและเศษส่วน แต่ในดิจิตอลฮาร์ดแวร์มีเลขอยู่สองค่าที่เป็นฐานคือ 0 และ 1 ซึ่งเลขทั้งสองค่าดังกล่าวใช้เป็นสัญลักษณ์แทนทั้ง +, - และจุด ถ้าแทนเลขไบนารีของตัวเลขจำนวนเต็มที่ไม่มีเครื่องหมายซึ่งเป็นสัญลักษณ์เลขไบนารีจำนวนเลขไบนารี B bit ($X^{B-1}, X^{B-2}, \dots, X^0$) สามารถแปลงเป็นเลขฐานสิบด้วยสูตร

$$X = \sum_{j=0}^{B-1} X^j 2^j$$

โดย $X = 0$ หรือ 1 ดังนั้นเลขไบนารี 11011 แทนเป็นเลขฐานสิบได้ 26 ดังนี้ $0X2^0 + 1X2^1 + 0X2^2 + 1X2^3 + 1X2^4 = 2+8+16 = 26$ ซึ่งคล้ายระบบเลขฐานสิบ นั่นคือ $26 = 2X10^1 + 6X10^0$ จากสมการข้างบน ค่าตัวเลขจำนวนเต็มมากที่สุดที่ถูกแทนโดยเลขฐานสอง B bit คือ $2^B - 1$ ดังนั้น 10, 16, หรือ 32 บิต สามารถถูกแทนด้วยเลขจำนวนเต็ม 1023, 65,435 หรือ 4,150,998,095 ตามลำดับ ค่าที่อธิบายข้างบนสามารถเปลี่ยนแปลงเป็นเลขเศษส่วนได้ดังตัวอย่างต่อไปนี้ สมมติ 16 บิต ถูกแทนด้วยเลขฐานสิบและทุกจำนวนถูกสเกลด้วย $2^{-5} = 0.03125$ ดังนั้นค่าที่มากที่สุดที่สามารถแทนได้คือ $(2^{16} - 1) 2^{-5} = 2047$ และค่าน้อยที่สุดคือ 0.03125 มันเปรียบเสมือนกับว่ามีจุดในตำแหน่งที่ 5 จาก Least Significant Bit (LSB) และค่านวนส่วนที่เป็นเศษส่วนในสมการข้างบนโดยการใช้ค่า 2 ยกกำลังด้วยค่าลบ ดังนั้นในกรณีนี้เลขไบนารี 0101100010110110 แทน $0X10^{10} + 1X10^9 + 0X10^8 + 1X10^7 + 1X10^6 + 0X10^5 + 0X2^4 + 1X2^3 + 1X2^2 + 0X2^1 + 1X2^0 + 1X2^{-1} + 0X2^{-2} + 1X2^{-3} + 1X2^{-4} + 0X2^{-5}$ หรือเท่ากับ 709.6875

ในขบวนการดิจิตอล (เหมือนในคอมพิวเตอร์) ทุกจำนวนมีขนาดน้อยกว่าหรือเท่ากับหนึ่งซึ่งสามารถทำได้โดยสมมติว่าจำนวนบิตมีจุดอยู่ทางซ้ายของ Most Significant Bit (MSB) หรือทุกจำนวนถูกสเกลด้วย 2^B ซึ่งทำให้เลขไบนารีมากที่สุด $1111\dots 1, (2^B - 1)/2^B = 1 - 2^{-B}$ ซึ่งน้อยกว่า 1

- Sign-Magnitude Notation

ใน Sign-Magnitude Notation เลขที่มีค่า absolute เท่ากันจะแทนด้วยเลขไบนารีที่เหมือนกัน แต่จะมีบิตพิเศษเรียกว่า บิตเครื่องหมาย (Sign Bit) รวมเข้าไปทางซ้ายของ MSB เพื่อทำให้เกิดความแตกต่างระหว่างค่าบวกกับลบ ตัวอย่างเช่น

$$+ 0.828125 = 0 \ 110101$$

$$- 0.828125 = 1 \ 110101$$

ดังนั้นเลขไบนารี B บิตใน Sign-Magnitude Notation ซึ่งสมมติว่ามีจุดอยู่ระหว่าง Sign Bit และ MSB มีค่าอยู่ระหว่าง $-(1 - 2^{-B+1}) \leq X \leq (1 - 2^{-B+1})$ ทำให้จำนวนค่าบวกมีจำนวนเท่ากับจำนวนค่าลบ

เอกสารนี้เป็นเอกสารที่สงวนไว้สำหรับการใช้งานเพื่อการศึกษาเท่านั้น ไม่อนุญาตให้นำไปใช้ประโยชน์ด้านการค้า

ไม่ว่ากรณีใดๆทั้งสิ้น อีกทั้งห้ามมิให้ดัดแปลงเนื้อหา และต้องอ้างอิงถึงเจ้าของเอกสารทุกครั้งที่มีการนำไปใช้

และค่า 0 แทนได้ทั้ง + 0 หรือ - 0

- 2'S Complement Notation

ใน 2'S Complement Notation จำนวนบวกเหมือนกับ Sign-Magnitude Notation ซึ่งบิตแรกเป็นบิตเครื่องหมาย จำนวนลบแทนโดยการเอาค่า absolute ลบออกจาก 2 และเพราะว่าค่าของ absolute ต้องน้อยกว่า 1 ดังนั้นบิตแรกจะเป็น 1 เสมอเปรียบเทียบกับตัวอย่างค่า 2'S Complement ของ - 0.375 หาได้โดย $2 - 0.375 = 1.625$ ซึ่งค่าไบนารีคือ 1.101 ในการแปลงเลข 2'S Complement โดยการสมมติว่าบิตแรก (sign bit) ถูกคูณด้วย -1 ดังนั้นถ้า X ถูกแทนที่ด้วยเลขไบนารี B บิต (X^0, X^1, \dots, X^{B-1}) ใน 2's complement notation , ค่าของ X ในระบบเลขฐานสิบ หาได้จาก

$$X = -X^0 + \sum_{j=1}^{B-1} X^j / 2^{-j}$$

ดังนั้นตามสมการเลขไบนารี 2'S Complement 1101 แทนเป็นเลขระบบฐานสิบ

$$-1 + 1 \times 2^{-1} + 0 \times 2^{-2} + 1 \times 2^{-3} = -1 + 0.5 + 0.125 = -0.375$$

จากสมการการแปลง 2's complement จำนวนที่มีค่ามากที่สุด คือ $1 - 2^{-B+1}$ (0111...1) และจำนวนที่มีค่าน้อยที่สุด คือ -1 (1000...0) นอกจากนั้น ค่า 0 แทนด้วยค่าเดียวคือ (000...0), และมีค่าที่เป็นลบมากกว่าค่าที่เป็นบวกอยู่หนึ่งจำนวนคือ (-1)

2.2 ทฤษฎีการกระจายทางคณิตศาสตร์

การกระจายทางคณิตศาสตร์ (Distributed Arithmetic) [1,2,4] หรือเรียกย่อ ๆ ว่า DA ใช้กันมากในการจัดรูปแบบคณิตศาสตร์ โดยเฉพาะจะปรากฏอยู่ในงานการประมวลผลสัญญาณดิจิทัล โดยจัดสมการให้อยู่ในรูปแบบการคำนวณแบบบิต เพื่อให้สมการเปลี่ยนเป็นวงจรดิจิทัลได้ โดยเฉพาะความเร็วในการคูณ ซึ่งจะออกแบบระบบการคูณแบบเปิดตารางค่าสัมประสิทธิ์ ที่ถูกเก็บไว้ในหน่วยความจำแบบอ่านได้อย่างเดียว การประยุกต์ใช้การกระจายทางคณิตศาสตร์ (DA) นี้ จะแปลงสมการผลบวกของผลคูณให้กระทำการคำนวณแบบบิต ซึ่งจะช่วยให้ผลลัพธ์ได้เร็วอุปกรณ์สำคัญที่ใช้ใน DA มีชิฟท์รีจิสเตอร์ (Shift Register) เพื่อเลื่อนข้อมูลจากเวิร์ดเป็นบิต รวม (Read only Memory : ROM) สำหรับเก็บค่าสัมประสิทธิ์ตัวรวมข้อมูล (Accumulator) เพื่อรวมข้อมูลจากรวมเมื่อเปรียบเทียบอุปกรณ์รอบข้างระหว่าง DA กับ Standard CPU อย่างเช่นตระกูล TMS320 ก็มีลักษณะคล้ายกัน คือมี DAC (Digital to Analog Converter), ADC (Analog to Digital Converter) และระบบสัญญาณนาฬิกาเช่นกัน แต่ DA จะไม่มี CPU ประมวลผลสัญญาณเรื่องความเร็ว DA จะเร็วกว่าเพราะว่า ถ้าสมมติให้คำนวณหาค่า $Y = A_1 X_1 + A_2 X_2 + A_3 X_3 + A_4 X_4$ TMS32010 จะใช้เวลาประมาณ 640ns เพราะคำสั่งคูณ 16x16 บิตใช้เวลา 160ns ส่วน DA ถ้าใช้รวม

ความเร็วสูงและข้อมูลเข้ามีขนาด 16 บิตต่อ 1 เวิร์ด ส่งเข้าขาแอดเดรสของรวมแบบ 1 BAAT [3] DA

เอกสารนี้เป็นเอกสารที่สงวนไว้สำหรับการใช้งานเพื่อการศึกษาเท่านั้น ไม่นับญาติให้นำไปเผยแพร่โดยไม่ได้รับอนุญาต

ไม่ว่ากรณีใดก็ตาม ห้ามนำไปตีพิมพ์หรือเผยแพร่โดยไม่ได้รับอนุญาต และต้องอ้างอิงถึงเจ้าของเอกสารทุกครั้งที่มีการนำไปใช้

ใช้สัญญาณนาฬิกาประมวลผล 16 ลูก, 2 BAAT สัญญาณนาฬิกา 8 ลูก, 8 BAAT ใช้สัญญาณนาฬิกา 2 ลูก แต่ถ้าเป็น 16 BAAT จะใช้สัญญาณนาฬิกา 1 ลูกเท่านั้น Standard CPU สามารถที่จะประมวลสัญญาณได้หลายลักษณะรูปแบบขึ้นอยู่กับซอฟต์แวร์หรือโปรแกรมที่เขียนให้หน่วยประมวลผลกลางทำงาน แต่ DA เมื่อออกแบบฮาร์ดแวร์ และค่าสัมประสิทธิ์ที่เก็บไว้ในรอมแล้วจะเข้ากับระบบที่ออกแบบไว้ได้ระบบเดียวเท่านั้น ไม่สามารถควบคุมทางโปรแกรมได้ เพราะอาศัยการทำงาน ของฮาร์ดแวร์เป็นหลัก DA เป็นกรรมวิธีทางคณิตศาสตร์ที่จัดรูปแบบการคำนวณที่ส่วนใหญ่อยู่ในรูปผลบวกของผลคูณ (Sum of Products) ของเลขฐานสิบให้กระจายออกเป็นบิตหรือในรูปเลขฐานสองเพื่อให้การกระทำคณิตศาสตร์เปลี่ยนไปในรูปของวงจรถิจิตอลได้ วงจรดังกล่าวอาจเป็นวงจรซึ่งให้แทนทรานส์เฟอร์ฟังก์ชัน (Transfer function) ทางดิจิตอลของดิจิตอลฟิลเตอร์ (Digital filtering) แบบต่าง ๆ ที่มีลักษณะค่าสัญญาณเชิงอินพุต และหรือเอาต์พุตคุณกับค่าคงที่ การใช้ DA ในการประมวลผลจะมีประสิทธิภาพมากโดยเฉพาะสมการแบบผลบวกของผลคูณของสัญญาณดิจิตอลที่เป็นอินพุตกับค่าสัมประสิทธิ์ของสมการซึ่งจะได้กล่าวถึงรายละเอียดต่อไป

จุดประสงค์ของ DA คือ เปลี่ยนสมการคณิตศาสตร์ที่ส่วนใหญ่อยู่ในรูปของผลบวกของผลคูณเป็นวงจรถิจิตอลให้หาผลลัพธ์ออกมาได้อย่างรวดเร็วเมื่อเทียบกับไมโครโปรเซสเซอร์มาตรฐานในงาน ประมวลผลสัญญาณดิจิตอลที่มีสัญญาณนาฬิกาเท่ากันเพราะว่า DA ใช้หลักการเปิดตาราง (Look-up Tables) คุณค่าสัญญาณอินพุตกับค่าสัมประสิทธิ์ที่ถูกเก็บไว้ในหน่วยความจำ ลองพิจารณาตัวอย่างผลบวกของผลคูณต่อไปนี้

$$Y = \sum_{k=1}^K A_k \cdot X_k \quad (2.1)$$

สมการที่ (2.1) ให้ A_k เป็นค่าสัมประสิทธิ์ X_k เป็นข้อมูลอินพุตซึ่ง X_k เป็น ตัวเลขคอมพลีเมนต์ของสอง (2's complement) และให้ Absolute ของ $X_k < 1$ ดังนั้นแสดงค่าของ X_k ในเทอมของบิตได้

$$X_k = -b_{k0} + \sum_{n=1}^{N-1} b_{kn} \cdot 2^{-n} \quad (2.2)$$

- เมื่อ b_{kn} = บิตต่าง ๆ ของ X_k เวอร์ดมีค่าเป็น 0 หรือ 1
 b_{k0} = บิตที่แสดงเครื่องหมาย
 b_{kN-1} = บิตที่มีนัยสำคัญต่ำสุด (LSB)
 N = จำนวนบิตต่อข้อมูลอินพุต

เมื่อแทนค่า X_k จากสมการที่ (2.2) ลงในสมการที่ (2.1) ได้เป็นสมการที่ (2.3a) แสดงค่า Y

ในเทอมของบิตของ X_k ดังนี้

เอกสารนี้เป็นเอกสารที่สงวนไว้สำหรับการใช้งานเพื่อการศึกษาเท่านั้น ไม่อนุญาตให้นำไปใช้ประโยชน์ด้านการค้า

ไม่ว่ากรณีใดก็ตาม ห้ามนำไปใช้ดัดแปลงเนื้อหา และต้องอ้างอิงถึงเจ้าของเอกสารทุกครั้งที่มีการนำไปใช้

$$Y = \sum_{k=1}^K A_k \left(-b_{k0} + \sum_{n=1}^{N-1} b_{kn} \cdot 2^{-n} \right) \quad (2.3a)$$

สมการที่ (2.3a) สับเปลี่ยนจัดลำดับการบวกใหม่ให้เป็นกลุ่มย่อยจะได้

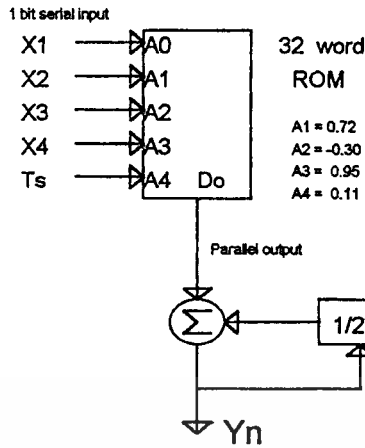
$$Y = \sum_{n=1}^{N-1} \left(\sum_{k=1}^K A_k b_{kn} \right) 2^{-n} + \sum_{k=1}^K A_k (-b_{k0}) \quad (2.3b)$$

$$\begin{aligned} Y = & -2^0 (b_{10}A_1 + b_{20}A_2 + b_{30}A_3 + \dots + b_{k0}A_k) \\ & + 2^{-1} (b_{11}A_1 + b_{21}A_2 + b_{31}A_3 + \dots + b_{k1}A_k) \\ & + 2^{-2} (b_{12}A_1 + b_{22}A_2 + b_{32}A_3 + \dots + b_{k2}A_k) \\ & + 2^{-3} (b_{13}A_1 + b_{23}A_2 + b_{33}A_3 + \dots + b_{k3}A_k) \\ & + 2^{-4} (b_{14}A_1 + b_{24}A_2 + b_{34}A_3 + \dots + b_{k4}A_k) \\ & + 2^{-(N-1)} (b_{1,N-1}A_1 + b_{2,N-1}A_2 + \dots + b_{k,N-1}A_k) \end{aligned} \quad (2.3c)$$

สมการที่ (2.3c) เป็นการกระจายทางคณิตศาสตร์ของค่าสัมประสิทธิ์กับบิตต่างๆ ของข้อมูลอินพุต ด้วยเหตุนี้สมการที่ (2.3c) จึงเรียกว่า Distributed Arithmetic (DA) พิจารณาวงเล็บใหญ่ของสมการที่ (2.3b) คือ

$$Y' = \sum_{k=1}^K A_k \cdot b_{kn} \quad (2.3d)$$

เพราะว่า b_{kn} จะมีค่าเป็น 0 หรือ 1 เท่านั้น ดังนั้นผลลัพธ์สมการ (2.3d) จะมีค่าที่เป็นไปได้ทั้งหมด 2^k ค่า ซึ่งค่าต่างๆ เหล่านี้ถูกคำนวณแล้วเก็บไว้ในหน่วยความจำแบบอ่านได้อย่างเดียว (ROM) ข้อมูลบิตของอินพุตถูกใช้เป็นแอดเดรส (Address) ของรอมได้โดยตรง ผลลัพธ์ถูกส่งไปเก็บไว้ในตัวรวมข้อมูล (Accumulator) หลังจากที่มีการส่งข้อมูลอินพุตที่ทำเป็นแอดเดรสจำนวน N รอบ ก็จะได้ผลลัพธ์ Y ออกมา



รูปที่ 2.1 โครงสร้าง DA แบบ 1 BAAT ของสมการที่ (2.1)(3)

ตารางที่ 2.1 ข้อมูลที่บรรจุในรอม(3)

1 ≤ n < N-1					n = 0														
Input Code					32-word Memory Content					Input Code					32-word Memory Content				
Ts	b1n	b2n	b3n	b4n						Ts	b1n	b2n	b3n	b4n					
0	0	0	0	0	0					1	0	0	0	0	0				
0	0	0	0	1	A4 = 0.11					1	0	0	0	1	-A4 = -0.11				
0	0	0	1	0	A3 = 0.95					1	0	0	1	0	-A3 = -0.95				
0	0	0	1	1	A3+A4 = 1.06					1	0	0	1	1	-(A3+A4) = -1.06				
0	0	1	0	0	A2 = -0.30					1	0	1	0	0	-A2 = +0.30				
0	0	1	0	1	A2+A4 = -0.19					1	0	1	0	1	-(A2+A4) = +0.19				
0	0	1	1	0	A2+A3 = 0.65					1	0	1	1	0	-(A2+A3) = -0.65				
0	0	1	1	1	A2+A3+A4 = 0.75					1	0	1	1	1	-(A2+A3+A4) = -0.75				
0	1	0	0	0	A1 = 0.72					1	1	0	0	0	-A1 = -0.72				
0	1	0	0	1	A1+A4 = 0.83					1	1	0	0	1	-(A1+A4) = -0.83				
0	1	0	1	0	A1+A3 = 1.67					1	1	0	1	0	-(A1+A3) = -1.67				
0	1	0	1	1	A1+A3+A4 = 1.78					1	1	0	1	1	-(A1+A3+A4) = -1.78				
0	1	1	0	0	A1+A2 = 0.42					1	1	1	0	0	-(A1+A2) = -0.42				
0	1	1	0	1	A1+A2+A4 = 0.53					1	1	1	0	1	-(A1+A2+A4) = -0.53				
0	1	1	1	0	A1+A2+A3 = 1.37					1	1	1	1	0	-(A1+A2+A3) = -1.37				
0	1	1	1	1	A1+A2+A3+A4 = 1.48					1	1	1	1	1	-(A1+A2+A3+A4) = -1.48				

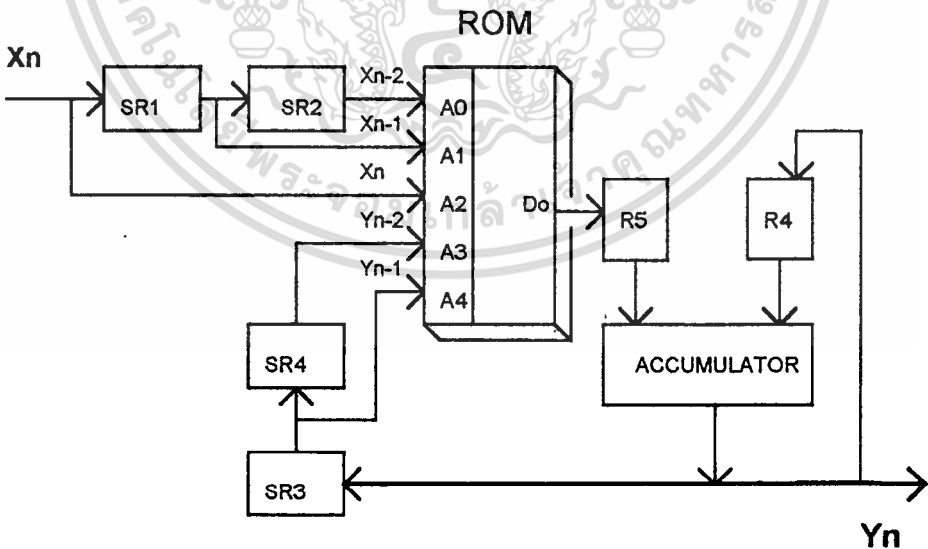
2.3 โครงสร้างของวงจรกรองอันดับสองโดยวิธีการกระจายทางคณิตศาสตร์[3,5]

การกรองความถี่ดีจิจิตอลแบบไบควอดราติก (Biquadratic) มีทราณส์เฟอร์ฟังก์ชันดังนี้

$$H(z) = \frac{\sum_{k=0}^2 A_k Z^{-k}}{1 + \sum_{k=1}^2 B_k Z^{-k}} \dots\dots(2.4)$$

$$\frac{Y(z)}{X(z)} = \frac{A_0 + A_1 Z^{-1} + A_2 Z^{-2}}{1 + B_1 Z^{-1} + B_2 Z^{-2}} \dots\dots(2.5)$$

ซึ่งโพล (Pole) ถูกกำหนดโดย B_1 และ B_2 ส่วนซีโร่ (Zero) A_0 , A_1 และ A_2 เป็นตัวกำหนดแสดงในรูปของตัวแปรเวลา $Y_n = [A_0 A_1 A_2 B_1 B_2]^T [X_n X_{n-1} X_{n-2} Y_{n-1} Y_{n-2}]$ ค่าสัมประสิทธิ์ คือ $[A_0 A_1 A_2 B_1 B_2]^T$ และข้อมูลอินพุตคือ $[X_n X_{n-1} X_{n-2} Y_{n-1} Y_{n-2}]$ ใช้ DA เปลี่ยนเป็นวงจรการกระจายทางคณิตศาสตร์ข้อมูลเข้าแบบอนุกรมครั้งละหนึ่งบิต (bit at a time) ได้ดังรูปที่ 2.2



รูปที่ 2.2 โครงสร้างวงจรกรองสัญญาณเชิงเลขอันดับสองแบบอนุกรม (1BAAT)

$$Y_n = A_0X_n + A_1X_{n-1} + A_2X_{n-2} + B_1Y_{n-1} + B_2Y_{n-2} \quad \dots\dots(2.5a)$$

$$\begin{aligned} Y_n &= X_n(A_0) \\ &+ X_{n-1}(A_1) \\ &+ X_{n-2}(A_2) \\ &+ Y_{n-1}(B_1) \\ &+ Y_{n-2}(B_2) \end{aligned}$$

กระจาย X_n และ Y_n โดยการกระจายทางคณิตศาสตร์

$$\begin{aligned} &(X_n^s + X_n^7 + X_n^6 + X_n^5 + X_n^4 + X_n^3 + X_n^2 + X_n^1 + X_n^0)(A_0) \\ &(X_{n-1}^s + X_{n-1}^7 + X_{n-1}^6 + X_{n-1}^5 + X_{n-1}^4 + X_{n-1}^3 + X_{n-1}^2 + X_{n-1}^1 + X_{n-1}^0)(A_1) \\ &(X_{n-2}^s + X_{n-2}^7 + X_{n-2}^6 + X_{n-2}^5 + X_{n-2}^4 + X_{n-2}^3 + X_{n-2}^2 + X_{n-2}^1 + X_{n-2}^0)(A_2) \\ &(Y_{n-1}^s + Y_{n-1}^7 + Y_{n-1}^6 + Y_{n-1}^5 + Y_{n-1}^4 + Y_{n-1}^3 + Y_{n-1}^2 + Y_{n-1}^1 + Y_{n-1}^0)(B_1) \\ &(Y_{n-2}^s + Y_{n-2}^7 + Y_{n-2}^6 + Y_{n-2}^5 + Y_{n-2}^4 + Y_{n-2}^3 + Y_{n-2}^2 + Y_{n-2}^1 + Y_{n-2}^0)(B_2) \end{aligned} \quad (2.5b)$$

สมการที่ 2.5a และ 2.5b แสดงการใช้วิธีการกระจายทางคณิตศาสตร์กับการกรองสัญญาณ แล้วทำการสลับการบวกใหม่โดยอ้างถึงการกระจายตามสมการที่ (2.3c)

จากรูปที่ 2.2 ใช้ IC ตระกูล TTL สร้างวงจรกรองอันดับสอง ข้อมูลเข้า X_n จะเข้าแบบอนุกรม เลื่อนเข้าไปยังตัวเลื่อนข้อมูล (shift register) SR1, SR2 ขนาด 8 บิตได้ข้อมูล X_n, X_{n-1}, X_{n-2} และลำดับสัญญาณออก Y_n ถูกส่งไปให้ R4 พร้อมเลื่อนขวาหนึ่งบิตเพื่อหารสอง ก่อนถูกส่งไปให้ ALU (Arithmetic Logic Unit) ซึ่งเป็นตัวรวมข้อมูลขนาด 8 บิต ที่มาจาก R4 กับ R5 ได้ข้อมูลส่งให้ SR3 แล้วทำการเลื่อนไปยัง SR4 สัญญาณออกของ SR3, SR4 ถูกแยกเป็นสัญญาณ Y_{n-1}, Y_{n-2} จากวงจรรูปที่ 2.2 SR1, SR2, SR4 เป็นตัวเลื่อนข้อมูลแบบเข้าอนุกรมออกอนุกรม (SISO) SR3 เป็นเข้าขานานออกอนุกรม (PISO) ส่วน ROM คือ IC TTL เบอร์ SN7488A มีขนาด 32x8 บิต access time เท่ากับ 30 ns (สูงสุด 50 ns) โดย ALU ใช้ 74181 ทำเป็นตัวบวกขนาด 8 บิต ซึ่งใช้เวลาบวกเท่ากับ 30 ns ดังนั้นถ้าใช้สัญญาณนาฬิกา 20MHz (50 ns) คำนวณหาค่า Y_n ต้องการสัญญาณนาฬิกา 9 คาบเวลาที่ใช้เท่ากับ 50ns x 9 (450ns) โดยสรุปแล้ววงจรกรองอันดับสองนี้ทำงานที่ความถี่ 20MHz

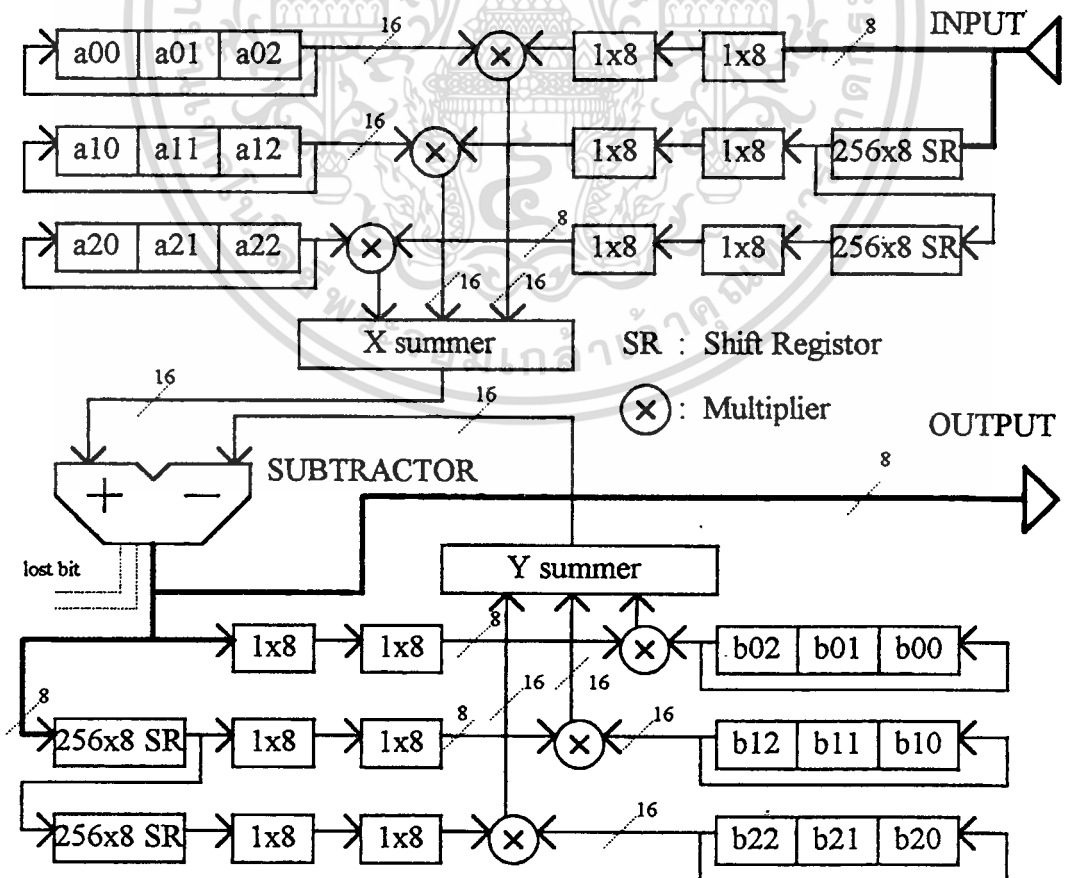
ใช้ IC TTL 9 ตัวในการสร้าง โดยใช้กำลังงานประมาณ 4W และ Y_n ขนาด 8 บิตมีความเร็ว 20/9=2.2 MHz ถ้าเพิ่มความละเอียดให้มีขนาด 16 บิต ฮาร์ดแวร์จะมีขนาดเป็น 2 เท่าความเร็วประมาณ 1.17MHz

ไม่ว่ากรณีใดทั้งสิ้น อีกทั้งห้ามมีเหตุดัดแปลงเนื้อหา และต้องอ้างอิงถึงเจ้าของเอกสารทุกครั้งที่มีการนำไปใช้

2.4 โครงสร้างของวงจรกรอง 2 มิติโดยวิธีการกระจายทางคณิตศาสตร์

ตัวกรอง 2 มิติเชิงเลข มีประโยชน์ประยุกต์ใช้ โดยเฉพาะเป็นตัวเพิ่มคุณภาพหรือลดสัญญาณรบกวนของสัญญาณในลักษณะ 2 มิติของระบบการประมวลสัญญาณเชิงเลข เช่น สัญญาณภาพรังสีเอ็กซ์ สัญญาณภาพจากดาวเทียม เป็นต้น สัญญาณเหล่านี้จะต้องพิจารณาเป็นลักษณะช่วง ๆ สัญญาณซึ่งส่งมาเป็นลำดับสามารถเขียนในรูปของฟังก์ชันได้โดยมีตัวแปรจำนวนเต็ม 2 ตัว เช่น เป็นตัวแสดงลำดับของสัญญาณซึ่งถูกกำหนดให้ค่าทุกค่าเป็นจำนวนเต็ม การประยุกต์ DA กับวงจรกรองสัญญาณสองมิติสมการความแตกต่างเชิงเส้น (linear differential equation) ของวงจรกรองสัญญาณสองมิติแบบป้อนกลับ (two-dimensional second order recursive digital filter)[6] โดยทั่วไปอยู่ในรูปของสมการที่ 2.7[10] และมีโครงสร้างของตัวประมวลผลดังรูปที่ 2.3

$$Y_{m,n} = \sum_{k=0}^2 \sum_{l=0}^2 a_{k,l} X_{m-k,n-l} - \sum_{i=0}^2 \sum_{j=0}^2 b_{i,j} Y_{m-i,n-j} \dots\dots(2.7)$$



เอกสารนี้เป็นเอกสารที่สงวนไว้สำหรับการใช้งานเพื่อการศึกษาเท่านั้น ไม่นอนุญาตให้นำไปใช้ประโยชน์ด้านการค้า ไม่ว่าจะกรณีใดทั้งสิ้น อีกทั้งรูปที่ 2.3 โครงสร้างตัวประมวลสัญญาณ 2 มิติโดยทั่วไป ทุกครั้งที่มีการนำไปใช้

$X_{m,n}$ และ $Y_{m,n}$ เป็นสัญญาณเข้าและสัญญาณออกตามลำดับ $a_{k,l}$ และ $b_{i,j}$ เป็นค่าสัมประสิทธิ์ของการกรองกำหนดให้สัญญาณทุกค่าอยู่ในช่วง $+1, -1$ ของเลขคอมพลีเมนต์ของ 2 (2's Complement) ความละเอียดขนาด B บิต รวมบิตเครื่องหมายอีก 1 บิต กระจายเป็นเลขฐานสองโดยสมการที่ (2.8,2.9)

$$X_{m-k,n-l} = \sum_{s=1}^{B-1} X_{m-k,n-l}^s 2^{-s} - X_{m-k,n-l}^0 \tag{2.8}$$

และ

$$Y_{m-i,n-j} = \sum_{s=1}^{B-1} Y_{m-i,n-j}^s 2^{-s} - Y_{m-i,n-j}^0 \tag{2.9}$$

แทนค่าสมการที่ (2.8), (2.9) ลงสมการที่ (2.7) จะได้สมการที่ (2.10)[8]

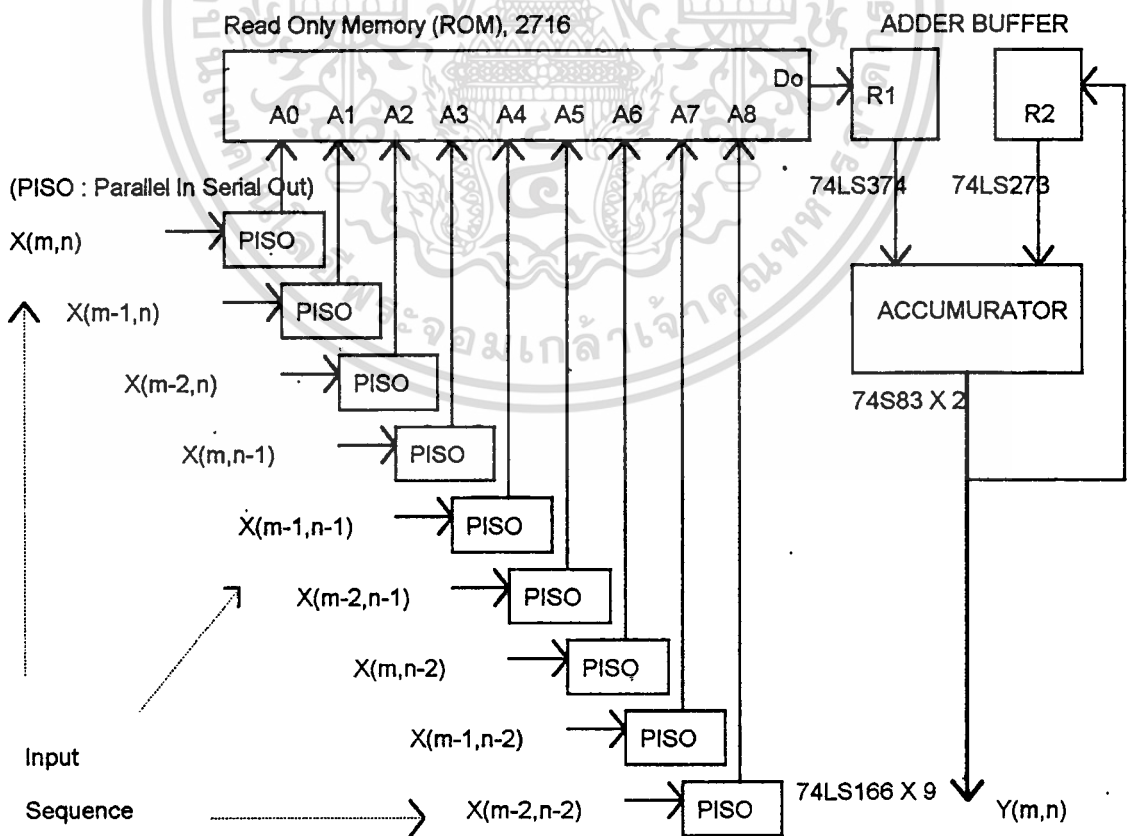
$$Y_{m,n} = \sum_{s=1}^{B-1} F_1^s(\bullet) 2^{-s} - F_1^0 - \sum_{s=1}^{B-1} F_2^s(\bullet) 2^{-s} + F_2^0(\bullet) \tag{2.10}$$

การประมวลข้อมูลภาพเป็นการทำให้ข้อมูลภาพ หรือภาพใหม่ออกมาตามวัตถุประสงค์ต่าง ๆ ไม่ว่าจะเป็นการตกแต่งภาพให้ชัดขึ้น การเน้นขอบของภาพให้คมหรืออาจจะเป็นการตรวจหาขอบภาพ เป็นต้น ซึ่งวิธีการต่าง ๆ เหล่านี้มีวิธีการแบบเดียวกันทั้งสิ้นขึ้นอยู่กับว่าจะกำหนดอิมพัลส์เรสพอนส์ (impulse response) ให้มีค่าเป็นเท่าใดขนาดเท่าไร โดยใช้แผ่นข้อมูล (mask) วางทาบไปบนข้อมูลภาพ แล้วเคลื่อนที่ไปในตำแหน่งต่าง ๆ ของภาพทีละจุด ในแต่ละครั้งข้อมูลทั้งหมดที่อยู่ในบริเวณนี้ที่ตำแหน่งเดียวกันจะถูกนำมาคูณกันผลลัพธ์ที่ได้จะนำมารวมกันเพื่อหาขนาดแล้วเก็บเป็นข้อมูลใหม่ แผ่นข้อมูลจะมีค่าไม่เหมือนกันแล้วแต่ความต้องการดังตัวอย่างต่อไปนี้

1/16	<table border="1" style="border-collapse: collapse; width: 60px; height: 60px;"> <tr><td>1</td><td>2</td><td>1</td></tr> <tr><td>2</td><td>4</td><td>2</td></tr> <tr><td>1</td><td>2</td><td>1</td></tr> </table>	1	2	1	2	4	2	1	2	1	<table border="1" style="border-collapse: collapse; width: 60px; height: 60px;"> <tr><td>0</td><td>-1</td><td>0</td></tr> <tr><td>-1</td><td>5</td><td>-1</td></tr> <tr><td>0</td><td>-1</td><td>0</td></tr> </table>	0	-1	0	-1	5	-1	0	-1	0	<table border="1" style="border-collapse: collapse; width: 60px; height: 60px;"> <tr><td>-1</td><td>0</td><td>1</td></tr> <tr><td>-1</td><td>0</td><td>1</td></tr> <tr><td>-1</td><td>0</td><td>1</td></tr> </table>	-1	0	1	-1	0	1	-1	0	1	<table border="1" style="border-collapse: collapse; width: 60px; height: 60px;"> <tr><td>1</td><td>1</td><td>1</td></tr> <tr><td>0</td><td>0</td><td>0</td></tr> <tr><td>-1</td><td>-1</td><td>-1</td></tr> </table>	1	1	1	0	0	0	-1	-1	-1
1	2	1																																						
2	4	2																																						
1	2	1																																						
0	-1	0																																						
-1	5	-1																																						
0	-1	0																																						
-1	0	1																																						
-1	0	1																																						
-1	0	1																																						
1	1	1																																						
0	0	0																																						
-1	-1	-1																																						
	(smooth filter)	(high-pass filter)	(vertical edge detector)	(horizontal edge detector)																																				

เอกสารนี้เป็นเอกสารที่สงวนไว้สำหรับการใช้งานเพื่อการศึกษาเท่านั้น ไม่อนุญาตให้นำไปใช้ประโยชน์ด้านการค้า ไม่ว่าจะกรณีใดๆทั้งสิ้น อีกทั้งห้ามมิให้ดัดแปลงเนื้อหา และต้องอ้างอิงถึงเจ้าของเอกสารทุกครั้งที่มีการนำไปใช้

การประมวลผลข้อมูลภาพโดยวิธีการกระจายทางคณิตศาสตร์ใช้วิธีนำลำดับสัญญาณ $X(m,n)$ มาจัดลำดับใหม่ดังที่กล่าวมาแล้ว ลำดับสัญญาณทั้ง 9 ค่าส่งมาหน่วยประมวลผล โดยการเปิดตารางข้อมูล (look-up table) ซึ่งเก็บแผ่นข้อมูลแบบต่าง ๆ ไม่ว่าจะเป็น low-pass, high-pass หรือ edge detector ลำดับข้อมูลที่ออกมาจากหน่วยความจำจะถูกส่งตัวรวมข้อมูล เพื่อให้ได้ลำดับข้อมูลออก $Y(m,n)$ ต่อไป จากรูปที่ 2.4 แสดงถึงวิธีการส่งลำดับ $X(m,n)$ แบบอนุกรม เมื่อส่งครบ 8 บิตแล้วถึงจะได้ $Y(m,n)$ 1 ไบท์ การส่งลำดับ $X(m,n)$ นอกจากจะเป็นแบบอนุกรมแล้ว ยังสามารถส่งแบบขนานได้อีกด้วย ทั้งนี้ก็เพื่อต้องการให้ความเร็วในการประมวลผลสูงขึ้น จากรูปที่ 2.5 จะแยกบิตแต่ละบิตของ สัญญาณเข้าทั้ง 9 แล้วส่งเข้าหน่วยความจำ แต่ละตัวข้อมูลที่ออกมาจากหน่วยความจำจะถูกส่งไปรวมกันทั้งหมดแล้วได้ลำดับข้อมูล $Y(m,n)$ ออกมา จะเห็นว่าการใช้วิธีสัญญาณเข้าแบบขนานนี้จะประมวลผลได้เร็วกว่าแบบอนุกรมถึง 8 เท่า เมื่อใช้ความถี่ของสัญญาณนาฬิกาเท่ากัน การทำงานจะไม่ซับซ้อนเหมือนกับแบบอนุกรม แต่จำเป็นจะต้องใช้หน่วยความจำถึง 8 ชุดตัวรวมข้อมูลอีก 7 ชุด ดังนั้นแบบขนานจะสิ้นเปลืองทั้งอุปกรณ์และกำลังงานมากกว่า จะให้ผลดีด้านความเร็ว



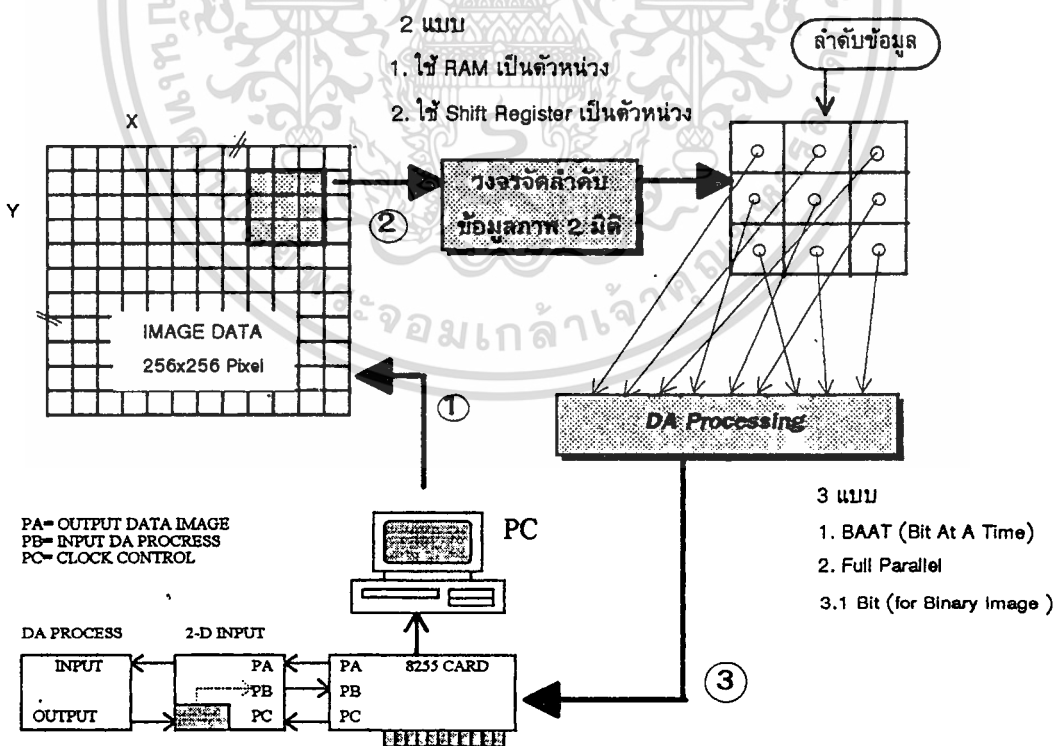
บทที่ 3

การออกแบบ

3.1 การติดต่อตัวประมวลผลกับคอมพิวเตอร์

ในการวิจัยการกระจายทางคณิตศาสตร์ใช้คอมพิวเตอร์ส่วนบุคคล (Personal Computer) เป็นตัวจำลองการทำงานของตัวรับข้อมูลภาพ เช่น กล้องวิดีโอ สแกนเนอร์ เป็นต้น โดยคอมพิวเตอร์จะทำหน้าที่ส่งข้อมูลภาพขนาด 256 x 256 ไปยังวงจรประมวลผลภาพ โดยผ่านอุปกรณ์เชื่อมต่อ (Interface Card) ที่ทำหน้าที่ส่งสัญญาณข้อมูลขนาด 8 บิต และสัญญาณควบคุมต่าง ๆ เช่น ควบคุมวงจรหน่วงสัญญาณ สัญญาณนาฬิกา เป็นต้น ซึ่งจะอธิบายโครงสร้าง โดยทั่วไปของอุปกรณ์ดังต่อไปนี้

จากรูปที่ 3.1 แสดงอุปกรณ์และขั้นตอนหลักในการประมวลผลข้อมูลภาพโดย คอมพิวเตอร์ จะส่งลำดับข้อมูลภาพ 256 ระดับสีเทาขนาด 256x256 จุดผ่านไอโอพอร์ท(I/O Port) 8255 โดยกำหนดให้พอร์ทเอ ใช้ทำหน้าที่เป็นเอาต์พุตขนาด 8 บิต ทำหน้าที่ส่งข้อมูลภาพ พอร์ทบี ใช้ทำหน้าที่เป็นอินพุตขนาด 8 บิต รับข้อมูลที่ผ่านวงจรจัดลำดับข้อมูลภาพเพื่อสร้างลำดับข้อมูลให้เป็น 2 มิติแล้วส่งข้อมูลดังกล่าวไปตัวประมวลผลโดยวิธีการกระจายทางคณิตศาสตร์ได้เป็นข้อมูลภาพใหม่ พอร์ทซี ใช้ทำหน้าที่เป็นเอาต์พุตส่งสัญญาณไปควบคุมอุปกรณ์ต่าง ๆ บนวงจรการกระจายทางคณิตศาสตร์ ซึ่งสัญญาณควบคุมดังกล่าวนี้จะกล่าวรายละเอียดในเรื่องของการออกแบบวงจรหน่วงสัญญาณ และการทำงานของ การกระจายทางคณิตศาสตร์แบบ 1 บิต ต่อไป



รูปที่ 3.1 ขั้นตอนการส่งข้อมูลเพื่อไปประมวลผลภาพโดย DA

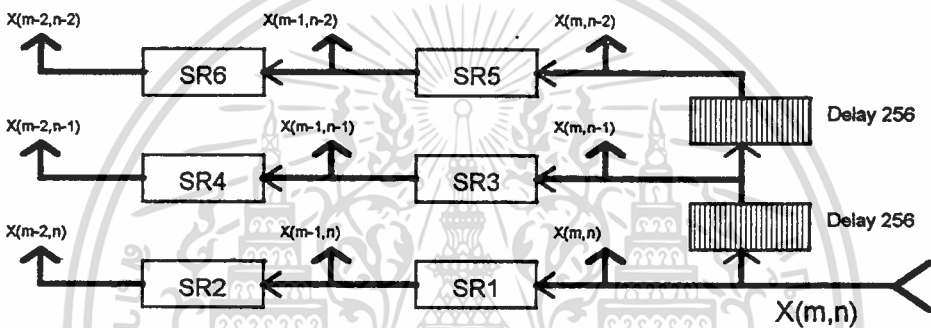
ส่วนโปรแกรมควบคุมการทำงาน ส่งข้อมูลภาพ ส่งสัญญาณควบคุม ดูรายละเอียดได้จากหัวข้อ

เอกสารโปรแกรมที่ใช้ในการทดลองท้ายบท และรายละเอียดของวงจรแสดงไว้ที่บทวงจรที่ใช้ในการทดลอง

ไม่ว่ากรณีใดทั้งสิ้น อีกทั้งห้ามมิให้ดัดแปลงเนื้อหา และต้องอ้างอิงถึงเจ้าของเอกสารทุกครั้งที่มีการนำไปใช้

3.2 การออกแบบวงจรหน่วงเวลาข้อมูลภาพโดยใช้แรม

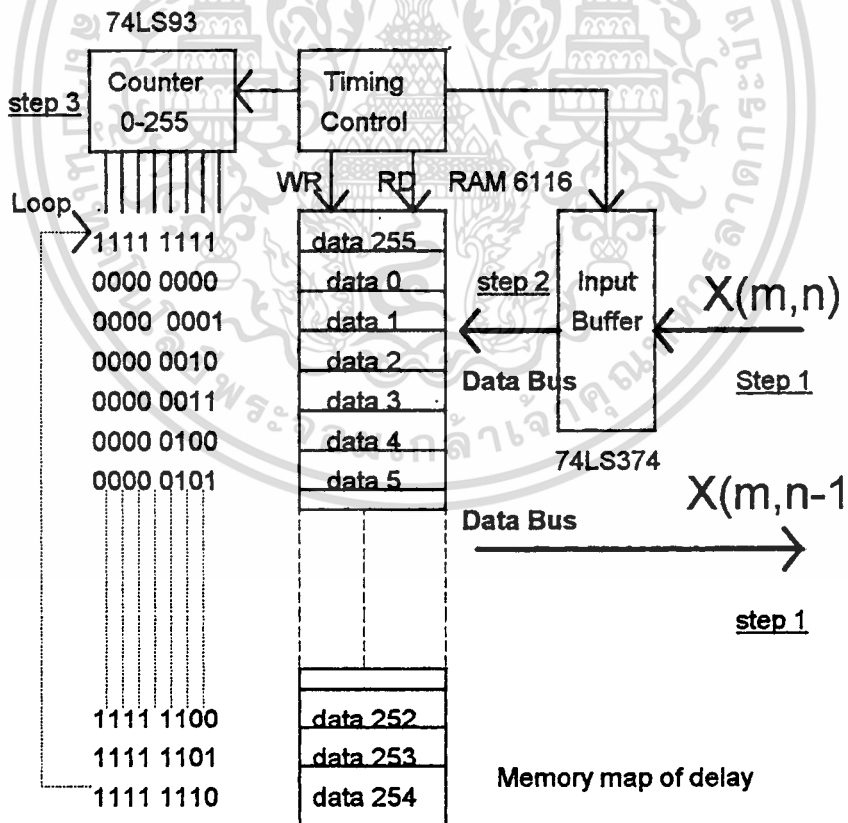
ลำดับข้อมูลภาพที่ส่งเข้ามานี้ จำเป็นจะต้องจัดลำดับสัญญาณข้อมูลเข้าให้ถูกต้อง ก่อนนำไปประมวลผลนั่นคือต้องสร้างลำดับข้อมูล $X(m,n)$, $X(m-1,n)$, $X(m-2,n)$, $X(m,n-1)$, $X(m-1,n-1)$, $X(m-2,n-1)$, $X(m,n-2)$, $X(m-1,n-2)$, $X(m-2,n-2)$ ส่งไปคูณกับแผ่นข้อมูล (mask) ขนาด 3×3 ที่มีคุณสมบัติต่าง ๆ เช่น highpass filter, lowpass filter, edge detector เป็นต้น กำหนดให้ n เป็นค่าชี้ข้อมูลแถว (row) ส่วน m ชี้ข้อมูลหลัก (column) สมมติว่าลำดับข้อมูลภาพมีขนาด 256×256 ตัวหน่วยข้อมูลต้องมีค่าเท่ากับ 256×2 ดังนั้นสามารถใช้ตัวเลื่อนข้อมูล (shift register) ต่ออนุกรมกับจำนวน 512 ตัว ใช้ตัวเลื่อนข้อมูลภาพตามแนวอนนอีก 6 ตัว ถ้าเราใช้วงจรรวมชนิด TTL เบอร์ 74S374 นำมาต่อตามโครงสร้างดังรูปที่ 3.2



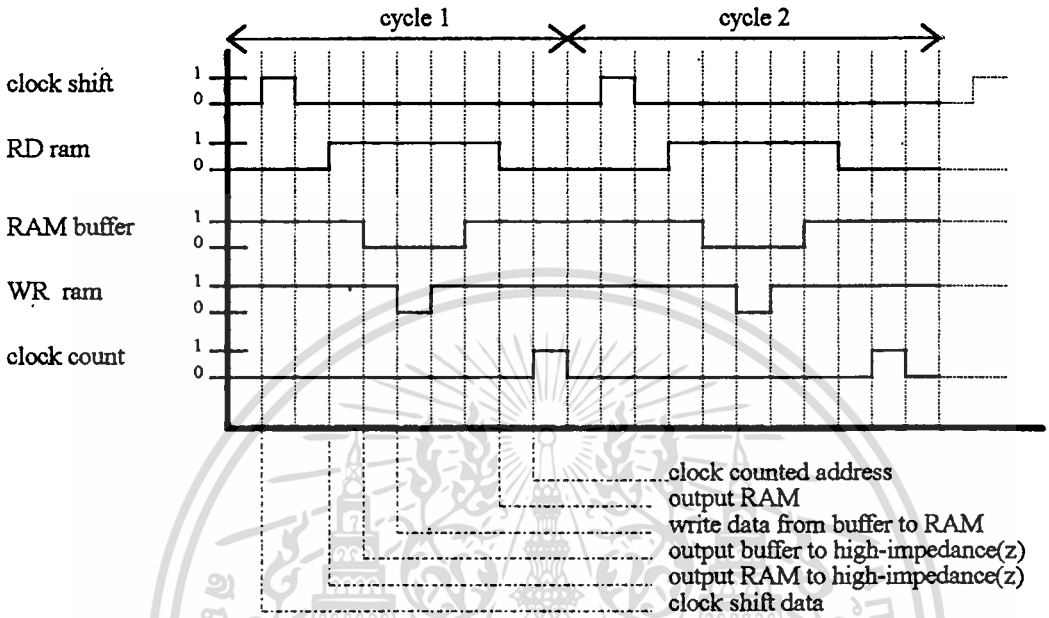
รูปที่ 3.2 โครงสร้างการจัดลำดับข้อมูล 2 มิติขนาด 3×3 สำหรับภาพ 256×256 จุด

จากรูปที่ 3.2 วงจรมีขนาดใหญ่ เพราะว่าใช้วงจรรวมอย่างน้อย 518 ตัว แต่มันยังมีความต้องการกำลัง (power consumption) สูงด้วย การแก้ทางหนึ่งของการลดขนาดและกำลังงานของวงจรก็คือ ต้องลดขนาดของวงจรหน่วงข้อมูลที่ทำหน้าที่จัดลำดับข้อมูลแนวตั้งที่มีขนาด 256 หน่วยจำนวน 2 ชุด โดยการใช้หน่วยความจำชนิดอ่านและเขียนได้ (RAM) เป็นตัวเลื่อนข้อมูล ที่ถูกควบคุมแอดเดรส (address) โดยวงจรรนับ (counter) ขนาด 8 บิต ซึ่งจะแสดงการทำงานของชุดหน่วงข้อมูลที่มีวงจรรนับ และหน่วยความจำดังต่อไปนี้ จากรูปที่ 3.2 และ 3.3 สมมติว่าวงจรรนับมีค่าเริ่มต้นที่ 0000 0000 ข้อมูลเข้า $X(m,n)$ จังหวะแรกในการเลื่อนข้อมูล $X(m,n)$ เลื่อนผ่าน SR1 จะได้สัญญาณ $X(m-1,n)$ ในขณะเดียวกัน $X(m,n)$ ส่งเข้าไปเก็บใน input buffer ด้วยขณะที่จะอ่านข้อมูลจากหน่วยความจำตำแหน่งที่ 0000 0000 ออกไปให้ SR3 ทำการเลื่อนให้ได้สัญญาณ $X(m-1,n-1)$ ก่อนที่ $X(m,n)$ ต่อไปจะถูกส่งเข้ามา timing Control จะควบคุมให้ input buffer เขียนข้อมูล $X(m,n)$ ชุดแรกลงหน่วยความจำตำแหน่งที่ 0000 0000 ต่อจากนั้นวงจรรนับจะเพิ่มขึ้นเป็น 0000 0001 แล้วแรมเขียนข้อมูลส่งไป output เพื่อเตรียมรอเลื่อนข้อมูล $X(m,n-1)$ เป็นชุดต่อไป จังหวะที่สองในการเลื่อนข้อมูล $X(m,n)$ ชุดที่สองส่งมาที่อินพุทของ SR1 ขณะเดียวกับ $X(m,n)$ ชุดแรกก็เลื่อนผ่าน SR1 เพื่อกำเนิดสัญญาณ $X(m-1,n)$ ส่วน $X(m-1,n)$ ชุดแรกจะผ่าน SR2 ได้สัญญาณ $X(m-2,n)$ ด้วย วงจรหน่วงสัญญาณก็จะทำงานเหมือนเดิมโดยอ่านข้อมูลออกและเขียนข้อมูลเข้าแล้ววงจรรนับเพิ่มขึ้นเป็น 0000 0010 กระทำซ้ำอย่างนี้ไปตลอดจนวงจรรนับมีค่าถึง 255 ใหม่อีกหนึ่งรอบข้อมูลก็สามารถถูกหน่วงไปได้ 256 ข้อมูล

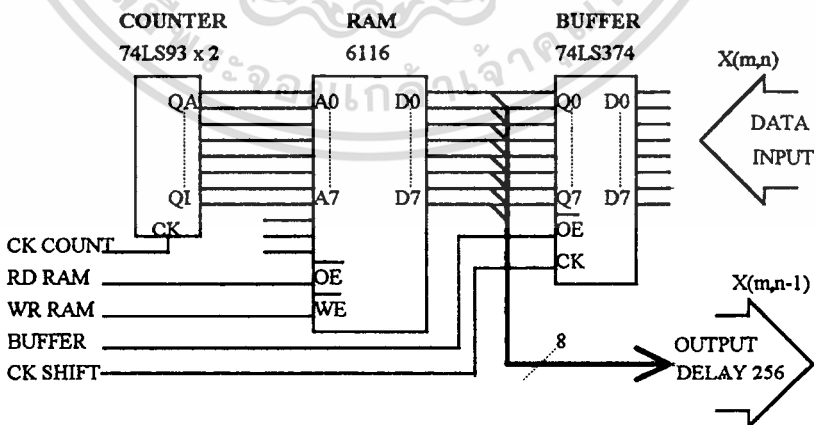
จากการสร้างหน่วยความจำ และวงจรนับเข้ามาแทนตัวหน่วยนี้ ทำให้วงจรจัดลำดับข้อมูลมีขนาดเล็กลงมากทั้งยังประหยัดกำลังงานอีกด้วย แต่ว่าจำเป็นต้องสร้างสัญญาณควบคุมหน่วยความจำ และวงจรนับให้มีการทำงานได้เหมือนตัวหน่วยก็จะทำให้ การทำงานของวงจรทั้งหมดช้าลงไปด้วย เพราะต้องมีการควบคุมเขียนอ่านหน่วยความจำและวงจรนับด้วย แต่ในขณะที่ใช้ตัวเลื่อนต่ออนุกรมกัน 512 ตัวจะทำงานเร็วกว่ามากเพราะใช้สัญญาณนาฬิกา 1 ลูกต่อลำดับสัญญาณข้อมูล 1 ชุด นอกจากนี้ การทำงานของวงจรนับไม่จำเป็นต้องเริ่มจาก 0 ก็ได้ เพราะว่าเมื่อเริ่มต้นที่ตำแหน่งใดของหน่วยความจำ จะถือว่าตำแหน่งนั้นเป็นตำแหน่งเริ่มต้นและวงจรนับจะนับเพิ่มไป 256 ครั้งก็จะกลับมาที่ตำแหน่งเดิม ดังนั้นจึงไม่จำเป็นต้องมีสัญญาณไปรีเซ็ต (reset) วงจรนับในช่วงเริ่มต้นของการนับก็ได้ ส่วนลำดับสัญญาณออกทั้ง 9 จะถูกส่งไปวงจรประมวลผลอีกที วงจรประมวลผลก็ใช้วิธีการของการกระจายทางคณิตศาสตร์ซึ่งจะกล่าวถึงการออกแบบ และการทำงานในหัวข้อต่อไป



รูปที่ 3.3 แสดงตำแหน่งหน่วยความจำที่นำมาใช้เป็นตัวหน่วยขนาด 256 ข้อมูล



รูปที่ 3.4 Timing Diagram ของสัญญาณควบคุมวงจรหน่วยข้อมูลโดยใช้แรม (RAM)



รูปที่ 3.5 วงจรหน่วยข้อมูลโดยใช้แรม (RAM)

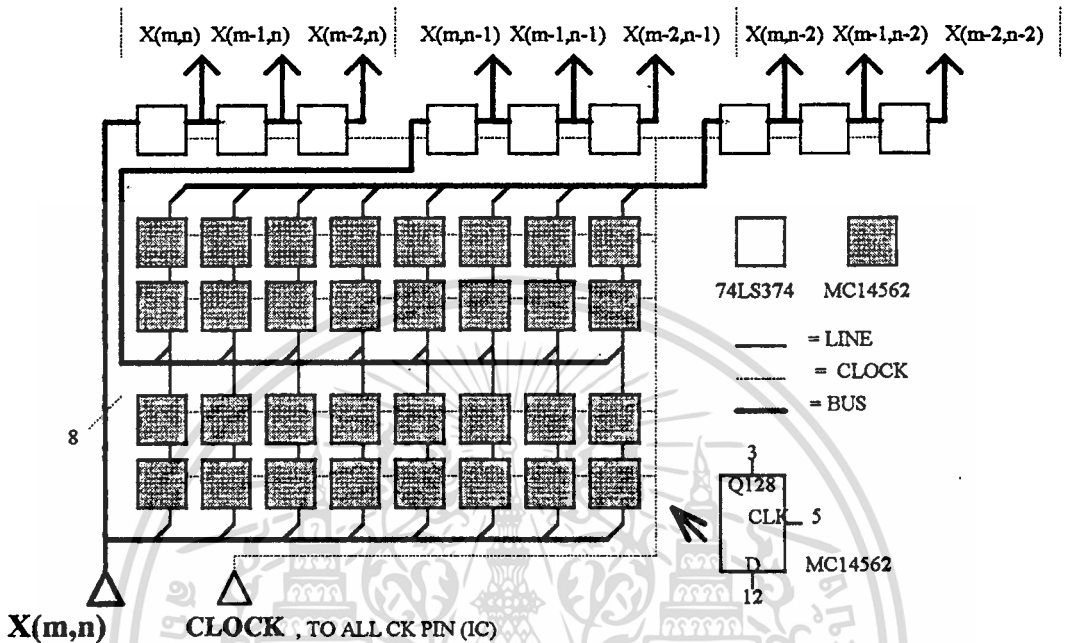
เอกสารนี้เป็นเอกสารที่สงวนไว้สำหรับการใช้งานเพื่อการศึกษาเท่านั้น ไม่อนุญาตให้นำไปใช้ประโยชน์ด้านการค้า
ไม่ว่ากรณีใดทั้งสิ้น อีกทั้งห้ามมิให้ดัดแปลงเนื้อหา และต้องอ้างอิงถึงเจ้าของเอกสารทุกครั้งที่มีการนำไปใช้

จากรูปที่ 3.4 แสดง Timing Diagram ที่ไปควบคุมวงจรรูปที่ 3.5 ของสัญญาณควบคุมวงจรรหัสข้อมูลโดยใช้แรม (RAM) โดยมี Clock shift ทำหน้าที่ส่งสัญญาณเลื่อนข้อมูลภาพเข้าไปยังตัวเลื่อนข้อมูล (Shift Register) ในขณะเดียวกันข้อมูลที่อยู่ในแรมก็จะถูกส่งออกไปด้วย เพราะว่าถูกควบคุมโดยสัญญาณ RD RAM ต่อจากนั้น RAM buffer ซึ่งทำหน้าที่ส่งสัญญาณไปควบคุมตัวพักข้อมูลให้ส่งข้อมูลที่อยู่ในตัวพักข้อมูลไปเขียนลงแรมโดยใช้สัญญาณ WR RAM ข้อมูลก็จะถูกเลื่อนจากตัวพักข้อมูลไปเก็บไว้ในแรมเรียบร้อย เพื่อให้ข้อมูลดังกล่าวเลื่อนไปตามแอดเดรสต่าง ๆ จำนวน 256 ดังนั้นข้อมูลจึงถูกหน่วงไปได้ 256 ข้อมูลเช่นกัน โดยสัญญาณควบคุม Clock count จะไปส่งให้วงจรรหัส 74LS93 ซึ่งต่อรวมกันทำงาน 2 ตัว เป็นวงจรรหัสจำนวน 8 บิต ในการที่ข้อมูลจะหน่วงไปได้ 256 นั้นจะต้องใช้ cycle ทั้งหมด 256 cycle แต่รูปที่ 3.4 นั้น แสดงให้ดูเพียง 2 cycle เท่านั้น ส่วนความเร็วในการทำงานจะขึ้นอยู่กับ ความเร็วของคอมพิวเตอร์ที่ส่งมาจากอุปกรณ์เชื่อมต่อที่กล่าวในหัวข้อที่ 3.1 และโปรแกรมควบคุมการทำงาน งานวิจัยนี้ใช้โปรแกรมคอมพิวเตอร์ภาษาซีเป็นตัวส่งข้อมูลและสัญญาณควบคุม จึงทำให้ความเร็วของการหน่วงข้อมูลภาพโดยใช้แรมเป็นไปค่อนข้างช้า ผู้ทำวิจัยคิดว่าถ้าใช้โปรแกรมคอมพิวเตอร์ภาษาแอสเซมบลี (Assembly Language) ก็จะทำให้ความเร็วในการทำงานดีขึ้น แต่ทั้งนี้เพื่อความสะดวกในการพัฒนาจึงจำเป็นต้องใช้โปรแกรมคอมพิวเตอร์ภาษาซี[9]

3.3 การออกแบบวงจรรหัสข้อมูลภาพความเร็วสูง

โดยปกติแล้ววงจรรหัสข้อมูลภาพโดยใช้แรมจะทำงานช้า แต่เรามีวิธีการทำให้ความเร็วในการเลื่อนเร็วขึ้นโดยใช้ตัวเลื่อนข้อมูลมาต่ออนุกรมกันตามโครงสร้างในรูปที่ 3.2 สมมติว่าใช้วงจรรวมชนิด TTL เบอร์ 74LS374 มาต่ออนุกรม จะต้องใช้ไอซีทั้งหมด $256 + 256 + 6 = 518$ ตัว ซึ่งนอกจากจะใช้กระแสประมาณ 14 แอมป์ ($27 \text{ mA} \times 518$) แล้วยังต้องใช้พื้นที่ไม่ต่ำกว่า 200 ตารางนิ้ว (ประมาณ 1.2 ตารางฟุต) จะเห็นได้ว่าสิ้นเปลืองทั้งกำลังงานและพื้นที่ ผู้ทำวิจัยขอเสนอวงจรรวมชนิด CMOS เบอร์ MC14562B ทำหน้าที่เป็นตัวเลื่อนขนาด 128 บิตนำมาต่อขนานกัน 8 ตัวต่อหนึ่งชุดแล้วนำมาต่ออนุกรมกันสองชุดก็จะได้ตัวหน่วงข้อมูลขนาด 256 ไบท์ จากรูปที่ 3.6 แสดงโครงสร้างของตัวหน่วงข้อมูลภาพและการจัดลำดับข้อมูลภาพก่อนถูกส่งไปวงจรประมวลผลโดยวิธีการกระจายทางคณิตศาสตร์ วงจรจัดลำดับข้อมูลภาพโดยใช้ MC14562B ที่ใช้ในการทดลองนี้ จะทำงานได้เร็วกว่าการใช้แรมเป็นตัวหน่วงข้อมูลมาก เพราะว่าใช้สัญญาณนาฬิกาเพียง 1 ไซเคิล (cycle) เท่านั้นเมื่อเทียบกับการใช้แรมต้องใช้สัญญาณนาฬิกาถึง 10 ไซเคิล ถึงแม้ว่า MC14562B จะใช้สัญญาณนาฬิกา 1 ไซเคิลแต่ก็มีข้อจำกัดในเรื่องความถี่สูงซึ่งทำงานได้ความเร็วสูงสุดประมาณ 1.5 MHz เมื่อเทียบกับ 74LS374 ทำงานที่ความถี่สูงสุด 50 MHz[13]แต่มีข้อเสียในเรื่องของขนาดและกำลังเท่านั้น ถ้าเราสามารถพัฒนางจรจัดลำดับข้อมูล

เอกสารในรูปแบบของวงจรรวมขนาดใหญ่มาก (VLSI) ก็จะทำให้การทำงานมีประสิทธิภาพสูงไปใช้ประโยชน์ด้านการค้าไม่ว่าการณีใดทั้งหมด อีกทั้งห้ามมิให้คัดแปลงเนื้อหา และต้องอ้างอิงถึงเจ้าของเอกสารทุกครั้งที่มีการนำไปใช้



รูปที่ 3.6 โครงสร้างตัวจัดลำดับข้อมูลภาพโดยใช้ตัวเลื่อนข้อมูล MC14562B

3.3 การออกแบบข้อมูลลงหน่วยความจำ

การออกแบบข้อมูลที่จะเก็บไว้ในหน่วยความจำเป็นสิ่งที่ไม่อยากนักสำหรับการประมวลผลข้อมูลภาพ เนื่องจากว่าไม่ต้องนำความถี่ในการสุ่มสัญญาณมาเป็นเงื่อนไขเพราะว่าข้อมูลภาพในที่นี้เป็นสัญญาณที่อยู่ในรูปแบบสัญญาณเชิงเลขอยู่แล้ว ไม่เหมือนกับการออกแบบข้อมูลจากค่าสัมประสิทธิ์ของวงจรรองสัญญาณ 1 มิติซึ่งต้องเปลี่ยนสัญญาณเชิงอุปมานก่อนการประมวลผลให้เป็นสัญญาณเชิงเลข ดังนั้นต้องคำนึงถึงจังหวะการทำงานของวงจรด้วย เมื่อเราเข้าใจหลักการของการกระจายทางคณิตศาสตร์ก็จะทำให้ทราบว่าต้องใช้ขนาดหน่วยความจำเท่าใดกรณีของการประมวลผลสัญญาณ 2 มิติที่กล่าวถึงนี้มีลำดับข้อมูลเข้า 9 ชุดดังนั้นต้องใช้รอมขนาด 512×8 ให้ B แทนจำนวนบิต จากนั้นนำเอาค่าสัมประสิทธิ์จากแผ่นข้อมูลมารวมกันแบบไม่ซ้ำได้ทั้งหมด 512 ค่า (2^9) จากตารางที่ 3.1 สมมุติให้มีค่า A, B, C, D, E, F, G, H, I เป็นค่าที่อยู่ในแผ่นข้อมูลขนาด 3×3 นำค่าทั้ง 9 ค่านี้ มาบวกกันโดยใช้ระบบเลขฐานสองเป็นตัวกำหนดการบวกได้ผลลัพธ์ Y คือค่าที่ต้องบรรจุลงในรอม ถ้าค่า Y เป็นลบต้องเปลี่ยนเป็นเลขคอมพลีเมนต์ของสอง (2's Complement) ก่อน แสดงการสร้างข้อมูลในตารางที่ 3.1

ตารางที่ 3.1 แสดงการสร้างข้อมูลที่เก็บไว้ในรอม

Binary Control Sumation									Output Data for ROM
R	S	T	U	V	W	X	Y	Z	$Q=RA+SB+TC+UD+VE+WF+XG+YH+ZI$
0	0	0	0	0	0	0	0	0	$Q=0$
0	0	0	0	0	0	0	0	1	$Q=I$
0	0	0	0	0	0	0	1	0	$Q=H$
0	0	0	0	0	0	1	1	0	$Q=H+I$
0	0	0	0	0	1	0	0	0	$Q=G$
:	:	:	:	:	:	:	:	:	:
:	:	:	:	:	:	:	:	:	:
:	:	:	:	:	:	:	:	:	:
0	0	1	0	1	0	1	0	1	$Q=C+E+G+I$
0	0	1	0	1	0	1	1	0	$Q=C+E+G+H$
:	:	:	:	:	:	:	:	:	:
:	:	:	:	:	:	:	:	:	:
:	:	:	:	:	:	:	:	:	:
1	1	1	1	1	1	1	0	0	$Q=A+B+C+D+E+F+G$
1	1	1	1	1	1	1	0	1	$Q=A+B+C+D+E+F+G+I$
1	1	1	1	1	1	1	1	0	$Q=A+B+C+D+E+F+G+H$
1	1	1	1	1	1	1	1	1	$Q=A+B+C+D+E+F+G+H+I$

โปรแกรมสร้างข้อมูลใส่ในรอมสำหรับวงจรการกระจายทางคณิตศาสตร์

```

10 REM create data for ROM
20 CLEAR
40 INPUT "Filename data to ROM :",FIL$
45 OPEN FIL$ FOR OUTPUT AS #1
110 INPUT "Data for position X1 : ", A
120 INPUT "Data for position X2 : ", B
130 INPUT "Data for position X3 : ", C
140 INPUT "Data for position X4 : ", D
150 INPUT "Data for position X5 : ", E
160 INPUT "Data for position X6 : ", F
170 INPUT "Data for position X7 : ", G
180 INPUT "Data for position X8 : ", H
190 INPUT "Data for position X9 : ", I
210 FOR R = 0 TO 1
220 FOR S = 0 TO 1
230 FOR T = 0 TO 1

```

เอกสารนี้เป็นเอกสารที่สงวนลิขสิทธิ์ไว้เพื่อการศึกษาเท่านั้น ไม่อนุญาตให้นำไปใช้ประโยชน์ด้านการค้า
ไม่ว่ากรณีใดทั้งสิ้น อีกทั้งห้ามมิให้ดัดแปลงเนื้อหา และต้องอ้างอิงถึงเจ้าของเอกสารทุกครั้งที่มีการนำไปใช้

โปรแกรมสร้างข้อมูลใส่ในรอมสำหรับวงจรรายการกระจายทางคณิตศาสตร์ (ต่อ)

```

240 FOR U = 0 TO 1
250 FOR V = 0 TO 1
260 FOR W = 0 TO 1
270 FOR X = 0 TO 1
280 FOR Y = 0 TO 1
290 FOR Z = 0 TO 1
300 Y1 = (A*R) + (B*S) + (C*T)
310 Y2 = (D*U) + (E*V) + (F*W)
320 Y3 = (G*X) + (H*Y) + (I*Z)
330 YT = Y1 + Y2 + Y3
335 GOSUB 700
360 PRINT#1, CHR$(YT);
410 NEXT R
420 NEXT S
430 NEXT T
440 NEXT U
450 NEXT V
460 NEXT W
470 NEXT X
480 NEXT Y
490 NEXT Z
500 CLOSE#1
600 END
700 REM sub 2'S Complement
705 IF YT > -1 THEN RETURN
710 YT = 256 + YT
750 RETURN
800 END

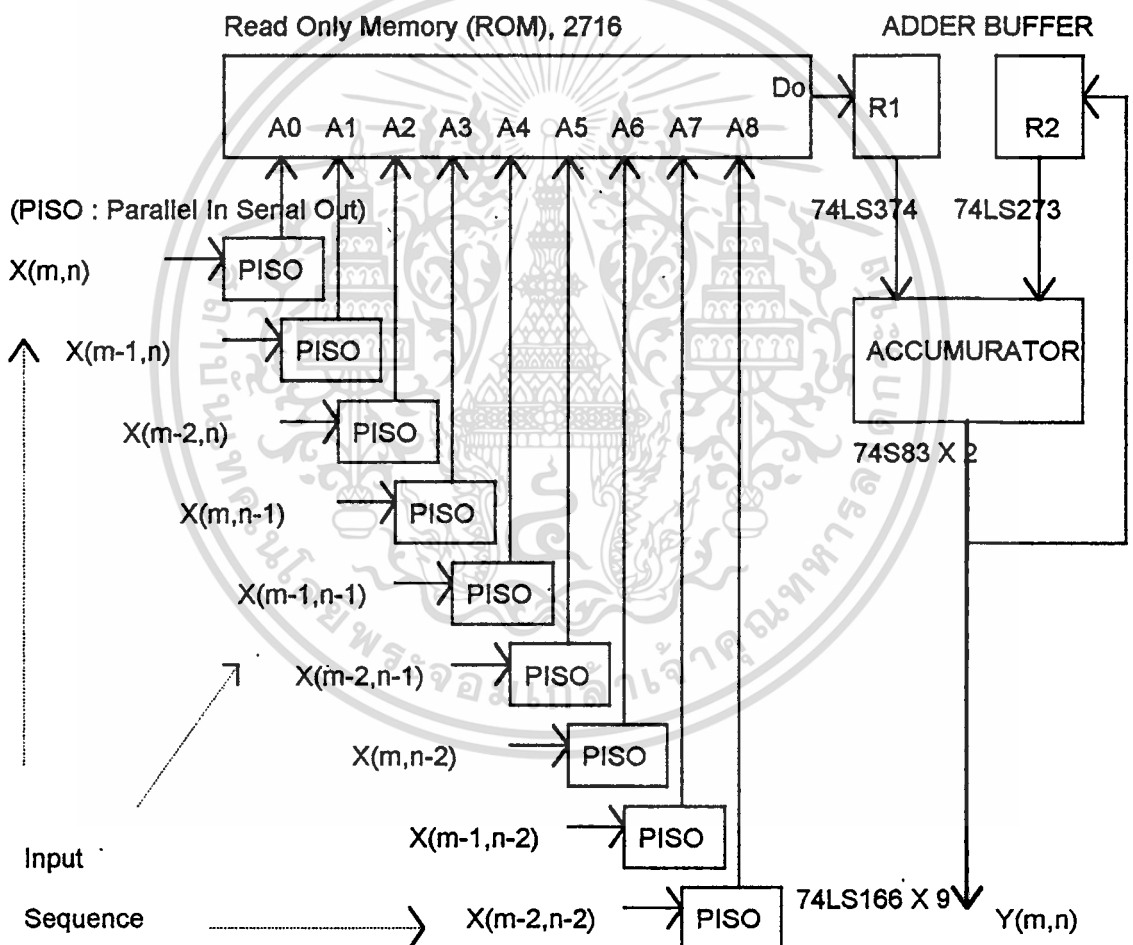
```

จากโปรแกรมข้างบนเป็นโปรแกรมสร้างข้อมูลที่จะเก็บเข้ารอม โดยขั้นแรกจะรับข้อมูลที่เป็นสัมประสิทธิ์ของตัวกรองกำหนดให้เป็นค่า A, B, C, D, E, F, G, H, I ตามลำดับต่อนั้นจะทำการบวกแบบไม่ซ้ำกันโดยใช้วิธีการนับเลขฐานสองในขณะที่จะตรวจสอบค่าลบด้วย ถ้าค่าที่คำนวณออกมาเป็นลบจะทำการส่งค่านั้นไปยังโปรแกรมย่อยทำให้เป็นเลขคอมพลีเมนต์ เมื่อทำการบวกแบบไม่ซ้ำกันครบ 512 ค่าแล้วโปรแกรมจะเก็บค่าที่คำนวณได้ทั้งหมดลงแฟ้มข้อมูล (file) ที่กำหนดแล้วเขียนข้อมูลลงรอมโดยเครื่องเขียนรอม แต่งานวิจัยนี้ใช้แผงวงจรรวมพิวเตอร์วงจรรเดี่ยว (Single Board) รุ่น CP32 ร่วมกับ ET-BASIC 180 ของบริษัท ETT ทำการทดลอง เพราะว่าพัฒนาโปรแกรมจำลองการทำงานและส่งข้อมูลให้วงจรรายการกระจายทางคณิตศาสตร์ได้คล่องตัวกว่า

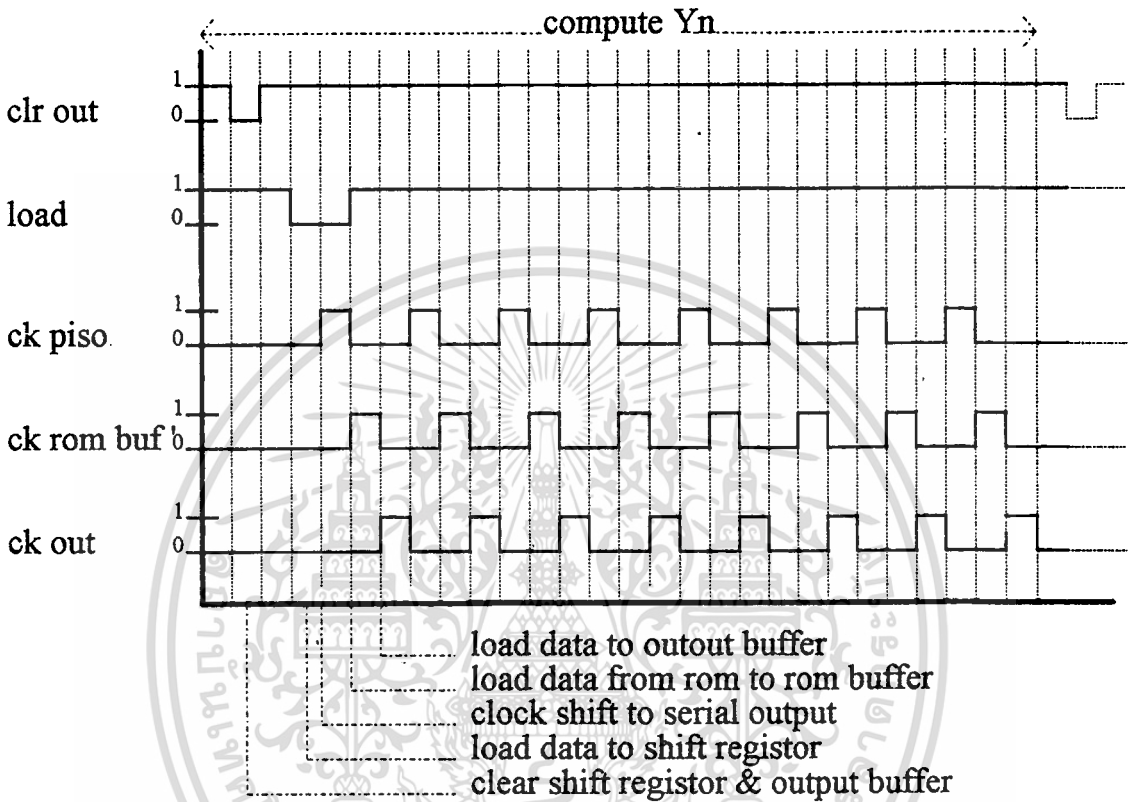
เอกสารนี้เป็นเอกสารที่สงวนไว้สำหรับการใช้งานเพื่อการศึกษาเท่านั้น ไม่อนุญาตให้นำไปใช้ประโยชน์ด้านการค้า ไม่ว่าจะกรณีใดทั้งสิ้น อีกทั้งห้ามมิให้ดัดแปลงเนื้อหา และต้องอ้างอิงถึงเจ้าของเอกสารทุกครั้งที่มีการนำไปใช้

3.4 การออกแบบวงจรการกระจายทางคณิตศาสตร์

การประมวลผลข้อมูลภาพโดยวิธีการกระจายทางคณิตศาสตร์ใช้วิธีนำลำดับสัญญาณ $X(m,n)$ มาจัดลำดับใหม่ดังที่กล่าวมาแล้ว ลำดับสัญญาณทั้ง 9 ค่า ส่งมาหน่วยประมวลผลโดยการเปิดตารางข้อมูล (look-up table) ลำดับข้อมูลที่ออกมาจากหน่วยความจำจะถูกส่งตัวรวมข้อมูลเพื่อให้ได้ลำดับข้อมูลออก $Y(m,n)$ ต่อไป จากรูปที่ 3.7 แสดงถึงวิธีการส่งลำดับ $X(m,n)$ แบบอนุกรม เมื่อส่งครบ 8 บิตแล้ว ถึงจะได้ $Y(m,n)$ 1 ไบท์

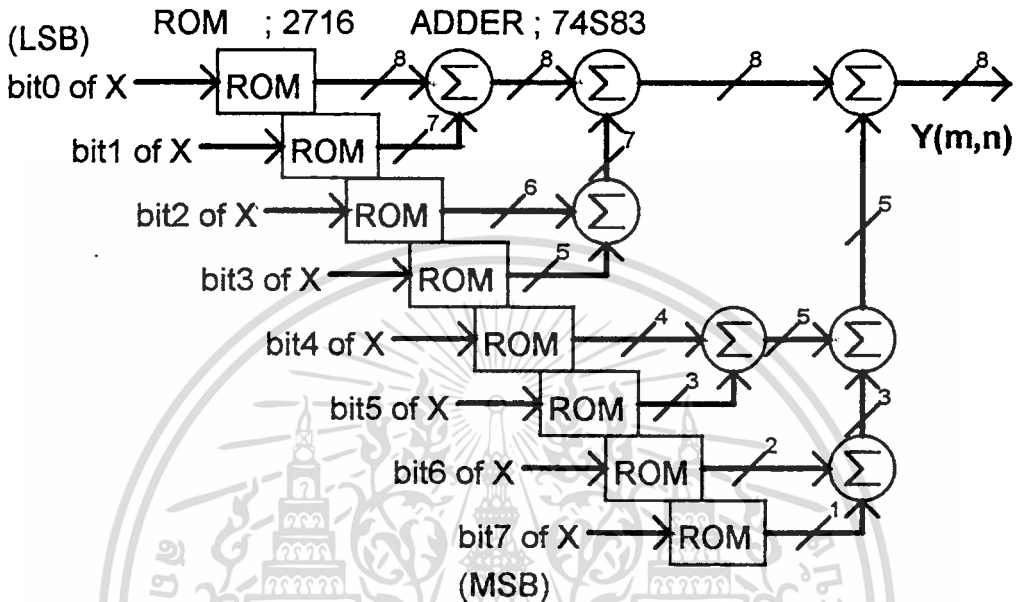


รูปที่ 3.7 โครงสร้างวงจรของสัญญาณเชิงเลขสองมิติแบบ 1 BAAT (Bit At A Time)[3]



รูปที่ 3.8 Time Diagram สัญญาณควบคุมจังหวะการทำงานของวงจรรูปที่ 3.7

จากรูปที่ 3.8 สัญญาณควบคุมการทำงานของวงจรรกระจายทางคณิตศาสตร์แบบอนุกรม จังหวะแรกสัญญาณ $clr\ out$ ทำการเคลียร์ (clear) ข้อมูลออกที่ค้างอยู่ จังหวะที่สองสัญญาณ $load$ ทำหน้าที่ให้ ตัวเลื่อนข้อมูลเข้าขนานออกอนุกรม (Parallel In Serial Out : PISO) นำข้อมูลขนาด 8 บิตทั้ง 9 ลำดับข้อมูล (ที่ส่งมาจากวงจรถัดลำดับข้อมูล 2 มิต) เข้าไปเก็บไว้ในตัวเลื่อนข้อมูลในขณะที่ข้อมูลบิตแรกจะถูกเลื่อน ออกมาด้วยเพื่อส่งไปเปิดตารางข้อมูลที่อยู่ในรอม จังหวะที่สามสัญญาณ $ck\ rom\ buf'$ ทำหน้าที่ส่งข้อมูล จากรอมไปตัวรวมข้อมูล ส่วนสัญญาณ $ck\ out$ ทำให้ผลลัพธ์จากตัวรวมข้อมูลส่งออกมาที่ตัวรวมข้อมูล ในขณะที่จะทำการเลื่อนซ้าย 1 บิตตามทฤษฎีการกระจายทางคณิตศาสตร์ จังหวะที่สี่จะกลับไปวนรอบ จังหวะที่สองอีกเจ็ดรอบ (ทำให้ครบจำนวน 8 บิต) ยกเว้นจะไม่มีสัญญาณ $load$ เพราะจะไหลดขณะเลื่อน 1 ครั้งและเลื่อนต่ออีก 7 ครั้ง เมื่อรอบการทำงานครบ 1 ไชเคิลก็จะได้สัญญาณออก Y_n มีข้อสังเกตอย่าง หนึ่งว่าต้องมี buffer ที่รวมและตัวรวมข้อมูลเพราะจังหวะในการรวมข้อมูลจากรอมกับข้อมูลออกจะต้อง รักษาสภาพข้อมูลจริงก่อนที่จะมีการเปลี่ยนแปลงมีฉะนั้นข้อมูล Y_n จะผิดไปจากทฤษฎี



รูปที่ 3.9 โครงสร้างวงจรแปลงสัญญาณ 2 บิต แบบขนาน (DA full parallel)

การส่งลำดับ $X(m,n)$ นอกจากจะเป็นแบบอนุกรมแล้ว ยังสามารถส่งแบบขนานได้อีกด้วยทั้งนี้ ก็เพื่อต้องการให้ความเร็วในการประมวลผลสูงขึ้น จากรูปที่ 3.9 จะแยกบิตแต่ละบิตของสัญญาณเข้าทั้ง 9 แล้วส่งเข้าหน่วยความจำแต่ละตัวข้อมูลที่ออกจากหน่วยความจำจะถูกส่งไปรวมกันทั้งหมดแล้วได้ ลำดับข้อมูล $Y(m,n)$ ออกมา จะเห็นว่าการใช้วิธีสัญญาณเข้าแบบขนานนี้จะประมวลผลได้เร็วกว่า แบบอนุกรมถึง 8 เท่า เมื่อใช้ความถี่ของสัญญาณนาฬิกาเท่ากันการทำงานจะไม่ซับซ้อนเหมือนกับ แบบอนุกรมแต่ถ้าจำเป็นจะต้องใช้หน่วยความจำถึง 8 ชุด ตัวรวมข้อมูลอีก 7 ชุด ดังนั้นแบบขนานจะ สิ้นเปลืองทั้งอุปกรณ์และกำลังงานมากกว่าจะให้ผลดีด้านความเร็วเพราะใช้สัญญาณนาฬิกา 1 ลูก

อย่างไรก็ตามถ้าอุปกรณ์ที่นำมาใช้สามารถทำงานได้กรณีใช้ความถี่สูงมาก ก็จะเป็นผลดีกับการประมวลผลทั้ง 2 แบบเพราะถ้าเพิ่มความถี่สัญญาณนาฬิกาใช้สูงมากอุปกรณ์หน่วยความจำ โดยเฉพาะจำเป็นต้องใช้แบบพิเศษเพราะปกติรวมจะใช้กับความถี่ที่ไม่สูงมากนัก เช่น รวมของบริษัทเทคซ์อินสทรูเมนต์เบอร์ TMS27C292-3(2Kx8) เป็นรวมพิเศษที่มีค่า access time ต่ำถึง 35ns[12] ส่วนตัวรวมข้อมูลอาจจะใช้ F100181 (74S181) ซึ่งมี propagation delay time โดยเฉลี่ยประมาณ 5ns[13]

บทที่ 4 การประยุกต์ใช้งาน

4.1 การกระจายทางคณิตศาสตร์กับการกรองสัญญาณภาพ

ตัวกรองสัญญาณภาพมีประโยชน์ประยุกต์ใช้ โดยเฉพาะเป็นตัวเพิ่มคุณภาพ หรือ ลดสัญญาณรบกวนของสัญญาณในลักษณะ 2 มิติของระบบการประมวลสัญญาณเชิงเลขสัญญาณเหล่านี้จะต้องพิจารณาเป็นลักษณะช่วง ๆ สัญญาณซึ่งส่งมาเป็นลำดับ สามารถเขียนในรูปของฟังก์ชันได้โดยมีตัวแปรจำนวนเต็ม 2 ตัวซึ่งถูกกำหนดให้ค่าทุกค่าเป็นจำนวนเต็ม การประยุกต์ DA กับวงจรกรองสัญญาณภาพสมการของวงจกรองโดยทั่วไปอยู่ในรูป

$$Y_{m,n} = \sum_{k=0}^2 \sum_{l=0}^2 a_{k,l} X_{m-k,n-l} \quad (4.1)$$

$X_{m,n}$ และ $Y_{m,n}$ เป็นสัญญาณเข้าและสัญญาณออกตามลำดับ $a_{k,l}$ สัมประสิทธิ์ของการกรองกำหนดให้สัญญาณทุกค่าอยู่ในช่วง $+128, -128$ ของเลขคอมพลีเมนต์ของ 2 (2's Complement) ความละเอียดขนาด 7 บิต รวมบิตเครื่องหมายอีก 1 บิต กระจายเป็นเลขฐานสองโดยสมการที่ 4.2

$$X_{m-k,n-l} = \sum_{s=1}^7 X_{m-k,n-l}^s 2^s - X_{m-k,n-l}^s \quad (4.2)$$

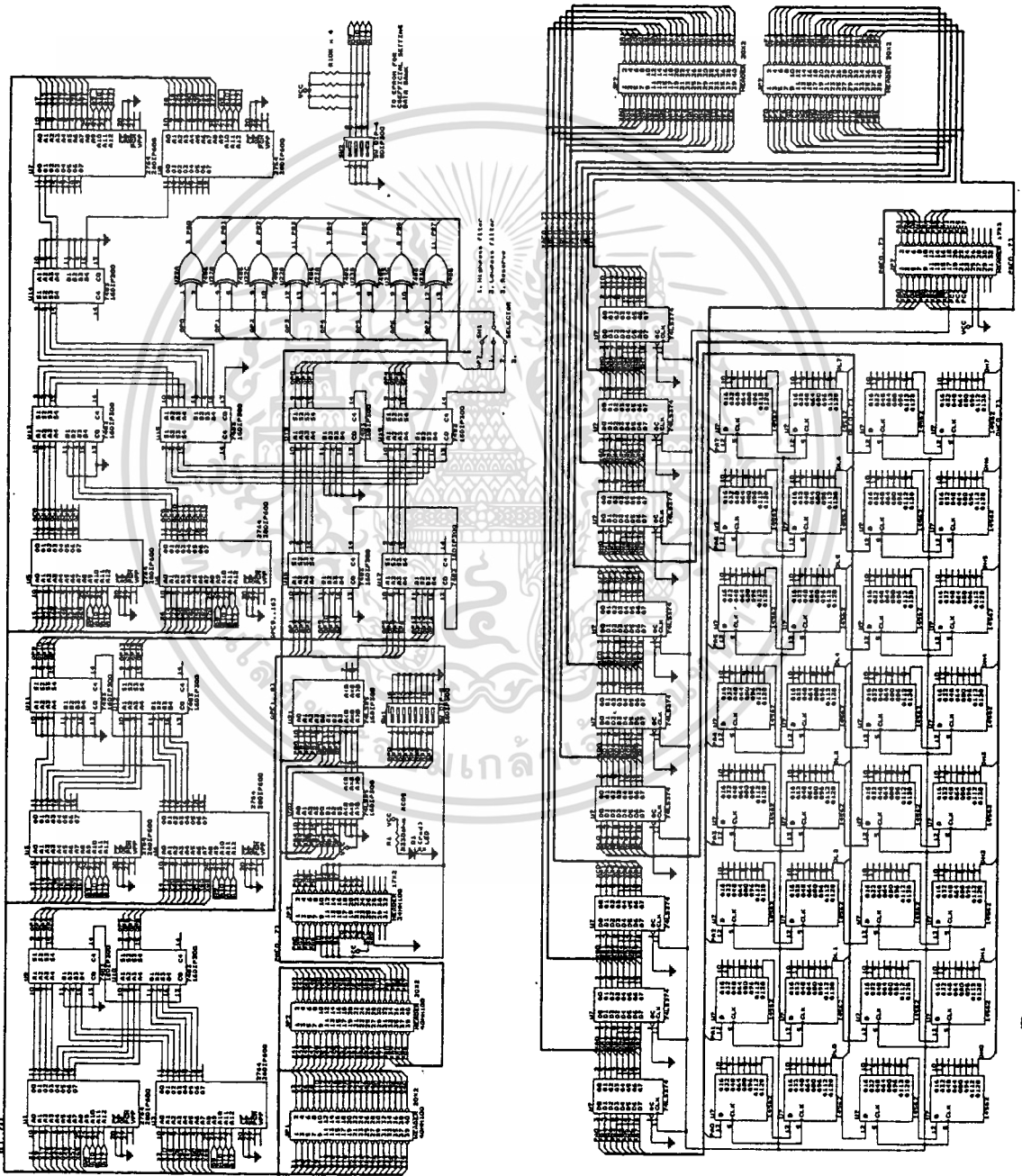
แทนค่าสมการที่ 4.2 ลงสมการที่ 4.1 จะได้สมการที่ 4.3

$$Y_{m-i,n-j} = \sum_{s=1}^7 \left(\sum_{k=0}^2 \sum_{l=0}^2 (a_{k,l} X_{m-k,n-l}^s) 2^s \right) - \left(\sum_{k=0}^2 \sum_{l=0}^2 (a_{k,l} X_{m-k,n-l}^s) \right) \quad (4.3)$$

การออกแบบข้อมูลที่จะเก็บไว้ในหน่วยความจำกรณีของการประมวลสัญญาณ 2 มิติที่กล่าวถึงนี้มีลำดับข้อมูลเข้า 9 ชุด ดังนั้นต้องใช้รอมขนาด 512×8 จากนั้นนำเอาค่าสัมประสิทธิ์จากแผ่นข้อมูลมารวมกันแบบไม่ซ้ำได้ทั้งหมด 512 ค่า (2^9) สมมุติให้มีค่า 1, -2, 1, -2, 5, -2, 1, -2, 1 เป็นค่าที่อยู่ในแผ่นข้อมูลขนาด 3×3 นำค่าทั้ง 9 ค่านี้ มาบวกกันโดยใช้ระบบเลขฐานสองเป็นตัวกำหนดการบวก Y คือค่าที่ต้องบรรจุลงในรอม ถ้าค่า Y เป็นลบต้องเปลี่ยนเป็นเลขคอมพลีเมนต์ของสอง (2's complement) ก่อน แสดงการสร้างข้อมูลในบทที่ 3.3

การกระจายทางคณิตศาสตร์กับการกรองสัญญาณภาพต่อไปนี้จะกล่าวถึงการประยุกต์ใช้งาน

เอกสารนี้เป็นเอกสารทางคณิตศาสตร์กับข้อมูลภาพ ที่ส่งมาจากคอมพิวเตอร์ซึ่งจำลองการทำงานแทนกล้อง ถ้าไม่ว่ากรณีใดทั้งสิ้น อีกทั้งห้ามมิให้ตัดแปลงเนื้อหา และต้องอ้างอิงถึงเจ้าของเอกสารทุกครั้งที่มีการนำไปใช้



รูปที่ 4.1 วงจรกรองสัญญาณ 2 บิต แบบขนาน (DA full parallel)

เอกสารนี้เป็นเอกสารที่สงวนไว้สำหรับการใช้งานเพื่อการศึกษาเท่านั้น ไม่อนุญาตให้นำไปใช้ประโยชน์ด้านการค้า
ไม่ว่ากรณีใดทั้งสิ้น อีกทั้งห้ามมิให้ดัดแปลงเนื้อหา และต้องอ้างอิงถึงเจ้าของเอกสารทุกครั้งที่มีการนำไปใช้

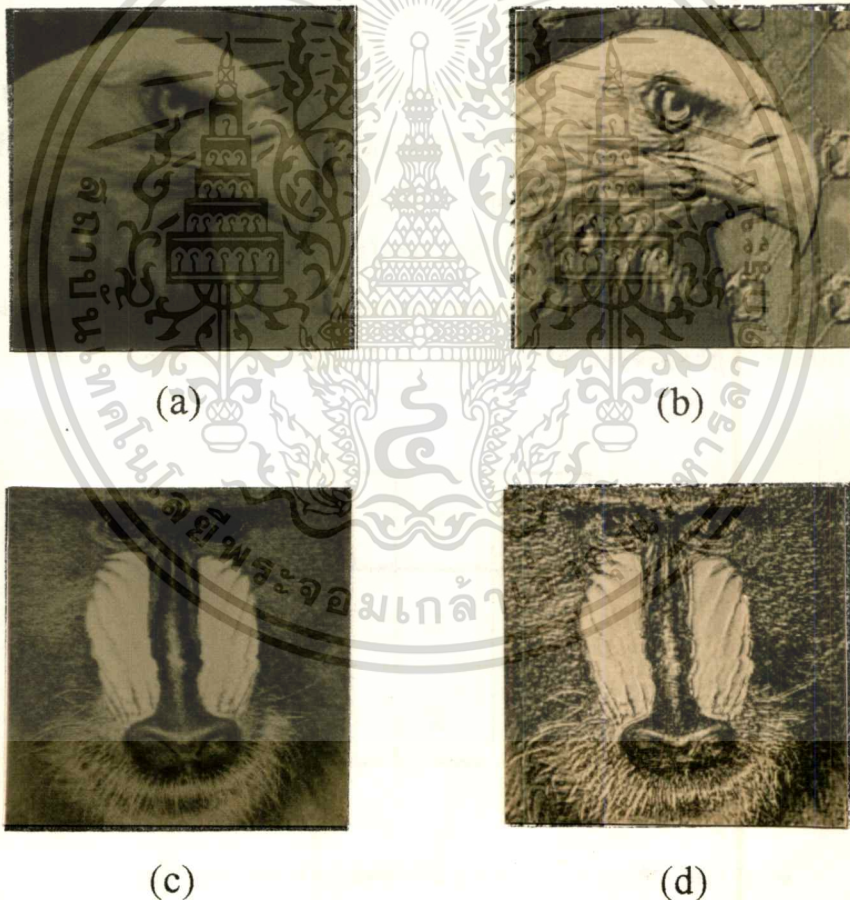
ถ่ายภาพและอุปกรณ์รับภาพแบบต่าง ๆ โดยปกติแล้วถ้าข้อมูลภาพไม่สมบูรณ์ เช่น ภาพไม่คมชัด (Blure), มีสัญญาณรบกวน (Noise) ในระบบการประมวลผลภาพ (Image Processing) มีวิธีการทำให้ภาพชัดเจนมากขึ้น (Enhance) ส่วนของงานวิจัยในบทที่ 4.1 จะประยุกต์กับการกรองความถี่สูงผ่าน (Highpass Filtering) และการกรองความถี่ต่ำผ่าน (Lowpass Filtering) โดยการประมวลผลภาพต่าง ๆ จะใช้วงจรดังรูปที่ 4.1 ทำการทดลองซึ่งไอซี MC14562 ทำหน้าที่เป็นตัวเลื่อนขนาด 128 บิต (128-BIT STATIC SHIFT REGISTER) ดังนั้นจะต้องใช้ 32 ตัว เพื่อหน่วยข้อมูลขนาด 8 บิต จำนวน 256 ข้อมูล 2 ครั้ง และผ่านไอซี 74LS374 หน่วยข้อมูลอีก 1 บิต ซึ่งการทำงานจะเป็นไปตามโครงสร้างจัดลำดับข้อมูลภาพรูปที่ 3.6 ดังนั้นจะได้ลำดับข้อมูล $X(m,n)$ จนถึง $X(m-2,n-2)$ (9 ลำดับข้อมูล) ส่งผ่านลำดับข้อมูลทั้ง 9 ไปยังคอนเน็คเตอร์ขนาด 20X2 จำนวน 2 ตัว ส่วนคอนเน็คเตอร์ขนาด 17X2 ตำแหน่ง PA[0..7] เป็นพอร์ท A จาก 8255 การ์ดส่งลำดับข้อมูลเข้ามาจัดลำดับข้อมูลใหม่เพื่อให้ได้ลำดับข้อมูลแบบ 2 มิติ โดยใช้ PC0 แทนสัญญาณนาฬิกาที่ป้อนให้ขา CLK ของ IC MC14562 และ 74LS374 ทุกตัว ลำดับข้อมูล 2 มิติดังกล่าวจะถูกส่งไปยังตัวประมวลผลโดย DA สังเกตได้ว่าลำดับข้อมูลทั้ง 9 ค่าจะถูกแยกบิตออกจากกันทั้งหมดโดยบิต 0 ของข้อมูลทั้ง 9 จะถูกส่งไปยังรวม U1 ในทำนองเดียวกันจนถึงบิต 7 ของข้อมูลทั้ง 9 จะถูกส่งไปยังรวม U8 ข้อมูลจากรวมทุกตัวจะนำมารวมกันโดยตัวบวก (ADDER) 74LS83 เป็นตัวบวกขนาด 4 บิต การประมวลผลจะเป็นไปตามโครงสร้างวงจรกรองสัญญาณสองมิติแบบขนานดังรูปที่ 3.9 ส่วนการเลือกค่าสัมประสิทธิ์จะกำหนดโดยดิปสวิทช์เป็นตัวเลือกแอดเดรสของรวม เอาท์พุทที่ได้จากการประมวลผลจะถูกส่งไปให้คอนเน็คเตอร์ขนาด 20X2 (JP2) โดยใช้ขั้วบัส PB[0..7] เพื่อส่งกลับไปยังพอร์ท B ของ 8255 ให้คอมพิวเตอร์ทำการจัดเก็บข้อมูลภาพที่ผ่านการประมวลผลไว้ในฮาร์ดดิสก์

4.1.1 การกระจายทางคณิตศาสตร์กับการกรองความถี่สูงผ่าน

ตัวกรองความถี่สูงผ่าน(ความหมายโดยทั่วไปในการประมวลผลภาพ เป็นการเน้นส่วนที่เป็นความถี่สูงหรือระดับความแตกต่างความเข้มของแสงมาก ขณะที่ลดส่วนที่เป็นความถี่ต่ำหรือระดับความแตกต่างความเข้มของแสงน้อย เพราะว่าขอบ (Edge) หรือรายละเอียดของภาพเป็นส่วนของความถี่สูงดังนั้นการกรองความถี่สูงผ่านจะเป็นการเพิ่มความแตกต่างของแสงแต่ละที่ (Local Contrast) และ ความคมชัด (Sharp) ของภาพ ตัวอย่างผลตอบสนองทางอิมพัลส์ (Impulse Response) ของตัวกรองความถี่สูงผ่านที่ใช้ปรับความแตกต่างของแสงให้ชัดเจนขึ้นแสดงดังรูปที่ 4.2[10]

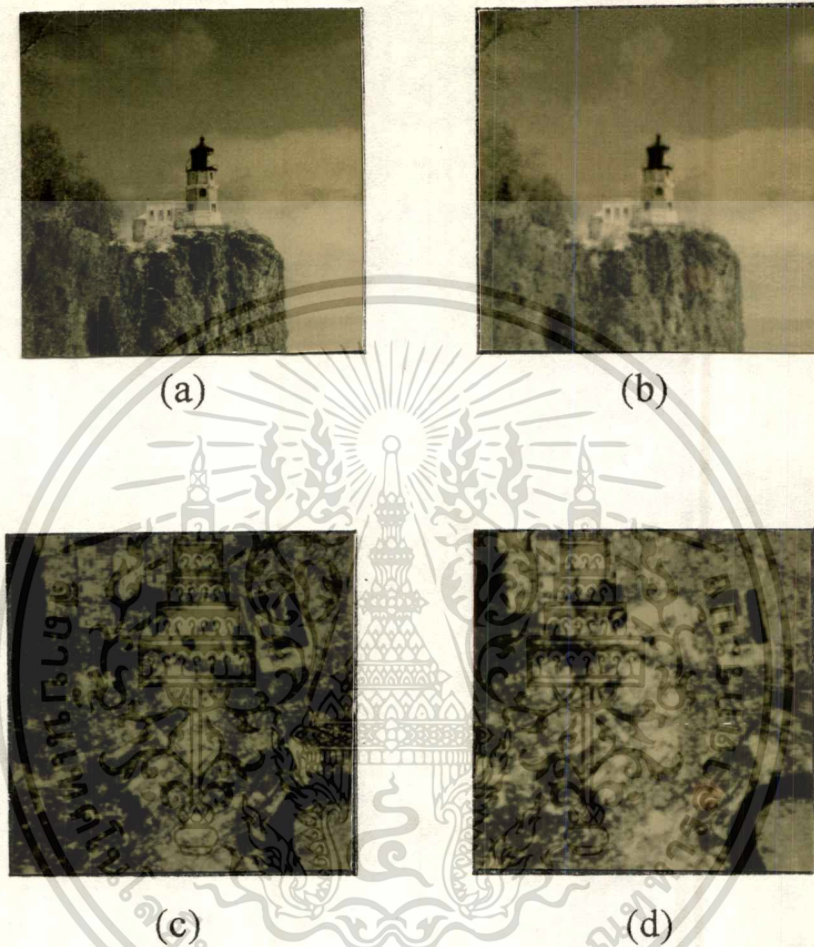
0	-1	0
-1	5	-1
0	-1	0

คุณสมบัติหนึ่งของทุกตัวกรองในรูปที่ 4.2 คือผลรวมทุก ๆ แอมพลิจูด (Amplitude) ของผลตอบสนองทางอิมพัลส์ทุก ๆ ตัวเท่ากับ 1 ดังนั้นผลตอบสนองทางความถี่ของตัวกรองคือ 1 ที่ $\omega_1 = \omega_2 = 0$ และจะให้ส่วนที่เป็น DC (ไม่มีการเปลี่ยนแปลงของระดับสัญญาณ) ผ่านค่า ๆ นั้นออกไป จากคุณสมบัตินี้มีผลกระทบกับค่าเฉลี่ยของความเข้มของแสง (Average Intensity) ที่ส่งวนเอาไว้ไม่ให้เปลี่ยนแปลงในภาพต้นฉบับ นอกจากนี้ผลลัพธ์ของความเข้มของแสงที่ประมวลผลออกมาจะไม่อยู่ในช่วง 0 ถึง 255 เสมอไป ถ้าความเข้มของแสงบางจุด (Pixel) ในการประมวลผลภาพมีค่าเกินช่วง เราสามารถตัดออกจากช่วง 0 และ 255 หรือทำการกำหนดอัตราส่วนใหม่ (Rescale) ของความเข้มทุกจุดให้อยู่ในช่วง 0 ถึง 255



รูปที่ 4.3 ตัวอย่างของการกรองความถี่สูงผ่านการกระจายทางคณิตศาสตร์
(a,c) ภาพที่นำมาทดลองขนาด 256 x 256 (b,d) ภาพกรองความถี่สูงผ่าน

จากรูปที่ 4.3 เป็นผลของการกรองความถี่สูงผ่านโดยรูปที่ 4.3(a),(c) เป็นภาพต้นแบบที่นำมาทดลอง มีขนาด 256 x 256 และรูปที่ 4.3 (b),(d) แสดงภาพซึ่งเป็นผลลัพธ์ของการกรองความถี่สูงผ่าน โดยใช้ตัวกรอง เอกสารนี้เป็นเอกสารที่สงวนไว้สำหรับการใช้งานเพื่อการศึกษาเท่านั้น ไม่อนุญาตให้นำไปใช้ประโยชน์ด้านการค้า ไม่ว่ากรณีใดๆทั้งสิ้น อีกทั้งห้ามมิให้ดัดแปลงเนื้อหา และต้องอ้างอิงถึงเจ้าของเอกสารทุกครั้งที่มีการนำไปใช้

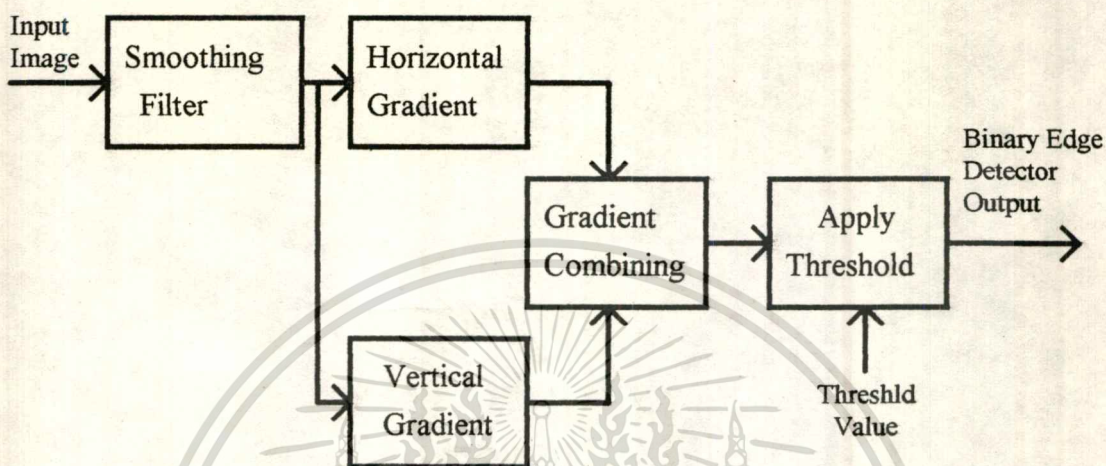


รูปที่ 4.5 ตัวอย่างการกรองความถี่ต่ำผ่านการกระจายทางคณิตศาสตร์
 (a,c) ภาพที่นำมาทดลองขนาด 256 x 256 (b,d) ภาพการกรองความถี่ต่ำผ่าน

4.2 การกระจายทางคณิตศาสตร์กับ Sobel Edge Detector

Sobel edge detector[10] เป็นกระบวนการทำให้ข้อมูลภาพในส่วนที่เป็นเส้นขอบรูป (contour) ของวัตถุในภาพมีลักษณะเด่นชัดขึ้นโดยจะไม่คำนึงข้อมูลภาพในส่วนอื่นมากนัก วิธีการทำได้โดยใช้แผ่นข้อมูล (mask) 3 ชุด ที่มีขนาด 3x3 จุด และมีข้อมูลดังนี้ $\{1, 2, 1, 2, 4, 2, 1, 2, 1\}$ ทำหน้าที่ smooth filter , $\{1, 1, 1, 0, 0, 0, -1, -1, -1\}$ ทำหน้าที่ horizontal edge detector, $\{-1, 0, 1, -1, 0, 1, -1, 0, 1\}$ ทำหน้าที่ vertical edge detector แผ่นข้อมูลทั้ง 3 ชุดนี้จะวางทับไปบนข้อมูลภาพแล้วเคลื่อนที่ไปในตำแหน่งต่าง ๆ ของภาพทีละจุด ในแต่ละครั้งข้อมูลทั้งหมดที่อยู่ในบริเวณนี้ที่ตำแหน่งเดียวกันจะถูกนำมาคูณกันผลลัพธ์ที่ได้ทั้ง 9 ค่าจะนำมารวมกันเพื่อคำนวณหาขนาด (absolute value) แล้วเก็บเป็นข้อมูลใหม่ ณ จุดกึ่งกลาง แสดงการทำงาน edge detector ดังรูปที่ 4.6

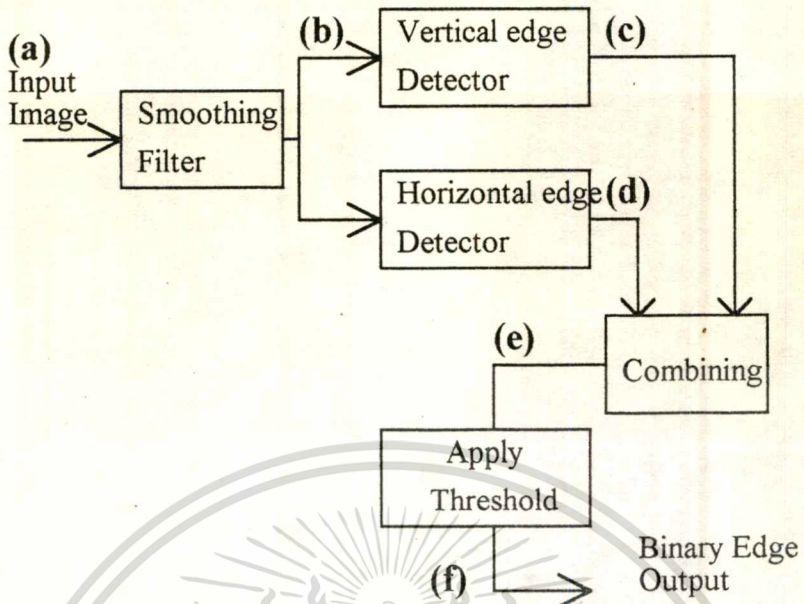
ไม่ว่ากรณีใดๆ ทั้งสิ้น อีกทั้งห้ามมิให้ดัดแปลงเนื้อหา และต้องอ้างอิงถึงเจ้าของเอกสารทุกครั้งที่มีการนำไปใช้



รูปที่ 4.6 การทำงานของ Sobel edge detection

การทดลอง edge detect กับ DA นี้ ต้องแปลงแผ่นข้อมูลทั้ง 3 ชุดตามวิธีบทที่ 2 จากนั้นส่งข้อมูลภาพผ่าน DA ฮาร์ดแวร์ 3 รอบ ที่ทำเช่นนี้เพราะว่าใช้แผ่นข้อมูล 3 ชุด แต่ฮาร์ดแวร์ประมวลผลได้ทีละ 1 ข้อมูลภาพเท่านั้นจากนั้นนำข้อมูลภาพที่เป็น ver-edge และ hor-edge มารวมกันทางซอฟต์แวร์รวมถึงการปรับค่า threshold ด้วย อย่างไรก็ตามเราสามารถที่จะเพิ่ม DA ฮาร์ดแวร์ 3 ชุด, วงจรรวมข้อมูลระหว่าง ver-edge กับ hor-edge และ วงจรเปรียบเทียบ (comparator) เพื่อกำหนดค่า threshold ก็จะทำให้การประมวลผลของ DA กับ edge detector สะดวกและเร็วยิ่งขึ้น ผลที่ได้จากการทดลองนี้ถึงแม้ว่าจะใช้ซอฟต์แวร์บ้าง แต่ก็ยังเป็นเพียงเรื่องการรวมข้อมูลการแสดงผลบนจอคอมพิวเตอร์ไม่ได้มีการใช้ซอฟต์แวร์ตกแต่ง หรือ filter ข้อมูลภาพแบบใด ๆ ทั้งสิ้น

จากรูปที่ 4.7 เป็นโครงสร้างการทำงานหาขอบภาพโดย Sobel edge detector ตัวอักษรที่กำกับอยู่ระหว่างบล็อกจะกำหนดให้เป็นข้อมูลภาพดังรูปที่ 4.8(a)-4.8(f) โดยรูปที่ 4.8(a) เป็นข้อมูลภาพที่นำมาทดลองผ่านตัวกรองแบบราบเรียบประมวลผลโดยวงจร DA full parallel ได้ผลเป็นภาพ 4.8(b) ส่งประมวลผลอีก 2 ครั้งสำหรับหาขอบแนวตั้งและแนวนอน ได้ภาพ 4.8(c) และ 4.8(d) ตามลำดับ นำภาพทั้งสองมารวมกันทางซอฟต์แวร์ได้ภาพ 4.8(e) แล้วทำการกำหนดค่าเทรชโฮลด์จะได้ขอบของภาพสองระดับดังรูปที่ 4.8(f)

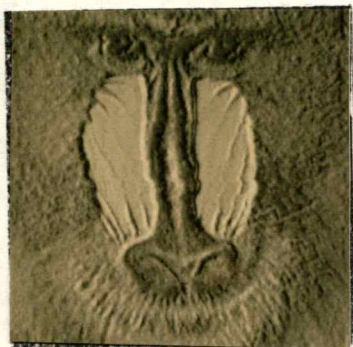


รูปที่ 4.7 โครงสร้างการทำงานหาขอบภาพโดย Sobel edge detector



(a)

(b)

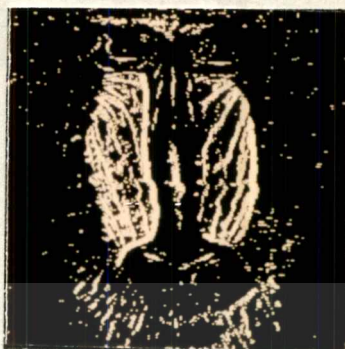


เอกสารนี้เป็นเอกสารที่สงวนไว้สำหรับ (c)การใช้งานเพื่อการศึกษาเท่านั้น ไม่อนุญาต (d)นำไปใช้ประโยชน์ด้านการค้า
 ไม่ว่าจะกรณีใดทั้งสิ้น อีกทั้งห้ามมิให้คัดลอกไปเผยแพร่โดยไม่ได้รับอนุญาตจากเจ้าของเอกสารทุกครั้งที่มีการนำไปใช้

รูปที่ 4.8 ตัวอย่างของ sobel edge detector



(e)



(f)

รูปที่ 4.8 (ต่อ) ตัวอย่างของ Sobel edge detector

- (a) ข้อมูลภาพที่นำมาวิเคราะห์
- (b) ข้อมูลภาพที่ผ่านตัวกรองความถี่ต่ำผ่าน
- (c) ภาพที่ผ่านตัวกรอง Vertical Sobel edge detector
- (d) ภาพที่ผ่านตัวกรอง Horizontal Sobel edge detector
- (e) ภาพที่รวมแนวตั้งและแนวนอนเข้าด้วยกัน
- (f) ขอบของภาพสองระดับที่กำหนดค่าเทรชโฮลด์เท่ากับ 80

จากรูปที่ 4.9(a) เป็นข้อมูลภาพที่นำมาทดลองประมวลผลข้อมูล ภาพถูกประมวลทำให้เป็นภาพราบเรียบ (smooth) โดยใช้ตัวกรองความถี่ต่ำผ่าน $1/16 \{1, 2, 1, 2, 4, 2, 1, 2, 1\}$ แล้วส่งข้อมูลจากคอมพิวเตอร์ผ่านวงจรจัดลำดับข้อมูลให้เป็นลักษณะ 2 มิติ วงจรการกระจายทางคณิตศาสตร์จะประมวลผลอีก 2 ครั้งคือ หาขอบภาพทางแนวตั้งและหาขอบภาพทางแนวนอน คล้ายกับรูปที่ 4.8(c) และ 4.8(d) ตามลำดับ ส่วนรูปที่ 4.9(b) เป็นผลลัพธ์ของขอบรูปภาพทั้งหมดโดยกำหนดค่าเทรชโฮลด์เท่ากับ 65 รูปที่ 4.9 ไม่ได้แสดงรายละเอียดของภาพแต่ละชั้นตอน แต่วิธีการทดลองเหมือนกับรูปที่ 4.8



เอกสารนี้เป็นเอกสารที่สงวนไว้สำหรับ (a) การใช้งานเพื่อการศึกษาเท่านั้น ไม่อนุ (b) ตให้นำไปใช้ประโยชน์ด้านการค้า
ไม่ว่ากรณีใดทั้งสิ้น รูปที่ 4.9 (a) ข้อมูลภาพที่นำมาวิเคราะห์ (b) ผลของ Sobel edge detector ที่มีการนำไปใช้

4.3 การกระจายทางคณิตศาสตร์กับ Binary image edge detector

ภาพสองระดับ (Binary image) เป็นภาพที่มาจากภาพระดับสีเทา (gray scale) 256 ระดับที่ผ่านการตัดระดับสีเทาให้เป็นสองระดับ (0, 1) โดยการกำหนดค่าเทรชโฮลด์ (Threshold) ภาพที่ได้ขึ้นมาใหม่จะมีค่า '0' = มืด และ '1' = สว่าง ซึ่งเป็นภาพจะมีเฉพาะส่วนที่สนใจเท่านั้น ส่วนที่เป็นพื้นด้านหลังจะเป็นสีเรียบสีเดียว และอีกส่วนหนึ่งคือวัตถุจริง ๆ ที่ต้องการวิเคราะห์โดยมีสีที่แตกต่างไปจากสีพื้น ภาพสองระดับจะไม่เน้นรายละเอียดของรูปภาพแต่จะเน้นเฉพาะรูปร่างของภาพทำให้มีประโยชน์ในด้านของประหยัต์ที่เก็บข้อมูล การวิเคราะห์หาพื้นที่ หาเส้นขอบ และการเข้ารหัส เป็นต้น เพื่อให้คอมพิวเตอร์ตรวจสอบชนิดของวัตถุได้ การทดลองนี้จะแตกต่างกับการประมวลผลภาพที่กล่าวมาแล้วเนื่องจากว่าภาพที่จะนำมาประมวลในบทนี้ข้อมูลแต่ละจุดมีขนาด 1 บิต ดังนั้นถ้าเราย้อนกลับไปถึงทฤษฎี และโครงสร้างของการกระจายทางคณิตศาสตร์จะทำให้เราทราบว่า วงจรทวนวงสัญญาณและวงจรรวมข้อมูลจะมีขนาดเล็กลงมาก พิจารณาสมการการกรองสัญญาณภาพต่อไปนี้

$$Y_{m,n} = \sum_{m=0}^2 \sum_{n=0}^2 M_{m-1,n-1} X_{m-1,n-1} \quad (4.4)$$

จากทฤษฎีบทที่ 2 ทำการกระจาย $X_{m-1,n-1}$

$$X_{m-k,n-l} = \sum_{s=0}^7 X_{m-k,n-l}^s 2^s \quad (4.5)$$

แต่เนื่องจากว่า $X_{m-1,n-1}$ มีขนาด 1 บิต ค่าของมันจึงเป็น 0 หรือ 1 เท่านั้น ดังนั้น

$$Y_{m,n} = 2^0 \sum_{m=0}^2 \sum_{n=0}^2 M_{m-1,n-1} X_{m-1,n-1}^0 \quad (4.6)$$

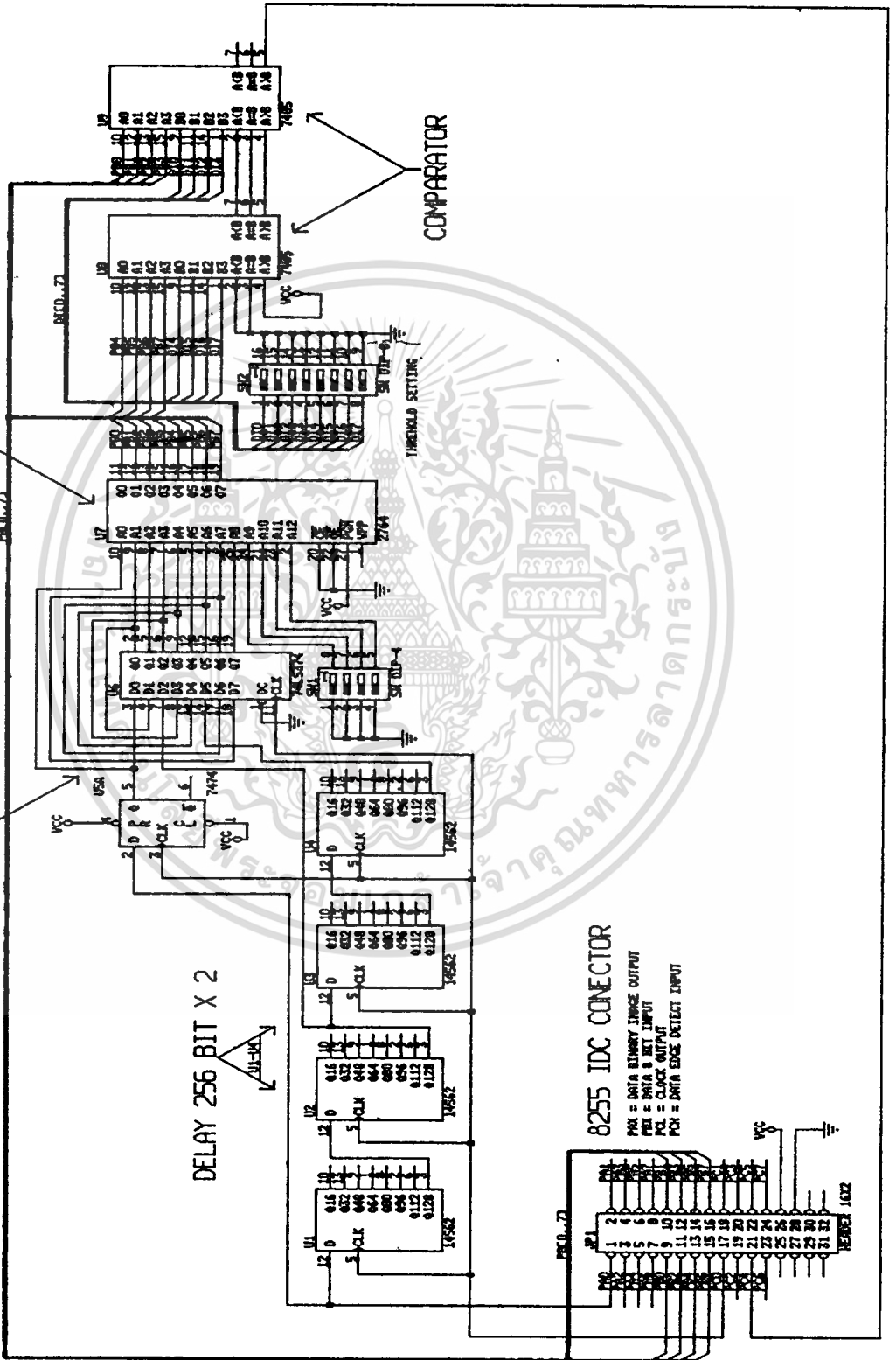
จากการทดลองใช้การกรองแบบลาปลาซเซียล (Laplacian Filtering)[10] ซึ่งมีแผ่นข้อมูล (mask) คือ

-1	-1	-1
-1	8	-1
-1	-1	-1

รูปที่ 4.10 ตัวกรองแบบ Laplacian edge detector

เอกสารนี้เป็นเอกสารที่สงวนไว้สำหรับใช้ในการอ้างอิงเพื่อการศึกษาเท่านั้น ไม่อนุญาตให้นำไปใช้ประโยชน์ด้านการค้า ไม่ว่าจะกรณีใดๆ ทั้งสิ้น อีกทั้งห้ามมิให้ดัดแปลงเนื้อหา และต้องอ้างอิงถึงเจ้าของเอกสารทุกครั้งที่มีการนำไปใช้

1 BIT SHIFT REGISTER X 9
DISTRIBUTED ARITHMETICS TABLE



รูปที่ 4.11 วงจรการกระจายทางคณิตศาสตร์กับข้อมูลขนาด 1 บิต

เอกสารนี้เป็นเอกสารที่สงวนไว้สำหรับการใช้งานเพื่อการศึกษาเท่านั้น ไม่อนุญาตให้นำไปใช้ประโยชน์ด้านการค้า ไม่ว่าจะกรณีใดๆทั้งสิ้น อีกทั้งห้ามมิให้ดัดแปลงเนื้อหา และต้องอ้างอิงถึงเจ้าของเอกสารทุกครั้งที่มีการนำไปใช้



(a)



(b)

รูปที่ 4.12 ตัวอย่างของ Laplacian edge detector
 (a)รูปภาพที่นำมาทดลอง (b) ผลของลาปลาซเชิงลบ

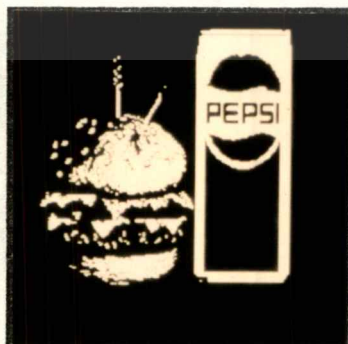


(a)

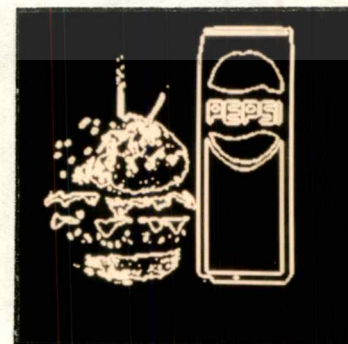


(b)

รูปที่ 4.13 ตัวอย่างของ Laplacian edge detector
 (a)รูปภาพที่นำมาทดลอง (b) ผลของลาปลาซเชิงลบ



(a)



(b)

รูปที่ 4.14 ตัวอย่างของ Laplacian edge detector
 (a)รูปภาพที่นำมาทดลอง (b) ผลของลาปลาซเชิงลบ

เอกสารนี้เป็นเอกสารที่สงวนไว้สำหรับกรรมการแข่งขันเพื่อการศึกษาเท่านั้น เมื่อนุญเตเห็นนำไปใช้ประโยชน์ด้านการค้า
 ไม่ว่าจะกรณีใดๆทั้งสิ้น อีกทั้งห้ามมิให้ดัดแปลงเนื้อหา และต้องอ้างอิงถึงเจ้าของเอกสารทุกครั้งที่มีการนำไปใช้

บทที่ 5 แนวทางพัฒนา

5.1 การพัฒนาการกระจายทางคณิตศาสตร์กับวงจรกรองอันดับสูง

จากที่เราได้ทราบกันแล้วว่า การคูณในคอมพิวเตอร์จะใช้เวลามากทำให้การทำงานไม่สามารถจะเป็นเวลาจริงได้ วิธีค้นหาจากรวมหรือวิธีรวมเปลี่ยนการคูณเป็นการบวกและเลื่อน แนวความคิดของวิธีนี้สามารถแสดงให้เห็นได้อย่างดีในการพัฒนากับการกรองแบบ Second-order Infinite Impulse Response (IIR)[11] ซึ่งความสัมพันธ์ ระหว่างอินพุตกับเอาต์พุต เป็นดังนี้

$$Y_n = a_0 x_n + a_1 x_{n-1} + a_2 x_{n-2} - b_1 Y_{n-1} - b_2 Y_{n-2} \quad (5.1)$$

จากสมการที่ 5.1 ให้ X_n และ Y_n คือ สัญญาณแบบอันดับของอินพุตและเอาต์พุตตามลำดับ ส่วน a_0, a_1, a_2, b_1 และ b_2 เป็นสัมประสิทธิ์ของฟิลเตอร์

การสร้างวงจรกรองสัญญาณเชิงเลขอันดับ 6 (A Sixth Order Digital Filter Implementation)

การประยุกต์กับวงจรกรองสัญญาณอันดับ 6 โดยใช้วงจรกรองอันดับ 2 จำนวน 3 ชุดมาแคสเคด (Cascade) กันมีรูปแบบดังสมการที่ 5.2a, 5.2b และ 5.2c

$$V_n = a_{0,1} X_n + a_{1,1} X_{n-1} + a_{2,1} X_{n-2} - b_{1,1} V_{n-1} - b_{2,1} V_{n-2} \quad (5.2a)$$

$$Z_n = a_{0,2} V_n + a_{1,2} V_{n-1} + a_{2,2} V_{n-2} - b_{1,2} Z_{n-1} - b_{2,2} Z_{n-2} \quad (5.2b)$$

$$Y_n = a_{0,3} Z_n + a_{1,3} Z_{n-1} + a_{2,3} Z_{n-2} - b_{1,3} Y_{n-1} - b_{2,3} Y_{n-2} \quad (5.2c)$$

เมื่อ X_n ลำดับสัญญาณเข้า (input sequence) ขณะที่ V_n, Z_n คือสัญญาณออกของส่วนแรกและส่วนที่ 2 ตามลำดับ Y_n เป็นสัญญาณออก (output sequence) โดยมี $\{a_{ij}\}, \{b_{ij}\}$ เป็นค่าสัมประสิทธิ์ของวงจรกรอง (j คือส่วนต่าง ๆ ของวงจรกรองอันดับ 2) ดังนั้นจึงตัดตารางของอันดับ 2 $F(X_n^k, X_{n-1}^k, X_{n-2}^k, Y_{n-1}^k, Y_{n-2}^k)$ ถึง 3 ชุด โดยแต่ละชุดจะให้ 32 ค่า ($=2^5$) โดยสมการที่ 5.3

$$F(X_n^k, X_{n-1}^k, X_{n-2}^k, Y_{n-1}^k, Y_{n-2}^k) = a_0 X_n^k + a_1 X_{n-1}^k + a_2 X_{n-2}^k - b_1 Y_{n-1}^k - b_2 Y_{n-2}^k \quad (5.3)$$

ค่า F ทั้ง 32 ค่าจะถูกเก็บไว้ในหน่วยความจำ 32 ตำแหน่ง ซึ่งสอดคล้องกับตำแหน่งที่ชี้โดยชิพทรีจิสเตอร์ $X_n, X_{n-1}, X_{n-2}, Y_{n-1}, Y_{n-2}$ บิทขวาสุดโดยที่บิทขวาสุดของชิพทรีจิสเตอร์เหล่านี้จะเป็นตัวชี้แอดเดรสของค่า F ในตารางหน่วยความจำ จากนั้นหน่วยคำนวณก็จะนำค่า F ในตำแหน่งที่ถูกชี้โดยบิทขวาสุดของชิพทรีจิสเตอร์มาคำนวณดังสมการ (5.4)

$$Y_N = \sum_{K=1}^{B-1} 2^{-K} F(X_n^K, X_{n-1}^K, X_{n-2}^K, Y_{n-1}^K, Y_{n-2}^K) - F(X_n^0, X_{n-1}^0, X_{n-2}^0, Y_{n-1}^0, Y_{n-2}^0) \quad (5.4)$$

คำนวณไปที่ละบิตจนครบ 16 บิต (สำหรับปริวิตเตอร์ 16 บิต) จึงจะได้ค่า Y_n หนึ่งครั้งแต่ถ้าเป็นแบบอันดับที่ 6 การคำนวณจะเป็นไปตามสมการ 5.5a, 5.5b และ 5.5c

$$V_n = a_{0,1} X_n + a_{1,1} X_{n-1} + a_{2,1} X_{n-2} - b_{1,1} V_{n-1} - b_{2,1} V_{n-2} = F(X_n^K, X_{n-1}^K, X_{n-2}^K, V_{n-1}^K, V_{n-2}^K) \quad (5.5a)$$

$$Z_n = a_{0,2} V_n + a_{1,2} V_{n-1} + a_{2,2} V_{n-2} - b_{1,2} Z_{n-1} - b_{2,2} Z_{n-2} = F(X_n^K, X_{n-1}^K, X_{n-2}^K, Z_{n-1}^K, Z_{n-2}^K) \quad (5.5b)$$

$$Y_n = a_{0,3} Z_n + a_{1,3} Z_{n-1} + a_{2,3} Z_{n-2} - b_{1,3} Y_{n-1} - b_{2,3} Y_{n-2} = F(X_n^K, X_{n-1}^K, X_{n-2}^K, Y_{n-1}^K, Y_{n-2}^K) \quad (5.5c)$$

จะเห็นได้ว่าถ้าสัมประสิทธิ์เปลี่ยนไป จะทำให้ลักษณะของการกรองเปลี่ยนไปด้วย เราสามารถกำหนดคุณลักษณะของฟิลเตอร์แล้วป้อนเข้าไปในโปรแกรมก็จะได้ค่าสัมสิทธิ์ซึ่งเป็นเลขประกอบของสอง (2's Complement) เมื่อได้ค่าสัมประสิทธิ์แล้วก็สามารถป้อนเข้าไปเก็บไว้ใน ROM โดยผ่านไมโครคอมพิวเตอร์วงจรถ้วนเดียว (Single Board) หรือ เครื่องลอกแบบรวม (copy EPROM) ซึ่งสามารถป้อนเป็นเลขฐาน 16 และพัฒนาได้ง่าย และมีโครงสร้างของตัวกรองดังรูปที่ 5.1

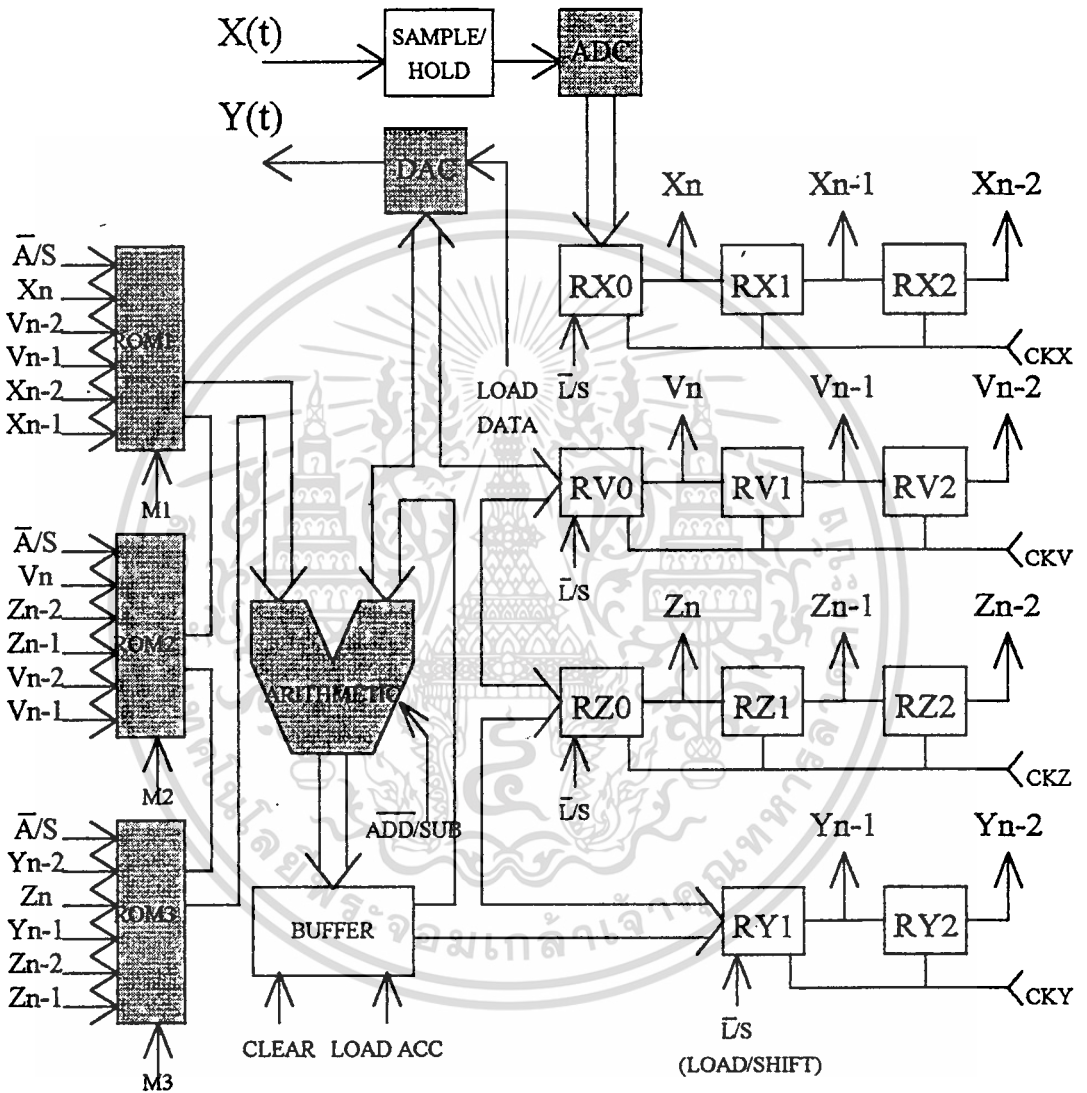
รายละเอียดของสัญญาณควบคุมวงจรกรอง

สัญญาณ

หน้าที่

CKX (Clock register X control)	สัญญาณนาฬิกาของ RX0, RX1 และ RX2
CKV (Clock register X control)	สัญญาณนาฬิกาของ RV0, RV1 และ RV2
CKZ (Clock register X control)	สัญญาณนาฬิกาของ RZ0, RZ1 และ RZ2
CKY (Clock register X control)	สัญญาณนาฬิกาของ RY0, RY1 และ RY2
L/S (Load Shift)	สัญญาณควบคุมตัวเลื่อนข้อมูลให้อ่านและเลื่อนข้อมูล
CLEAR	เมื่อเป็น 0 จะเคลียร์ข้อมูลจากแอสคิวิตวมูลเตอร์
M1 (Select ROM 1)	กำหนดการทำงานของรอม 1
M2 (Select ROM 2)	กำหนดการทำงานของรอม 2
M3 (Select ROM 3)	กำหนดการทำงานของรอม 3

เอกสารนี้เป็นเอกสารที่สงวนไว้สำหรับการใช้งานเพื่อการศึกษาเท่านั้น ไม่อนุญาตให้นำไปใช้ประโยชน์ด้านการค้า ไม่ว่ากรณีใดก็ตาม อีกทั้งห้ามมิให้ดัดแปลงเนื้อหา และต้องอ้างอิงถึงเจ้าของเอกสารทุกครั้งที่มีการนำไปใช้



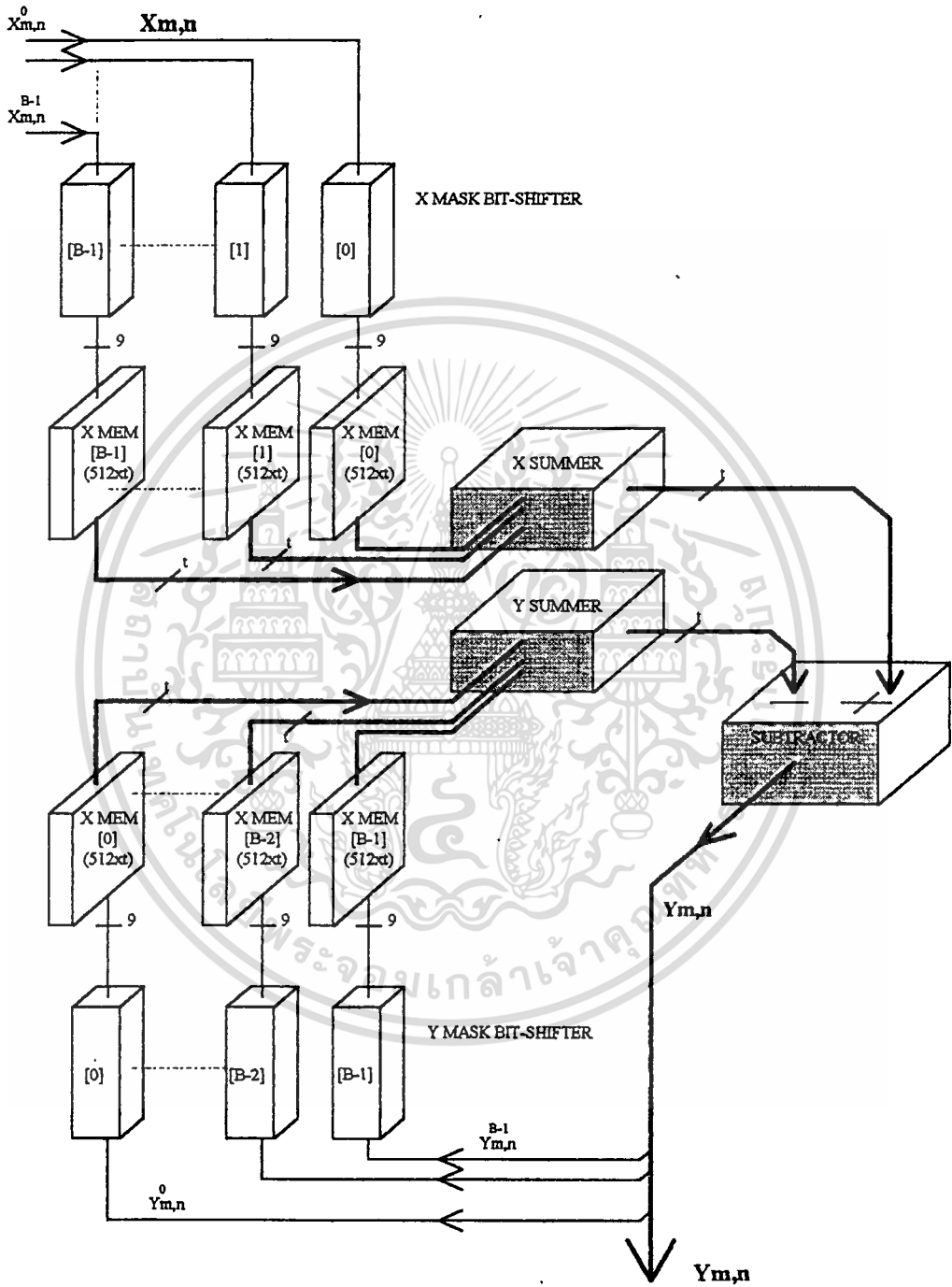
รูปที่ 5.1 โครงสร้างของวงจรของสัญญาณเชิงเลขอันดับ 6

5.2 การพัฒนาการกระจายทางคณิตศาสตร์กับตัวกรองสองมิติแบบป้อนกลับ

วงจรรวมการกระจายทางคณิตศาสตร์ที่ทำวิจัยขึ้นมาแล้วยังมีจุดที่ต้องพัฒนาให้ประมวลผลข้อมูลได้ละเอียดมากขึ้น จากทฤษฎีการกรองสัญญาณภาพการประมวลผลบางครั้งค่าที่ได้ไม่อยู่ในช่วง 0 ถึง 255 เสมอไปทำให้วงจรรวมการกระจายทางคณิตศาสตร์ประมวลผลออกมาผิดพลาดไปจากทฤษฎี ตัวอย่างเช่น ตัวกรองความถี่ต่ำผ่าน มีค่าสัมประสิทธิ์ที่เป็นค่าบวกทั้งหมดเมื่อนำไปคูณกับข้อมูลภาพที่มีค่ามาก ก็จะทำให้ได้ผลลัพธ์ออกมาเกิน 255 หรือกรณีตัวกรองความถี่สูงผ่านค่าสัมประสิทธิ์มีทั้งค่าที่เป็นลบและบวก เมื่อนำไปคูณกับข้อมูลภาพที่ทำให้ได้ผลลัพธ์ติดลบ วงจรรวมการกระจายทางคณิตศาสตร์จะประมวลผลออกมาผิดพลาด ดังนั้นถ้าเราจัดโครงสร้างของวงจรรวมให้สามารถประมวลผลข้อมูลขนาด 12 บิต หรือมากกว่า การประมวลผลจะถูกต้องมากขึ้น จากวงจรรวมการกระจายทางคณิตศาสตร์จะเห็นได้ว่ารวมตัวแรกใช้เอาท์พุทขนาด 8 บิต ตัวที่สอง 7 บิต จนถึงรวมตัวสุดท้ายใช้เพียงบิตเดียว ดังนั้นถ้าเราเอาเอาท์พุทที่ไม่ได้ใช้ของรวมตัวที่สองถึงตัวสุดท้ายมาใช้งานด้วยนั้นหมายความว่าเราจำเป็นต้องจัดตัวรวมข้อมูลให้มีโครงสร้างขนาด 16 บิต ส่วนผลลัพธ์ที่ออกมาจากการรวมข้อมูลก็ให้ทำการปรับอัตราให้ลดลง (scale down) ตามความเหมาะสมของข้อมูล นอกจากนี้ถ้าสมการการกรองสัญญาณสองมิติแบบป้อนกลับเราสามารถพัฒนางจรรวมการกระจายทางคณิตศาสตร์เพิ่มมาอีกหนึ่งชุดสำหรับการจัดลำดับข้อมูลและประมวลผลข้อมูลของสัญญาณออกซึ่งจะแสดงโครงสร้างดังรูปที่ 5.2

จากรูปที่ 5.2 เป็นโครงสร้างตัวประมวลผลสัญญาณภาพ โดย X-MEM เป็นตัวเก็บค่าสัมประสิทธิ์ของการประมวลผลสัญญาณเข้ามีหน่วยความจำขนาด $512 \times t$ (t แทนจำนวนบิต) จำนวน B ตัว สัญญาณเข้า $X_{m,n}$ จะถูกแยกบิตออกเป็นจำนวน B บิต ส่งผ่านตัวจัดลำดับข้อมูลสองมิติ X MASK BIT-SHIFTER ได้สัญญาณแบบสองมิติมีขนาด 9 บิต จำนวน 8 ชุด ส่งไปเปิดตารางข้อมูลเพื่อนำไปรวมกันโดยตัวรวมข้อมูล X SUMMER ในขณะที่สัญญาณ $Y_{m,n}$ ถูกจัดลำดับสัญญาณไปเปิดตารางข้อมูลและรวมข้อมูลเหมือนกับกรณีของ $X_{m,n}$ เอาท์พุทที่ได้จาก X SUMMER และ Y SUMMER จะถูกมารวมกันอีกทีโดยตัว SUBTRACTOR จะได้ผลลัพธ์ออกมาเป็นสัญญาณ $Y_{m,n}$

การสร้างวงจรรวมสัญญาณเชิงเลขโดยการกระจายทางคณิตศาสตร์นี้ทำให้วงจรรวมสัญญาณประมวลผลสัญญาณด้วยความเร็วสูง อีกทั้งสามารถนำเอาอัลกอริทึมของวงจรรวมแบบต่าง ๆ ทำเป็นฮาร์ดแวร์ การสร้างฮาร์ดแวร์สามารถออกแบบได้สองลักษณะ แบบแรกเป็นการประมวลผลสัญญาณเข้าอนุกรม แบบที่สองประมวลผลสัญญาณเข้าแบบขนาน การกระจายทางคณิตศาสตร์นี้สามารถประยุกต์กับอัลกอริทึม ได้อีกมาก เช่น ฟาสต์ฟูเรียทรานส์ฟอร์ม (Fast Fourier Transform, FFT) ดิสครีทฟูเรียทรานส์ฟอร์ม (Discrete Fourier Transform, DFT) วงจรรวมอันดับสี่หรือสูงกว่านั้น การประมวลผลสัญญาณภาพแบบต่างๆ



รูปที่ 5.2 โครงสร้างตัวกรองสองมิติแบบป้อนกลับโดยวิธีการกระจายทางคณิตศาสตร์[8]

เอกสารนี้เป็นเอกสารที่สงวนไว้สำหรับการใช้งานเพื่อการศึกษาเท่านั้น ไม่อนุญาตให้นำไปใช้ประโยชน์ด้านการค้า ไม่ว่าจะกรณีใดทั้งสิ้น อีกทั้งห้ามมิให้ดัดแปลงเนื้อหา และต้องอ้างอิงถึงเจ้าของเอกสารทุกครั้งที่มีการนำไปใช้

การสร้างวงจรกรองด้วยวิธีการกระจายทางคณิตศาสตร์นี้ หลักสำคัญจะต้องหาค่าสัมประสิทธิ์จากทรานส์เฟอร์ฟังก์ชันให้ได้ก่อนแล้วนำค่าสัมประสิทธิ์นี้ไปเก็บไว้ในหน่วยความจำ แล้วสัญญาณเข้าจะเข้าไปเปิดตารางหน่วยความจำออกมาประมวลผล ดังนั้นการออกแบบวงจรด้วยวิธีนี้สัญญาณออกจะถูกต้องขึ้นอยู่กับค่าสัมประสิทธิ์ และการทำงานของฮาร์ดแวร์เป็นหลัก เกี่ยวกับฮาร์ดแวร์เรื่องการบวกลบโดยคิดเครื่องหมาย อาจจำเป็นจะต้องเพิ่มวงจรการบวกโดยคิดเครื่องหมาย และเปลี่ยนการประมวลผลจาก 8 บิต เป็น 16 บิตเพราะว่า การประมวลผลบางครั้งค่าที่ได้มีค่าเกิน 255 ถึงแม้ว่าข้อมูลจะมีค่าตั้งแต่ 0 - 255 เช่น low-pass filter มีค่าสัมประสิทธิ์ที่ทำให้การประมวลผลได้ค่า output เกิน 255 และต้องนำผลลัพธ์นั้นมาหารด้วย 16 อีกครั้งหนึ่งก่อนที่จะเป็นข้อมูลภาพแต่ละ pixel นั้นกรณีให้ DA ทำงานวิเคราะห์หาขอบภาพ Sobel edge detector จำเป็นต้องมีวงจรเพิ่มเติมอื่นอีกคือ วงจรตั้งค่า threshold , วงจร absolute value ดังนั้นผลการ วิเคราะห์หาขอบรูปภาพที่นำมาแสดงนี้ไม่ได้เป็นผลลัพธ์มาจากการประมวลผลจาก DA อย่างเดียว แต่ถูก นำมาแก้ไขข้อมูลทางซอฟต์แวร์ คือรวม vertical edge กับ horizontal เข้าด้วยกัน เป็นต้น วงจรการกระจายทางคณิตศาสตร์ที่สร้างขึ้น มาควรเป็นระบบที่พัฒนาทำงานกับเครื่องไมโครคอมพิวเตอร์เพื่อความสะดวกในการวิจัยและพัฒนา จากฮาร์ดแวร์ที่สร้างขึ้นเราสามารถ ที่จะพัฒนาวงจรรวมแบบ VLSI (very large scale integration) เพื่อทำให้ขนาดและกินกำลังงานน้อยลง[7] ระบบนี้ยังสามารถนำไปพัฒนากับ algorithm ต่าง ๆ ที่เกี่ยวข้องกับการประมวลสัญญาณเชิงเลขได้ในอนาคต

บทที่ 6

สรุปผลการวิจัยและข้อเสนอแนะ

สรุปผลการวิจัยและข้อเสนอแนะ

การประมวลผลภาพโดยวิธีการกระจายทางคณิตศาสตร์กับตัวกรองแบบต่าง ๆ ในการทดลองนั้น ผลลัพธ์ที่ได้คือ ภาพที่เห็นความคมมากขึ้นสำหรับการกรองความถี่สูงผ่าน ภาพมัว (Blur) เป็นผลมาจากตัวกรองความถี่ต่ำผ่าน ส่วนภาพที่เป็นขอบใช้การหาขอบภาพแบบ Sobel edge detector และ Laplacian ภาพที่กล่าวมาทั้งหมดนี้ผ่านวงจรการกระจายทางคณิตศาสตร์แบบขนานโดยใช้ตัวจัดลำดับข้อมูลภาพที่มีไอซี MC14562 เป็นตัวหน่วงข้อมูล ใช้สัญญาณนาฬิกาจำนวน 65536 ลูก ดังนั้นความเร็วในการประมวลผลต่อ 1 ภาพ จึงขึ้นอยู่กับความเร็วของคอมพิวเตอร์ ถ้าคอมพิวเตอร์ส่งสัญญาณนาฬิกาที่มีความถี่ 1 MHz เวลาที่ใช้ในการประมวลผลใช้เวลาประมาณ 0.07 วินาที แต่การทดลองในงานวิจัยนี้ใช้เครื่องคอมพิวเตอร์รุ่น 486DX2-66 เวลาประมวลผลใช้เวลาประมาณ 6 วินาที เนื่องจากเวลาการทำงานของโปรแกรมส่วนใหญ่ใช้ไปกับการอ่านและเขียนข้อมูลที่ฮาร์ดดิสก์ การประมวลผลรวมจึงใช้เวลามาก ผลลัพธ์ที่ได้จากการประมวลผลโดยวงจรการกระจายทางคณิตศาสตร์ในแต่ละจุดภาพนั้น บางครั้งข้อมูลไม่อยู่ในช่วง 0 ถึง 255 จึงทำให้เกิดการผิดพลาดที่จุดภาพนั้นขึ้นมาได้ อาจจำเป็นจะต้องสร้างวงจรตรวจสอบข้อมูลเพิ่มเข้าไปใช้งานเฉพาะกับการประมวลผลนั้น ๆ

วงจรการกระจายทางคณิตศาสตร์ที่วิจัยขึ้นมาแล้วยังมีขนาดใหญ่โดยผู้พอสมควรจึงใช้กำลังงานมากบางครั้งการประมวลผลภาพอาจจะผิดพลาดอันเนื่องมาจากความร้อน และความถี่ของสัญญาณนาฬิกาสูง ดังนั้นถ้าผู้ศึกษาวิจัยทางด้านนี้ทำการออกแบบในรูปของวงจรมิติขนาดใหญ่ (VLSI)[7] ก็จะทำให้ใช้กำลังงานและมีขนาดน้อยลง

ตารางเปรียบเทียบเวลาประมวลผล

ขั้นตอนประมวลผล	หลักการ	เวลาที่ใช้แต่ละขั้นตอน (วินาที)	
		ซอร์ฟแวร์	Distributed Arithmetics
1. อ่านข้อมูลภาพจากฮาร์ดดิสก์		2	2
2. ประมวลผลข้อมูลภาพ 256x256 จุด		6	1
3. แสดงภาพผลลัพธ์บนมอนิเตอร์		1	1
4. เก็บข้อมูลภาพลงฮาร์ดดิสก์		2	2

หมายเหตุ ทั้งนี้ความเร็วในการประมวลผล ขึ้นอยู่กับเทคนิคของโปรแกรมด้วย

ผลงานวิจัยที่ได้รับการตีพิมพ์

1. สมจินต์ ทองปลิว, กอบชัย เดชหาญ. " การสร้างวงจรรองสัญญาณเชิงเลข 2 มิติโดย Distributed Arithmetics ," วิศวกรรมลาดกระบัง , คณะวิศวกรรมศาสตร์, สถาบันเทคโนโลยีพระจอมเกล้าเจ้าคุณทหารลาดกระบัง, ปีที่ 11 ฉบับที่ 1 (มิถุนายน, 2537), 1-6.
2. K. Dejhan, F. Cheevasuvit, S. Thongplew, S. Orintara and N. Arjith, " A Sobel edge detection digital filter structure and its Distributed arithmetic implementation ," Proc. of The 15th Asian Conference on Remote Sensing, Bangalore, India, November 17-23, 1994.



เอกสารอ้างอิง

- [1] A. Peled and B. Liu, "A new hardware realization of digital filter," IEEE Trans. on A.S.S.P., Vol. ASSP-22, pp. 456-462, December 1974.
- [2] A. Peled and B. Liu, "Digital Signal Processing," John Wiley & Sons, pp. 212-226, 1976.
- [3] S. A. White, "Application of Distributed Arithmetic," IEEE ASSP magazine, Vol. 6, No.3, pp. 4-9, July 1989.
- [4] G. K. Ma, F. J. Taylor, "Multiplier Policies for Digital Signal Processing," IEEE ASSP magazine, Vol. 7, No.1, pp. 6-20, January 1990.
- [5] C. F. N. Cowan, Stewart G. Smith and J. H. Elliott, "A Digital Adaptive Filter Using a Memory Accumulator Architecture," IEEE Trans. on A.S.S.P., Vol. ASSP-31, June 1983.
- [6] C. S. Burrus, "Digital Filter Structure Described by Distributed Arithmetic," IEEE on circuit and systems, Vol. CAS-24, No. 12, December 1977.
- [7] S. Zohar, "A VLSI Implementation of a Digital Filter Based on Distributed Arithmetic," IEEE ASSP, Vol. 37, No. 1, January 1989.
- [8] H. Jaggernauth and A.N. Venetsanopoulos, "Real-Time Image Processing Through Distributed Arithmetic," IEEE Trans. on Circuit and Systems, Vol. 1, pp. 394-397, May 1983.
- [9] P. M. Embree and B. Kimble, "C Language Algorithm for Digital Signal Processing," Prentice Hall, pp. 393-400, 1991.
- [10] J. S. Lim, "Two-Dimensional Signal and Image Processing," Prentice Hall, pp. 476-487, 1990.
- [11] D. F. Elliott, "Handbook of Digital Signal Processing," Academic press, pp. 964-772, 1987.
- [12] K. S. Lin, "Texas Instruments Digital Signal Processing," Prentice Hall, pp. (F)2-(F)9, 1988.
- [13] C. E. Sporck, "National Semiconductor F100K ECL Logic Databook," pp.(3)199 -(3)205, 1990.

หน้าที่ของโปรแกรมที่ใช้ในงานวิจัยการกระจายทางคณิตศาสตร์

โปรแกรมที่ใช้ในงานวิจัยนี้มีทั้งหมด 9 โปรแกรม ใช้ภาษา BASIC 1 โปรแกรม และอีก 8 โปรแกรม ใช้ภาษา C ผู้ทำวิจัยขอสรุปการทำงานและใช้งานทั้ง 9 โปรแกรมดังต่อไปนี้

- 1.CRRROM.BAS
- 2.RAMSHDA.C
- 3.RAMFLLDA.C
- 4.FULLPA2.C
- 5.ED181.C
- 6.TSHOLD.C
- 7.BINDIS.C
- 8.IMGTOBMP.C
- 9.BMPTOIMG.C

1. โปรแกรม CRRROM.BAS

โปรแกรมทำหน้าที่สร้างข้อมูลตามทฤษฎีการกระจายทางคณิตศาสตร์ที่จะเก็บไว้ในรวมโปรแกรมทำงานบนแผงวงจรไมโครคอมพิวเตอร์วงจรวจรเดี่ยว (Single board) รุ่น CP32 ซึ่งติดตั้งวงจรรวมโดยใช้แรม (Ram pack) เพื่อไปใช้ในการทดลอง หรือติดตั้งวงจรร ET-EPP เป็นตัวเขียนข้อมูลลงรวมหรือ Ram pack การทำงานของโปรแกรมจะรับข้อมูลของตัวเลข 9 ค่า ตามชนิดของการรองรับแบบต่าง ๆ ส่วนเอาต์พุตจะถูกส่งไปเขียนใส่รวม

2. โปรแกรม RAMSHBA.C

โปรแกรมใช้กับวงจรการกระจายทางคณิตศาสตร์ที่ใช้ตัวจัดข้อมูลแบบแรมเป็นตัวหน่วยข้อมูลกับวงจรประมวลผลแบบอนุกรม โปรแกรมจะรับชื่อแฟ้มข้อมูลภาพขนาด 256 x 256 แล้วส่งข้อมูลภาพออกไปที่ละจุดพร้อมกับส่งสัญญาณควบคุมให้วงจรจัดลำดับข้อมูลที่ใส่แรมและสัญญาณควบคุมวงจรประมวลผลแบบอนุกรม แล้วรับข้อมูลเอาต์พุตเขียนลงฮาร์ดดิสก์ในชื่อแฟ้มข้อมูลที่กำหนด

3. โปรแกรม RAMFLLDA.C

โปรแกรมใช้กับวงจรการกระจายทางคณิตศาสตร์ที่ใช้ตัวจัดลำดับข้อมูลแบบแรมเป็นตัวหน่วยข้อมูลกับวงจรประมวลผลแบบขนาน โปรแกรมจะรับชื่อแฟ้มข้อมูลภาพขนาด 256 x 256 แล้วส่งข้อมูลภาพออกไปที่ละจุดขณะที่ส่งสัญญาณควบคุมให้กับวงจรจัดลำดับข้อมูลที่ใส่แรม เอาต์พุตที่จะจากการประมวลผลจะถูกเขียนลงฮาร์ดดิสก์ในชื่อแฟ้มข้อมูลที่กำหนด

4. โปรแกรม FULLPA2.C

โปรแกรมใช้กับวงจรการกระจายทางคณิตศาสตร์ที่ใช้ตัวจัดลำดับข้อมูลแบบ MC14562 เป็นตัวหน่วง ข้อมูลกับวงจรประมวลผลแบบขนาน โปรแกรมจะรับชื่อแฟ้มข้อมูลขนาด 256 x 256 แล้วส่งข้อมูลภาพ ออกไปที่ละจุดพร้อมกับส่งสัญญาณนาฬิกาไปเลื่อนข้อมูลจำนวน 1 ลูก เอาที่พู่ที่ได้จากการประมวลผล จะถูกอ่านจากพอร์ท PA2 แล้วเขียนข้อมูลลงฮาร์ดดิสก์ในชื่อแฟ้ม

5. โปรแกรม ED181.C

โปรแกรมใช้งานกับวงจรการกระจายทางคณิตศาสตร์แบบ 1 บิทกับการหาขอบภาพโดย Laplacian filter โดยเฉพาะ โปรแกรมจะรับชื่อแฟ้มข้อมูลภาพไบนารีขนาด 256 x 256 แล้วส่งข้อมูลภาพออกไปที่ละจุด พร้อมกับส่งสัญญาณนาฬิกาไปเลื่อนข้อมูล การทำงานเหมือนกับโปรแกรม FULLPA2.C จะแตกต่างกันตรงที่การใช้พอร์ทของ 8255

6. โปรแกรม TSHOLD.C

ทำภาพระดับสีเทา 256 ระดับ ไปเป็นภาพสองระดับ (Binary image) โปรแกรมจะรับชื่อแฟ้มข้อมูลที่จะทำการแปลงและค่าตัวเลขที่จะกำหนดให้เป็นจุดตัดระดับ (Threshold value) ข้อมูลภาพใหม่จะถูกเก็บไว้ในแฟ้มข้อมูลที่กำหนดมีค่า 0 กับ 1 เท่านั้น

7. โปรแกรม IMGTOBMP.C

โปรแกรมทำหน้าที่แปลงข้อมูลภาพในลักษณะของข้อมูลปกติให้อยู่ในโครงสร้างของแฟ้มข้อมูลแบบบิตแมป (Bit map) ซึ่งมีประโยชน์ในเรื่องของสามารถนำไปแสดงผลในโปรแกรมกราฟฟิคอื่น ๆ ได้

8. โปรแกรม BMPTOIMG.C

แปลงโครงสร้างแฟ้มข้อมูลที่ทำหน้าที่ตรงข้ามกับโปรแกรม IMGTOBMP.C

CRROM.BAS

```

10 REM CRROM.BAS create data for ROM
20 CLEAR
40 INPUT "Filename data to ROM : ",FIL$
45 OPEN FIL$ FOR OUTPUT AS #1
110 INPUT "Data for position X1 : ", A
120 INPUT "Data for position X2 : ", B
130 INPUT "Data for position X3 : ", C
140 INPUT "Data for position X4 : ", D
150 INPUT "Data for position X5 : ", E
160 INPUT "Data for position X6 : ", F
170 INPUT "Data for position X7 : ", G
180 INPUT "Data for position X8 : ", H
190 INPUT "Data for position X9 : ", I
210 FOR R = 0 TO 1
220 FOR S = 0 TO 1
230 FOR T = 0 TO 1
240 FOR U = 0 TO 1
250 FOR V = 0 TO 1
260 FOR W = 0 TO 1
270 FOR X = 0 TO 1
280 FOR Y = 0 TO 1
290 FOR Z = 0 TO 1
300 Y1 = (A*R) + (B*S) + (C*T)
310 Y2 = (D*U) + (E*V) + (F*W)
320 Y3 = (G*X) + (H*Y) + (I*Z)
330 YT = Y1 + Y2 + Y3
335 GOSUB 700
360 PRINT#1, CHR$(YT);
410 NEXT R
420 NEXT S
430 NEXT T
440 NEXT U
450 NEXT V
460 NEXT W
470 NEXT X
480 NEXT Y
490 NEXT Z
500 CLOSE#1
600 END
700 REM sub 2'complement
705 IF YT > -1 THEN RETURN
710 YT = 256 + YT
750 RETURN
800 END

```

เอกสารนี้เป็นเอกสารที่สงวนไว้สำหรับการใช้งานเพื่อการศึกษาเท่านั้น ไม่อนุญาตให้นำไปใช้ประโยชน์ด้านการค้า
ไม่ว่ากรณีใดๆทั้งสิ้น อีกทั้งห้ามมิให้ดัดแปลงเนื้อหา และต้องอ้างอิงถึงเจ้าของเอกสารทุกครั้งที่มีการนำไปใช้

RAMSHDA.C

```

#include <stdio.h>
#include <conio.h>
#include <string.h>
#include <ctype.h>

int PA1=0x0300,PB1=0x0301,PC1=0x0302,PCONT_1=0x0303;
int PA2=0x0304,PB2=0x0305,PC2=0x0306,PCONT_2=0x0307;

void initport() {
    outportb(PCONT_1,0x82);
    outportb(PCONT_2,0x92);
    outportb(PB1,0x0ff);
    outportb(PA2,0x0ff);
}
/*
*/
infile(argc,argv)
int argc;
char *argv[];
{
    FILE *fopen(),*fp_in,*fp_out;
    char fn_in[12],fn_out[12],*s;
    unsigned char input_line[256];
    register row,column,i;
    int scale;

    if(argc != 3)
    {
        printf("\nEnter name of input file: ");
        scanf("%s",fn_in);
        printf("Enter name of output file: ");
        scanf("%s",fn_out);
        printf("\nScale Down input = ");
        scanf("%d",&scale);
    }
    else
    {
        strcpy(fn_out, argv[2]);
        strcpy(fn_in, argv[1]);
    }
    fp_out = fopen(fn_out,"w+b");
    fp_in = fopen(fn_in,"rb");

    if(fp_in == NULL)
    {
        printf("No input file %s\n",fn_in);
        exit(1);
    }
    printf("\n\n\n.....Please wait !.....");

    /* Read free(not write to disk) 1 pixel */
    fread(&input_line[0],sizeof(input_line[0]),1,fp_in);
    outportb(PA1,input_line[0]/scale);
}

```

เอกสารนี้เป็นเอกสารที่สงวนไว้สำหรับการใช้งานเพื่อการศึกษาเท่านั้น ไม่อนุญาตให้นำไปใช้ประโยชน์ด้านการค้า

ไม่ว่ากรณีใดๆทั้งสิ้น อีกทั้งห้ามมิให้ดัดแปลงเนื้อหา และต้องอ้างอิงถึงเจ้าของเอกสารทุกครั้งที่มีการนำไปใช้

```

clockshift();

/* Read free (not write to disk) 256 pixel */
fread(&input_line[0],sizeof(input_line[0]),256,fp_in);
for (i=0;i<256;i++)
{
    outportb(PA1,input_line[i]/scale);
    clockshift();
}

/* DA process */
for (row=0;row<256;row++)
{
    fread(&input_line[0],sizeof(input_line[0]),256,fp_in);
    for(column=0;column<256;column++)
    {
        outportb(PA1,input_line[column]/scale);
        clockshift();
        clocksimage();
        input_line[column] = inportb(PB1);
    }
    fwrite(&input_line[0],sizeof(input_line[0]),256,fp_out);
}

printf("\nFile %s filtering \n",fn_in);
printf("Output in file: %s\n",fn_out);
fclose(fp_in);
fclose(fp_out);
exit(1);
}

clockshift()
{
    outportb(PC1,0x0f0);
    outportb(PC1,0x0f1);
    outportb(PC1,0x0f0);
    outportb(PC1,0x0f8);
    outportb(PC1,0x0d8);
    outportb(PC1,0x0c8);
    outportb(PC1,0x0d8);
    outportb(PC1,0x0f8);
    outportb(PC1,0x0f0);
    outportb(PC1,0x0f4);
    outportb(PC1,0x0f0);
}
/*_____*/

clocksimage()
{
    outportb(PC2,0x0d2);
    outportb(PC2,0x012);
    outportb(PC2,0x0d2);
    outportb(PC2,0x0c2);
    outportb(PC2,0x0c6);
    outportb(PC2,0x0da);
    outportb(PC2,0x0f2);
    outportb(PC2,0x0d6);
    outportb(PC2,0x0da);
}

```

```

outputb(PC2,0x0f2);
outputb(PC2,0x0d6);
outputb(PC2,0x0da);
outputb(PC2,0x0f2);
outputb(PC2,0x0d6);
outputb(PC2,0x0da);
outputb(PC2,0x0f2);
outputb(PC2,0x0d6);
outputb(PC2,0x0da);
outputb(PC2,0x0f2);
outputb(PC2,0x0d6);
outputb(PC2,0x0da);
outputb(PC2,0x0f2);
outputb(PC2,0x0d6);
outputb(PC2,0x0da);
outputb(PC2,0x0f2);
outputb(PC2,0x0d6);
outputb(PC2,0x0da);
outputb(PC2,0x0f2);
}
/*-----*/
clearbuf()
{
int c,zero=0;
printf("Clear buffer shift_DA ");
for (c=0;c<521;c++){
outputb(PA1,zero);
clockshift();
}
printf("\n");
}
/*-----*/
main()
{
clrscr();
initport();
clearbuf();
infile();
getche();
}
/*-----*/

```

RAMFLLDA.C

```

#include <stdio.h>
#include <conio.h>
#include <string.h>
#include <ctype.h>
int PA1=0x0300,PB1=0x0301,PC1=0x0302,PCONT_1=0x0303;
int PA2=0x0304,PB2=0x0305,PC2=0x0306,PCONT_2=0x0307;
void initport()
{
    outportb(PCONT_1,0x82);
    outportb(PCONT_2,0x92);
    outportb(PB1,0x0ff);
    outportb(PA2,0x0ff);
}
/*-----*/
infile(argc,argv)
int argc;
char *argv[]; {
    FILE *fopen(),*fp_in,*fp_out;
    char fn_in[12],fn_out[12],*s;
    unsigned char input_line[256];
    register row,column,i;
    int scale;
    if(argc != 3)
    {
        printf("\nEnter name of input file: ");
        scanf("%s",fn_in);
        printf("Enter name of output file: ");
        scanf("%s",fn_out);
        printf("\nScale Down input = ");
        scanf("%d",&scale);
    }
    else
    {
        strcpy(fn_out, argv[2]);
        strcpy(fn_in, argv[1]);
    }
    fp_out = fopen(fn_out,"w+b");
    fp_in = fopen(fn_in,"rb");

    if(fp_in == NULL)
    {
        printf("No input file %s\n",fn_in);
        exit(1);
    }
    printf("\n\n\n.....Please wait !.....");

    /* Read free(not write to disk) 1 pixel */
    fread(&input_line[0],sizeof(input_line[0]),1,fp_in);
    outportb(PA1,input_line[0]/scale);
    clockshift();
    /* Read free (not write to disk) 256 pixel */
    fread(&input_line[0],sizeof(input_line[0]),256,fp_in);
    for (i=0;i<256;i++)
    {

```

```

/* DA process */
for (row=0;row<256;row++)
{
    fread(&input_line[0],sizeof(input_line[0]),256,fp_in);
    for(column=0;column<256;column++)
    {
        outportb(PA1,input_line[column]/scale);
        clockshift();
        input_line[column] = inportb(PB1);
    }
    fwrite(&input_line[0],sizeof(input_line[0]),256,fp_out);
}
printf("\nFile %s filtering \n",fn_in);
printf("Output in file: %s\n",fn_out);
fclose(fp_in);
fclose(fp_out);
exit(1);
}

clockshift()
{
    outportb(PC1,0x0f0);
    outportb(PC1,0x0f1);
    outportb(PC1,0x0f0);
    outportb(PC1,0x0f8);
    outportb(PC1,0x0d8);
    outportb(PC1,0x0c8);
    outportb(PC1,0x0d8);
    outportb(PC1,0x0f8);
    outportb(PC1,0x0f0);
    outportb(PC1,0x0f4);
    outportb(PC1,0x0f0);
}
/*-----*/
clearbuf()
{
    int c,zero=0;
    printf("Clear buffer shift_DA ");
    for (c=0;c<521;c++){
        outportb(PA1,zero);
        clockshift();
    }
    printf("\n");
}
/*-----*/
main()
{
    clrscr();
    initport();
    clearbuf();
    infile();
    getche();
}
/*-----*/

```

เอกสารนี้เป็นเอกสารที่สงวนไว้สำหรับการใช้งานเพื่อการศึกษาเท่านั้น ไม่อนุญาตให้นำไปใช้ประโยชน์ด้านการค้า
ไม่ว่ากรณีใดทั้งสิ้น อีกทั้งห้ามมิให้ดัดแปลงเนื้อหา และต้องอ้างอิงถึงเจ้าของเอกสารทุกครั้งที่มีการนำไปใช้

FULLPA2.C

```

/* fullpa2.c send data out to PA2 */
#include <stdio.h>
#include <conio.h>
#include <string.h>
#include <ctype.h>

int PA1=0x0300,PB1=0x0301,PC1=0x0302,PCONT_1=0x0303;
int PA2=0x0304,PB2=0x0305,PC2=0x0306,PCONT_2=0x0307;

void initport()
{
    outportb(PCONT_1,0x82);
    outportb(PCONT_2,0x92);
    outportb(PB1,0x0ff);
    outportb(PA2,0x0ff);
}
/*-----*/
infile(argc,argv)
int argc;
char *argv[];
{
    FILE *fopen(),*fp_in,*fp_out;
    char fn_in[12],fn_out[12],*s;
    unsigned char input_line[256];
    register row,column,i;
    int scale;

    if(argc != 3)
    {
        printf("\nEnter name of input file: ");
        scanf("%s",fn_in);
        printf("Enter name of output file: ");
        scanf("%s",fn_out);
        printf("\nScale Down input = ");
        scanf("%d",&scale);
    }
    else
    {
        strcpy(fn_out, argv[2]);
        strcpy(fn_in, argv[1]);
    }
    fp_out = fopen(fn_out,"w+b");
    fp_in = fopen(fn_in,"rb");

    if(fp_in == NULL)
    {
        printf("No input file %s\n",fn_in);
        exit(1);
    }
    printf("\n\n\n.....Please wait !.....");

```

```

/* Read free(not write to disk) 1 pixel */

```

เอกสารนี้อาจมีข้อผิดพลาด กรุณาแจ้งให้เราทราบโดยทันที

ไม่ว่ากรณีใดก็ตาม กรุณาแจ้งให้เราทราบโดยทันที

```

outportb(PA1,input_line[0]/scale);
clockshift();

/* Read free (not write to disk) 256 pixel */
fread(&input_line[0],sizeof(input_line[0]),256,fp_in);
for (i=0;i<256;i++)
{
outportb(PA1,input_line[i]/scale);
clockshift();
}

/* DA process */
for (row=0;row<256;row++)
{
fread(&input_line[0],sizeof(input_line[0]),256,fp_in);
for (column=0;column<256;column++)
{
outportb(PA1,input_line[column]/scale);
clockshift();
input_line[column] = inportb(PA2);
}
fwrite(&input_line[0],sizeof(input_line[0]),256,fp_out);
}

printf("\nFile %s filtering \n",fn_in);
printf("Output in file: %s\n",fn_out);
fclose(fp_in);
fclose(fp_out);
exit(1);
}

clockshift()
{
outportb(PC1,0x000);
outportb(PC1,0x0ff);
outportb(PC1,0x000);
}
/*-----*/
clearbuf()
{
int c,zero=0;
printf("Clear buffer shift_DA ");
for (c=0;c<521;c++){
outportb(PA1,zero);
clockshift();
}
printf("\n");
}
/*-----*/
main()
{
clrscr();
initport();
clearbuf();
infile();
getche();
}

```

ED181.C

```

/* ed181.c send data output to PA2 */

#include <stdio.h>
#include <conio.h>
#include <string.h>
#include <ctype.h>

int PA2=0x0304,PB2=0x0305,PC2=0x0306,PCONT_2=0x0307;

void initport()
{
    outportb(PCONT_2,0x082);
    /* outportb(PB2,0x0ff); */
}
/*_____*/
infile(argc,argv)
int argc;
char *argv[];
{
    FILE *fopen(),*fp_in,*fp_out;
    char fn_in[12],fn_out[12],*s;
    unsigned char input_line[256];
    register row,column,i;
    int scale;

    if(argc != 3)
    {
        printf("\n\n** Laplacian Edge Detector (-1,8-1) **");
        printf("\n\nEnter name of input file: ");
        scanf("%s",fn_in);
        printf("Enter name of output file: ");
        scanf("%s",fn_out);
        printf("\nScale Down input = ");
        scanf("%d",&scale);
    }
    else
    {
        strcpy(fn_out, argv[2]);
        strcpy(fn_in, argv[1]);
    }
    fp_out = fopen(fn_out,"w+b");
    fp_in = fopen(fn_in,"rb");

    if(fp_in == NULL)
    {
        printf("No input file %s\n",fn_in);
        exit(1);
    }
    printf("\n\n\n.....Please wait !.....");

    /* Read free(not write to disk) 1 pixel */
    fread(&input_line[0],sizeof(input_line[0]),1,fp_in);
    outportb(PA2,input_line[0]/scale);
    clockshift();
}

```

```

/* Read free (not write to disk) 256 pixel */
fread(&input_line[0],sizeof(input_line[0]),256,fp_in);
for (i=0;i<256;i++)
{
    outportb(PA2,input_line[i]/scale);
    clockshift();
}

/* DA process */
for (row=0;row<256;row++)
{
    fread(&input_line[0],sizeof(input_line[0]),256,fp_in);
    for(column=0;column<256;column++)
    {
        outportb(PA2,input_line[column]/scale);
        clockshift();
        input_line[column] = inportb(PB2);
    }
    fwrite(&input_line[0],sizeof(input_line[0]),256,fp_out);
}

printf("\nFile %s filtering \n",fn_in);
printf("Output in file: %s\n",fn_out);
fclose(fp_in);
fclose(fp_out);
exit(1);
}

clockshift()
{
    outportb(PC2,0x000);
    outportb(PC2,0x0ff);
    outportb(PC2,0x000);
}
/*-----*/
clearbuf()
{
    int c,zero=0;
    printf("Clear buffer shift_DA ");
    for (c=0;c<521;c++){
        outportb(PA2,zero);
        clockshift();
    }
    printf("\n");
}
/*-----*/

main()
{
    clrscr();
    initport();
    clearbuf();
    infile();
    getche();
}
/*-----*/

```

เอกสารนี้เป็นเอกสารที่สงวนไว้สำหรับการใช้งานเพื่อการศึกษาเท่านั้น ไม่อนุญาตให้นำไปใช้ประโยชน์ด้านการค้า
ไม่ว่ากรณีใดๆทั้งสิ้น อีกทั้งห้ามมิให้ดัดแปลงเนื้อหา และต้องอ้างอิงถึงเจ้าของเอกสารทุกครั้งที่มีการนำไปใช้

TSHOLD.C

```

#include <stdio.h>
#include <conio.h>
#include <string.h>
#include <graphics.h>
FILE *input_prt1,*input_prt2;
unsigned char input_line1[256];
void display(int row,int z,int threshold)
{
    register column;
    int color;
    for (column=0;column<256;column++)
        if(input_line1[column] > threshold )
            input_line1[column] = 1;
        putpixel(column+z,row+1,7);
    else
        input_line1[column] = 0;
        putpixel(column+z,row+1,0);
    fwrite((char *)input_line1,sizeof(char),256,input_prt2);
};
main()
{
    int graphdriver = DETECT,graphmode;
    register row,column;
    char filename1[15],filename2[15];
    int threshold;
    clrscr();
    printf("Enter INPUT FILE 2 GRAY >: ");
    gets(filename1);
    printf("Enter OUTPUT FILE 0-1 BINARY >: ");
    gets(filename2);
    printf("\n\nEnter Threshold = ");
    scanf("%d",&threshold);

    initgraph(&graphdriver,&graphmode,"");
    rectangle(29,80,286,337);
    /* Open Input File */
    input_prt1 = fopen(filename1,"rb");
    input_prt2= fopen(filename2,"w+b");
    if( input_prt1 == (FILE *)NULL)
    {
        printf("Cannot open %s\n",filename1);
        exit(1);
    }
    /* Read lines from input file */
    for (row=0;row<256;row++)
    {
        fread((char *)input_line1,sizeof(char),256,input_prt1);
        display(row+80,30,threshold);
    };
    getch();
    close(input_prt1);
    close(input_prt2);
    closegraph();
}

```

IMGTOBMP.C

```

/*
PROGRAM ->CHANGE IMAGE TO BMP FILE...
START WRITTEN->7 JUNE 1993...
LAST UPDATE ->8 JUNE 1993...
INSTITUTE ->KMIT'L...
COMMENT ->...have output (*.bmp) that add to original file...
*/

```

```

#include <stdio.h>
#include <dos.h>
#include <string.h>
#include <conio.h>
#include <stdlib.h>

```

```
#define pixel2bytes(n) ((n+7)/8)
```

```
int XPIX,YPIX;
int t_width, t_height;
```

```

typedef struct {
    char id[2];
    long filesize;
    int reserved[2];
    long headersize;
    long infoSize;
    long width;
    long depth;
    int biPlanes;
    int bits;
    long biCompression;
    long biSizeImage;
    long biXPelsPerMeter;
    long biYPelsPerMeter;
    long biClrUsed;
    long biClrImportant;
}BMPHEAD;

```

```

main()
{
    int x,y,bytes;
    char *n;
    FILE *infile, *outfile; static char name[80];
    static unsigned char image[1024];
    BMPHEAD bmp;

```

```
clrscr();
```

```

printf("\nCONVERT...IMAGE TO BMP...VERSION 2.0 (structure HEAD)");
printf("\nBY..ARMOTE SOMBOONKAEW...");

```

```

printf("\nxpix -> ");scanf("%d",&XPIX);
printf("\nypix -> "); scanf("%d",&YPIX);
/*for THE odd XPIX*/
bytes=XPIX;
if(bytes & 0x0003) {
bytes |= 0x0003;
++bytes;
}

```

```
memset((char *)&bmp,0,(long)sizeof(BMPHEAD));
memcpy(bmp.id,"BM",2);
```

```
bmp.headersize=1078L;
```

```
bmp.width=(long)XPIX;
bmp.depth=(long)YPIX;
bmp.filesize=bmp.headersize+(long)bytes*(long)bmp.depth;
bmp.infoSize=0x28L;
bmp.bits=8;
bmp.biPlanes=1;
bmp.biCompression=0L;
bmp.biSizeImage=bmp.filesize-bmp.headersize;
bmp.biXPelsPerMeter=0L;
bmp.biYPelsPerMeter=0L;
bmp.biClrUsed=0L;
bmp.biClrImportant=0L;
```

```
printf("\nHeader Complete!");
```

```
do {
```

```
    textcolor(LIGHTGREEN);
    cprintf("\n\rInput from -> "); scanf("%s",&name);
    printf("Output to -> (*.bmp)...");
    printf("\nReading IMG file [%s]",name);
    infile = fopen(name,"rb");
    n=strchr(name,'.'); if(n) strcpy(n,".bmp"); else strcat(name,".bmp");
    printf("\nSaving BMP file [%s]\n",name);
    outfile = fopen(name,"wb");
    if((infile&&outfile) == NULL) {
        printf(" Open file error..\n");
        exit(1);
    }
```

```
    /*write HEADER*/
```

```
    if(fwrite((char *)&bmp,1,(long)sizeof(BMPHEAD),outfile) !=
sizeof(BMPHEAD)) {
        printf("fwrite HEADER error");
        exit(1);
    }
```

```
    /*write PALETTE*/
```

```
    for(x=0;x<256;++x){
        fputc(x,outfile);/*B*/
        fputc(x,outfile);/*G*/
        fputc(x,outfile);/*R*/
        fputc(0,outfile);
    }
```

```
    /*write IMAGE*/
```

```
    memset((unsigned char *)&image,0,bytes);
    for(y=0;y<bmp.depth;++y){
        printf("p");
        fread(image,1,XPIX,infile);
        fwrite(image,1,bytes,outfile);
    }
    printf("\nCclosing both file");
    fclose(infile);
    fclose(outfile);
```

```
    while(1);
```

เอกสารนี้เป็นเอกสารที่สงวนไว้สำหรับการใช้งานเพื่อการศึกษาเท่านั้น ไม่อนุญาตให้นำไปใช้ประโยชน์ด้านการค้า
ไม่ว่ากรณีใดๆทั้งสิ้น อีกทั้งห้ามมิให้ตัดแปลงเนื้อหา และต้องอ้างอิงถึงเจ้าของเอกสารทุกครั้งที่มีการนำไปใช้

BMPTOIMG.C

```

/*-----
PROGRAM ->CHANGE BMP TO IMGAGE FILE...
START WRITTEN->7 JUNE 1993...
LAST UPDATE->8 JUNE 1993...
INSTITUTE->KMIT'L...
COMMENT->...have output (*.img) that add to original file...
*/

#include <stdio.h>
#include <dos.h>
#include <string.h>
#include <conio.h>
#include <stdlib.h>

#define pixel2bytes(n) .((n+7)/8)

int XPIX,YPIX;
int t_width, t_height;

typedef struct {
    char id[2];
    long filesize;
    int reserved[2];
    long headersize;
    long infoSize;
    long width;
    long depth;
    int biPlanes;
    int bits;
    long biCompression;
    long biSizeImage;
    long biXPelsPerMeter;
    long biYPelsPerMeter;
    long biClrUsed;
    long biClrImportant;
}BMPHEAD;

main()
{
    int x,y,bytes;
    char *n;
    FILE *infile, *outfile;
    static char name[80];
    static unsigned char image[1024]; BMPHEAD bmp;

    clrscr();

    printf("\nCONVERT...BMP TO IMAGE...VERSION 2.0 (structure HEAD)");
    printf("\nBY..ARMOTE SOMBOONKAEW...");

    do {
        printf("\n\n");
        textcolor(LIGHTGREEN);
        cprintf("Input from -> "); scanf("%s",&name);
        printf("Output to -> (*.img)...");
    }

```

เอกสารนี้เป็นเอกสารที่สงวนไว้สำหรับการใช้งานเพื่อการศึกษาเท่านั้น ไม่อนุญาตให้นำไปใช้ประโยชน์ด้านการค้า
ไม่ว่ากรณีใดทั้งสิ้น อีกทั้งห้ามมิให้ดัดแปลงเนื้อหา และต้องอ้างอิงถึงเจ้าของเอกสารทุกครั้งที่มีการนำไปใช้

```

printf("\nReading BMP file [%s]",name);

infile = fopen(name,"rb");
n=strchr(name,'.'); if(n) strcpy(n,".img"); else strcat(name,".img");

printf("\nSaving IMG file [%s]",name);
outfile = fopen(name,"wb");
if((infile&&outfile) == NULL) {
printf(" Open file error..\n");
exit(1);
}

/*read HEADER*/
memset((char *)&bmp,0,(long)sizeof(BMPHEAD));
if(fread((char *)&bmp,1,(long)sizeof(BMPHEAD),infile) !=
sizeof(BMPHEAD)) {
printf("fread HEADER error");
exit(1);
}

printf("\nRead Header Complete!
(xsize=%ld,ysize=%ld)\n",bmp.width,bmp.depth);

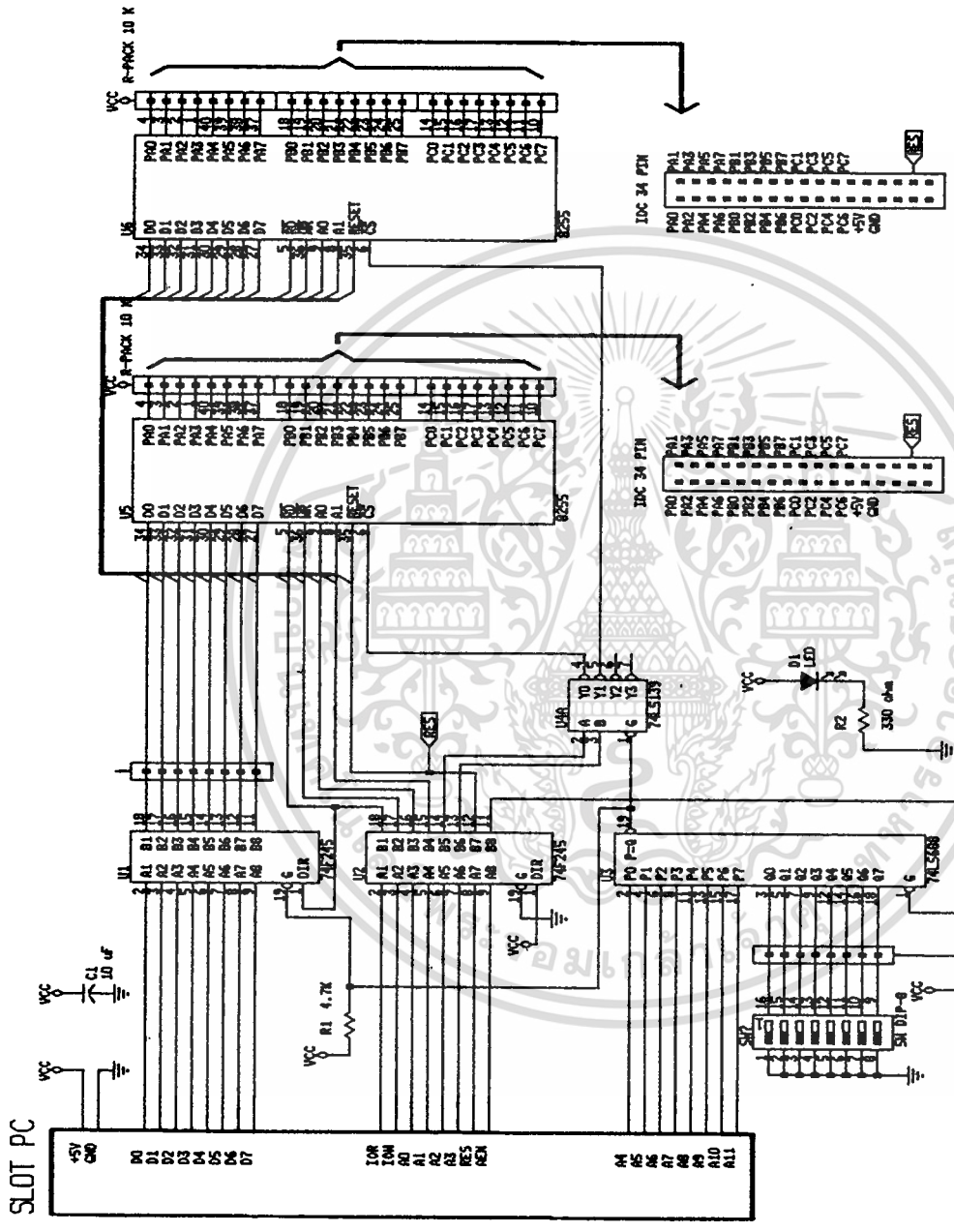
/*for THE odd XPIX*/
XPIX=bytes=bmp.width;
if(bytes & 0x0003) {
bytes |= 0x0003;
++bytes;
}

/*write IMAGE*/
fseek(infile,bmp.headersize,SEEK_SET);
memset((unsigned char *)&image,0,bytes);
for(y=0;y<bmp.depth;++y){
printf("b");
fread(image,1,bytes,infile);
fwrite(image,1,XPIX,outfile);
}
printf("\nClosing both file");
fclose(infile);
fclose(outfile);
}while(1);
}

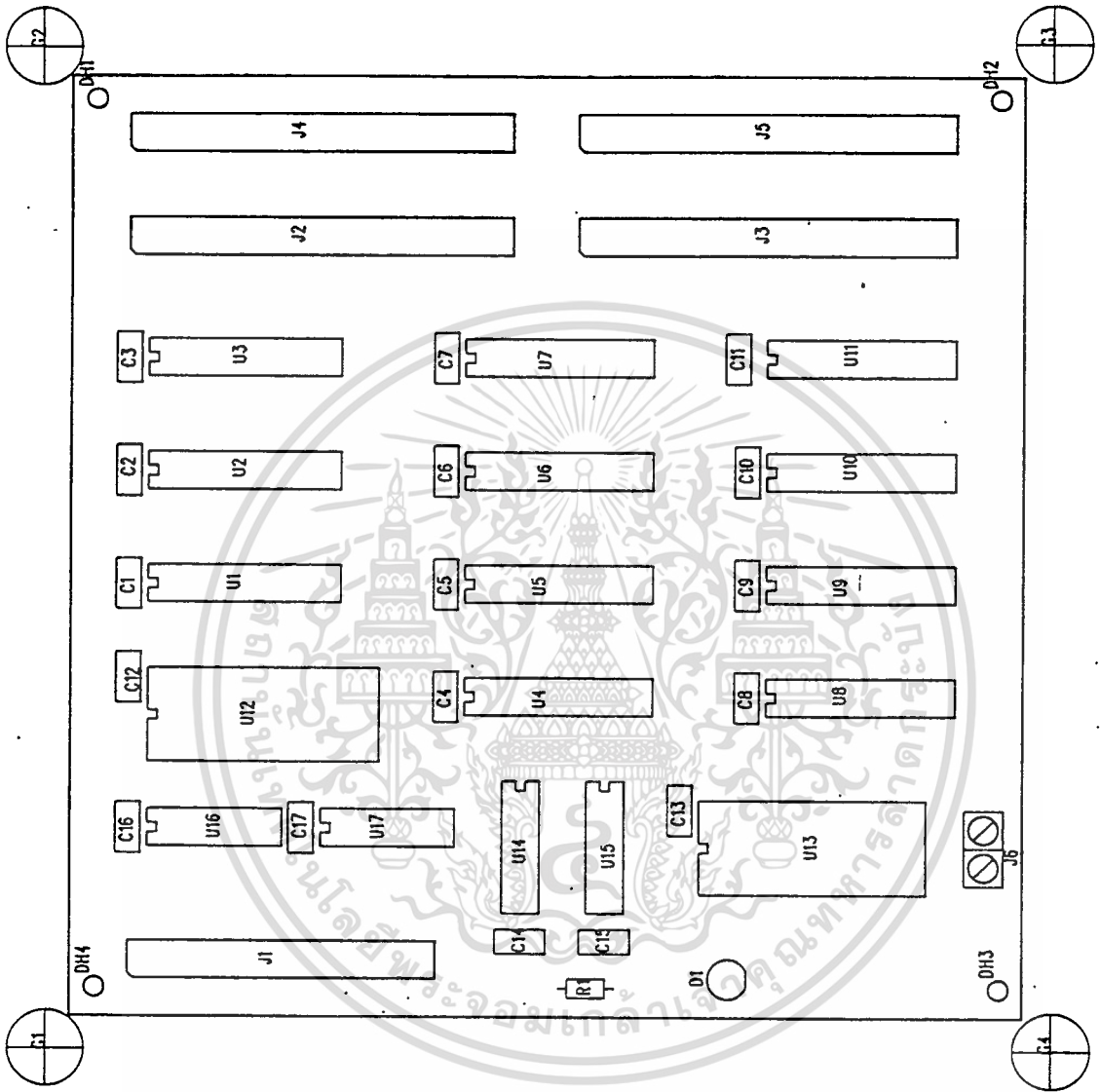
```

วงจรที่ใช้ในการทดลอง

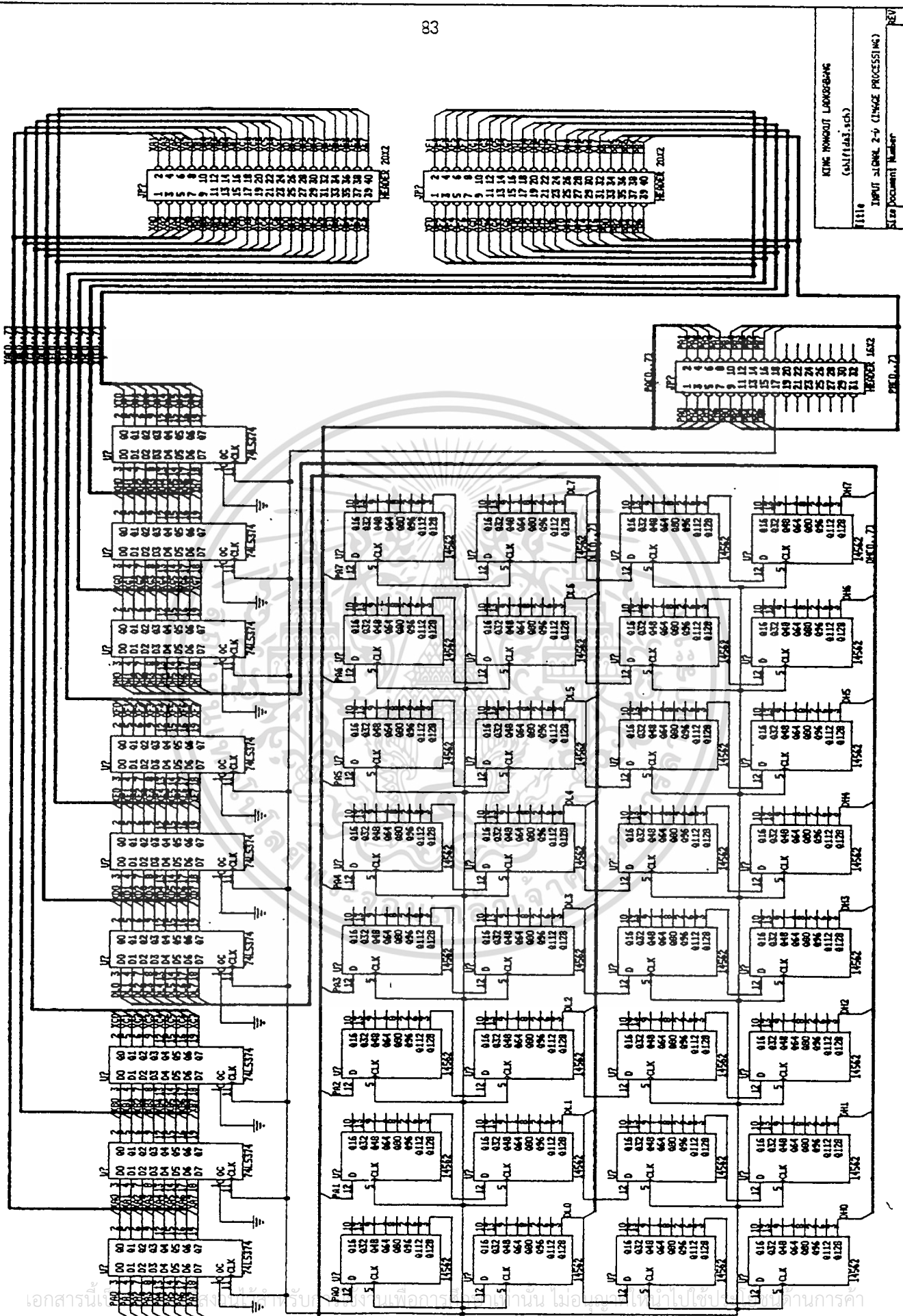
1. วงจรเชื่อมต่อกับคอมพิวเตอร์ (8255 INTERFACE CARD)
2. วงจรจัดลำดับสัญญาณ 2 มิติโดยใช้แรมเป็นตัวหน่วยข้อมูล
 - ลายแผ่นวงจรพิมพ์ด้านล่างและด้านอุปกรณ์
 - ตำแหน่งการวางอุปกรณ์
3. วงจรจัดลำดับสัญญาณ 2 มิติโดยใช้ตัวเลื่อนข้อมูลเป็นตัวหน่วยข้อมูล
 - ลายแผ่นวงจรพิมพ์ด้านอุปกรณ์
 - ลายแผ่นวงจรพิมพ์ด้านล่าง
 - ตำแหน่งการวางอุปกรณ์
4. วงจรการกระจายทางคณิตศาสตร์แบบอนุกรม (1BAAT : 1 Bit At A Time)
 - ลายแผ่นวงจรพิมพ์ด้านล่างและด้านอุปกรณ์
 - ตำแหน่งการวางอุปกรณ์
5. วงจรการกระจายทางคณิตศาสตร์แบบขนาน (DA Full Parallel)
 - ลายแผ่นวงจรพิมพ์ด้านอุปกรณ์และด้านล่าง
 - ตำแหน่งการวางอุปกรณ์
6. วงจรการกระจายทางคณิตศาสตร์ขนาด 1 บิต (Laplacian Filtering)



เอกสารนี้เป็นเอกสารที่สงวนไว้สำหรับการใช้งานเพื่อการศึกษาเท่านั้น ไม่อนุญาตให้นำไปใช้ประโยชน์ด้านการค้า
 ไม่ว่ากรณีใดๆทั้งสิ้น อีกทั้งห้ามมิให้ดัดแปลงเนื้อหา และต้องอ้างอิงถึงเจ้าของเอกสารทุกครั้งที่มีการนำไปใช้



เอกสารนี้เป็นเอกสารที่สงวนไว้สำหรับการใช้งานเพื่อการศึกษาเท่านั้น ไม่อนุญาตให้นำไปใช้ประโยชน์ด้านการค้า
ไม่ว่ากรณีใดๆทั้งสิ้น อีกทั้งห้ามมิให้ดัดแปลงเนื้อหา และต้องอ้างอิงถึงเจ้าของเอกสารทุกครั้งที่มีการนำไปใช้



REV 1

1

2

3

4

5

6

7

8

9

10

11

12

13

14

15

16

17

18

19

20

21

22

23

24

25

26

27

28

29

30

31

32

33

34

35

36

37

38

39

40

41

42

43

44

45

46

47

48

49

50

51

52

53

54

55

56

57

58

59

60

61

62

63

64

65

66

67

68

69

70

71

72

73

74

75

76

77

78

79

80

81

82

83

84

85

86

87

88

89

90

91

92

93

94

95

96

97

98

99

100

101

102

103

104

105

106

107

108

109

110

111

112

113

114

115

116

117

118

119

120

121

122

123

124

125

126

127

128

129

130

131

132

133

134

135

136

137

138

139

140

141

142

143

144

145

146

147

148

149

150

151

152

153

154

155

156

157

158

159

160

161

162

163

164

165

166

167

168

169

170

171

172

173

174

175

176

177

178

179

180

181

182

183

184

185

186

187

188

189

190

191

192

193

194

195

196

197

198

199

200

201

202

203

204

205

206

207

208

209

210

211

212

213

214

215

216

217

218

219

220

221

222

223

224

225

226

227

228

229

230

231

232

233

234

235

236

237

238

239

240

241

242

243

244

245

246

247

248

249

250

251

252

253

254

255

256

257

258

259

260

261

262

263

264

265

266

267

268

269

270

271

272

273

274

275

276

277

278

279

280

281

282

283

284

285

286

287

288

289

290

291

292

293

294

295

296

297

298

299

300

301

302

303

304

305

306

307

308

309

310

311

312

313

314

315

316

317

318

319

320

321

322

323

324

325

326

327

328

329

330

331

332

333

334

335

336

337

338

339

340

341

342

343

344

345

346

347

348

349

350

351

352

353

354

355

356

357

358

359

360

361

362

363

364

365

366

367

368

369

370

371

372

373

374

375

376

377

378

379

380

381

382

383

384

385

386

387

388

389

390

391

392

393

394

395

396

397

398

399

400

401

402

403

404

405

406

407

408

409

410

411

412

413

414

415

416

417

418

419

420

421

422

423

424

425

426

427

428

429

430

431

432

433

434

435

436

437

438

439

440

441

442

443

444

445

446

447

448

449

450

451

452

453

454

455

456

457

458

459

460

461

462

463

464

465

466

467

468

469

470

471

472

473

474

475

476

477

478

479

480

481

482

483

484

485

486

487

488

489

490

491

492

493

494

495

496

497

498

499

500

501

502

503

504

505

506

507

508

509

510

511

512

513

514

515

516

517

518

519

520

521

522

523

524

525

526

527

528

529

530

531

532

533

534

535

536

537

538

539

540

541

542

543

544

545

546

547

548

549

550

551

552

553

554

555

556

557

558

559

560

561

562

563

564

565

566

567

568

569

570

571

572

573

574

575

576

577

578

579

580

581

582

583

584

585

586

587

588

589

590

591

592

593

594

595

596

597

598

599

600

601

602

603

604

605

606

607

608

609

610

611

612

613

614

615

616

617

618

619

620

621

622

623

624

625

626

627

628

629

630

631

632

633

634

635

636

637

638

639

640

641

642

643

644

645

646

647

648

649

650

651

652

653

654

655

656

657

658

659

660

661

662

663

664

665

666

667

668

669

670

671

672

673

674

675

676

677

678

679

680

681

682

683

684

685

686

687

688

689

690

691

692

693

694

695

696

697

698

699

700

701

702

703

704

705

706

707

708

709

710

711

712

713

714

715

716

717

718

719

720

721

722

723

724

725

726

727

728

729

730

731

732

733

734

735

736

737

738

739

740

741

742

743

744

745

746

747

748

749

750

751

752

753

754

755

756

757

758

759

760

761

762

763

764

765

766

767

768

769

770

771

772

773

774

775

776

777

778

779

780

781

782

783

784

785

786

787

788

789

790

791

792

793

794

795

796

797

798

799

800

801

802

803

804

805

806

807

808

809

810

811

812

813

814

815

816

817

818

819

820

821

822

823

824

825

826

827

828

829

830

831

832

833

834

835

836

837

838

839

840

841

842

843

844

845

846

847

848

849

850

851

852

853

854

855

856

857

858

859

860

861

862

863

864

865

866

867

868

869

870

871

872

873

874

875

876

877

878

879

880

881

882

883

884

885

886

887

888

889

890

891

892

893

894

895

896

897

898

899

900

901

902

903

904

905

906

907

908

909

910

911

912

913

914

915

916

917

918

919

920

921

922

923

924

925

926

927

928

929

930

931

932

933

934

935

936

937

938

939

940

941

942

943

944

945

946

947

948

949

950

951

952

953

954

955

956

957

958

959

960

961

962

963

964

965

966

967

968

969

970

971

972

973

974

975

976

977

978

979

980

981

982

983

984

985

986

987

988

989

990

991

992

993

994

995

996

997

998

999

1000

REV 1

1

2

3

4

5

6

7

8

9

10

11

12

13

14

15

16

17

18

19

20

21

22

23

24

25

26

27

28

29

30

31

32

33

34

35

36

37

38

39

40

41

42

43

44

45

46

47

48

49

50

51

52

53

54

55

56

57

58

59

60

61

62

63

64

65

66

67

68

69

70

71

72

73

74

75

76

77

78

79

80

81

82

83

84

85

86

87

88

89

90

91

92

93

94

95

96

97

98

99

100

101

102

103

104

105

106

107

108

109

110

111

112

113

114

115

116

117

118

119

120

121

122

123

124

125

126

127

128

129

130

131

132

133

134

135

136

137

138

139

140

141

142

143

144

145

146

147

148

149

150

151

152

153

154

155

156

157

158

159

160

161

162

163

164

165

166

167

168

169

170

171

172

173

174

175

176

177

178

179

180

181

182

183

184

185

186

187

188

189

190

191

192

193

194

195

196

197

198

199

200

201

202

203

204

205

206

207

208

209

210

211

212

213

214

215

216

217

218

219

220

221

222

223

224

225

226

227

228

229

230

231

232

233

234

235

236

237

238

239

240

241

242

243

244

245

246

247

248

249

250

251

252

253

254

255

256

257

258

259

260

261

262

263

264

265

266

267

268

269

270

271

272

273

274

275

276

277

278

279

280

281

282

283

284

285

286

287

288

289

290

291

292

293

294

295

296

297

298

299

300

301

302

303

304

305

306

307

308

309

310

311

312

313

314

315

316

317

318

319

320

321

322

323

324

325

326

327

328

329

330

331

332

333

334

335

336

337

338

339

340

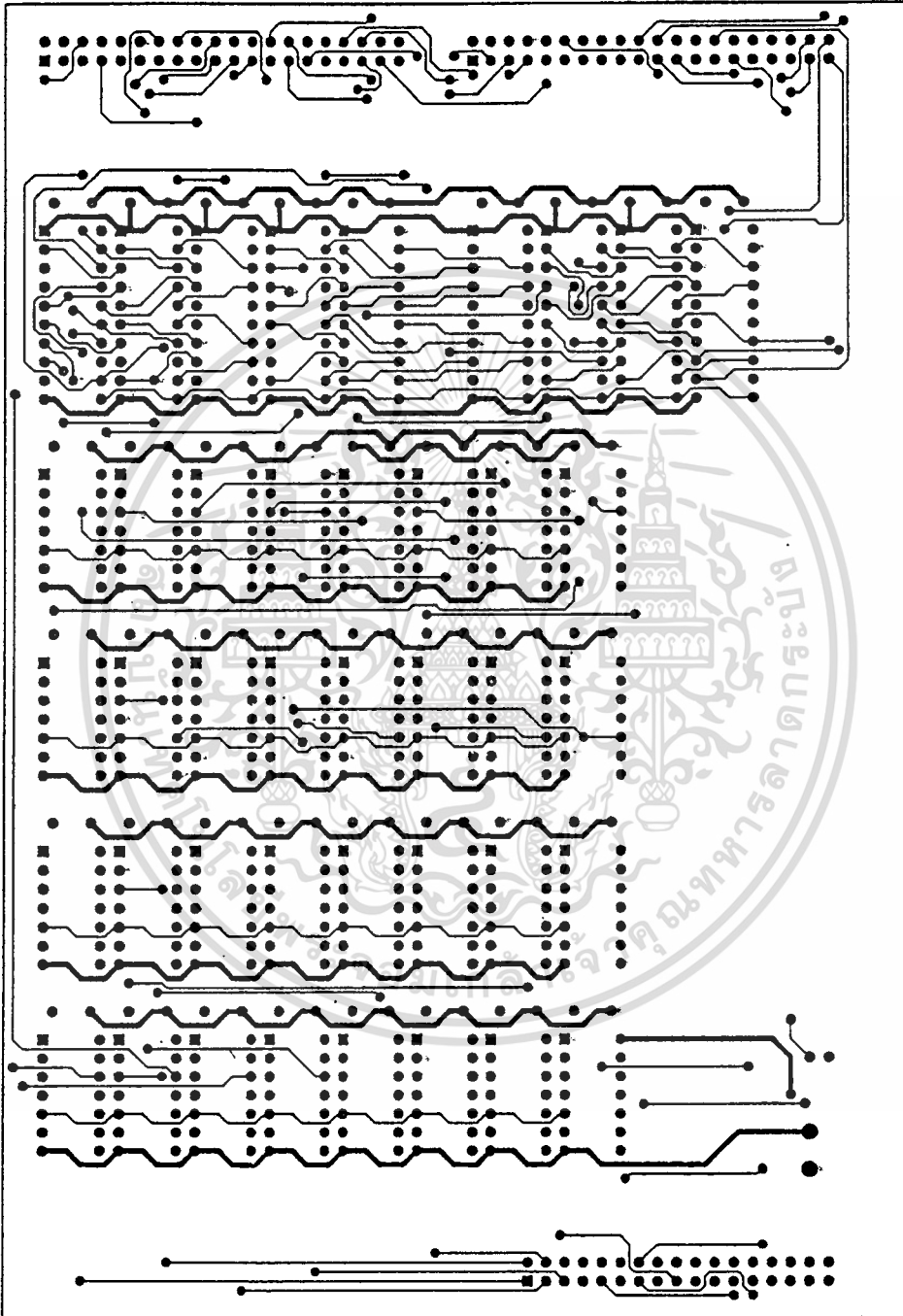
341

342

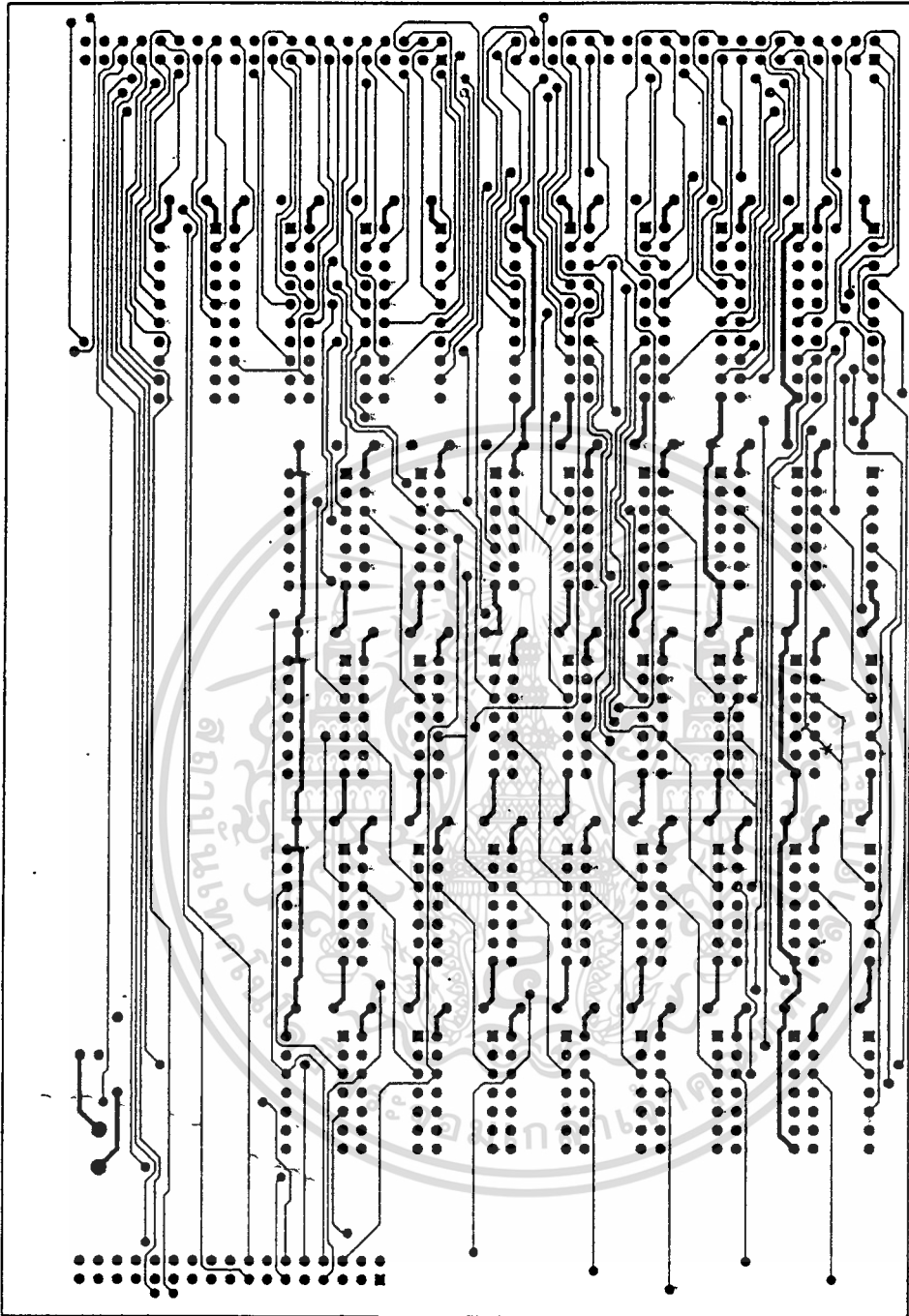
343

344

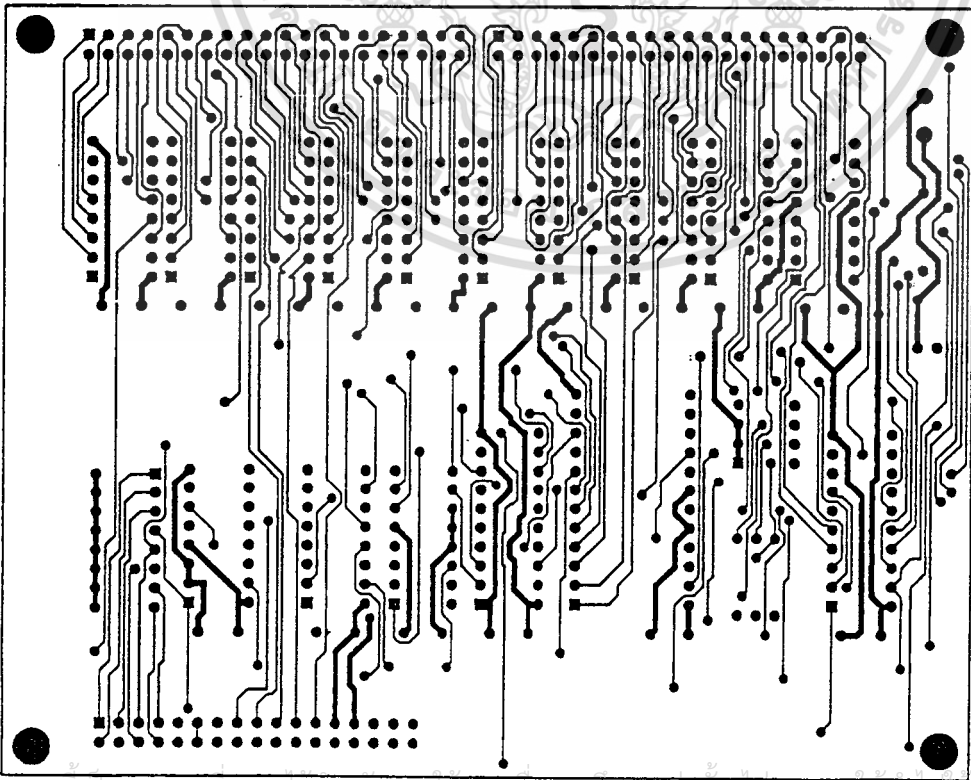
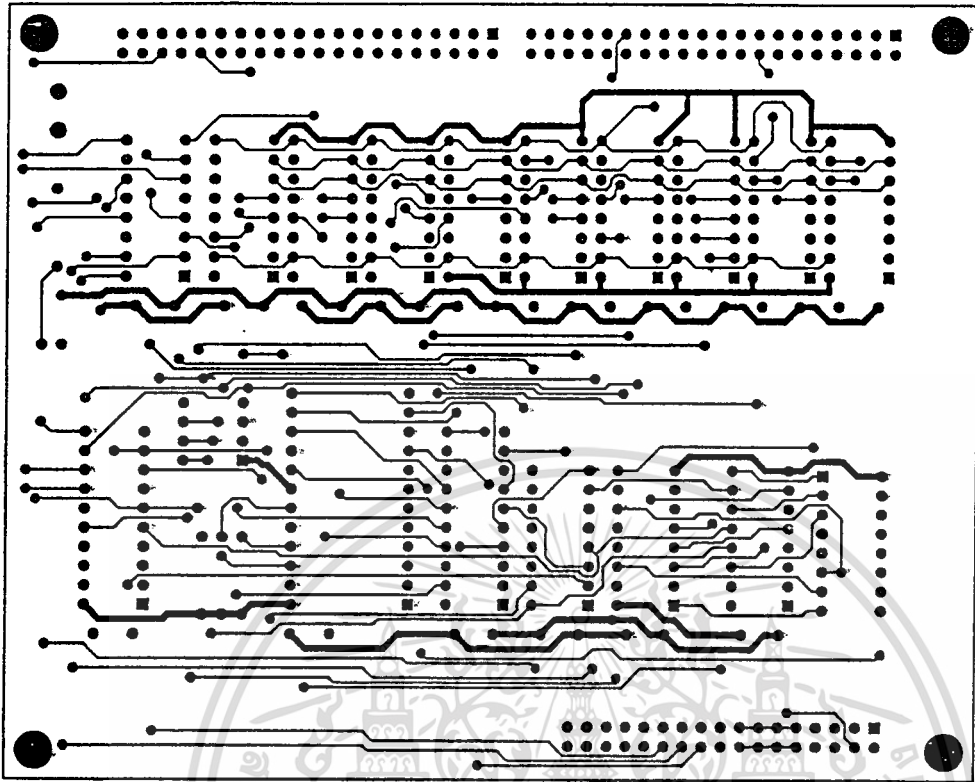
345



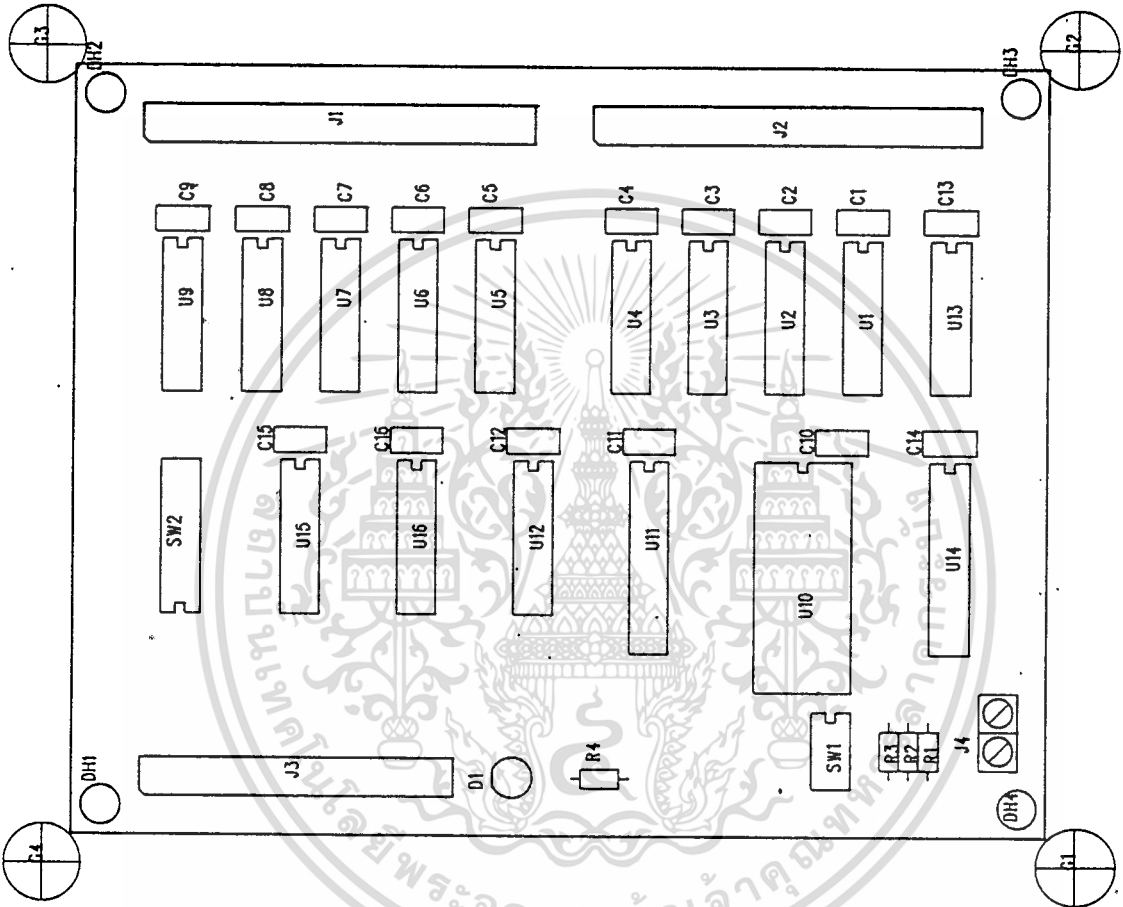
เอกสารนี้เป็นเอกสารที่สงวนไว้สำหรับการใช้งานเพื่อการศึกษาเท่านั้น ไม่อนุญาตให้นำไปใช้ประโยชน์ด้านการค้า
ไม่ว่ากรณีใดก็ตาม อีกทั้งห้ามมิให้ดัดแปลงเนื้อหา และต้องอ้างอิงถึงเจ้าของเอกสารทุกครั้งที่มีการนำไปใช้



เอกสารนี้เป็นเอกสารที่สงวนไว้สำหรับการใช้งานเพื่อการศึกษาเท่านั้น ไม่อนุญาตให้นำไปใช้ประโยชน์ด้านการค้า
ไม่ว่ากรณีใดทั้งสิ้น อีกทั้งห้ามมิให้ดัดแปลงเนื้อหา และต้องอ้างอิงถึงเจ้าของเอกสารทุกครั้งที่มีการนำไปใช้

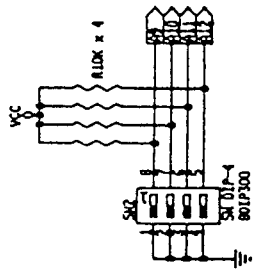
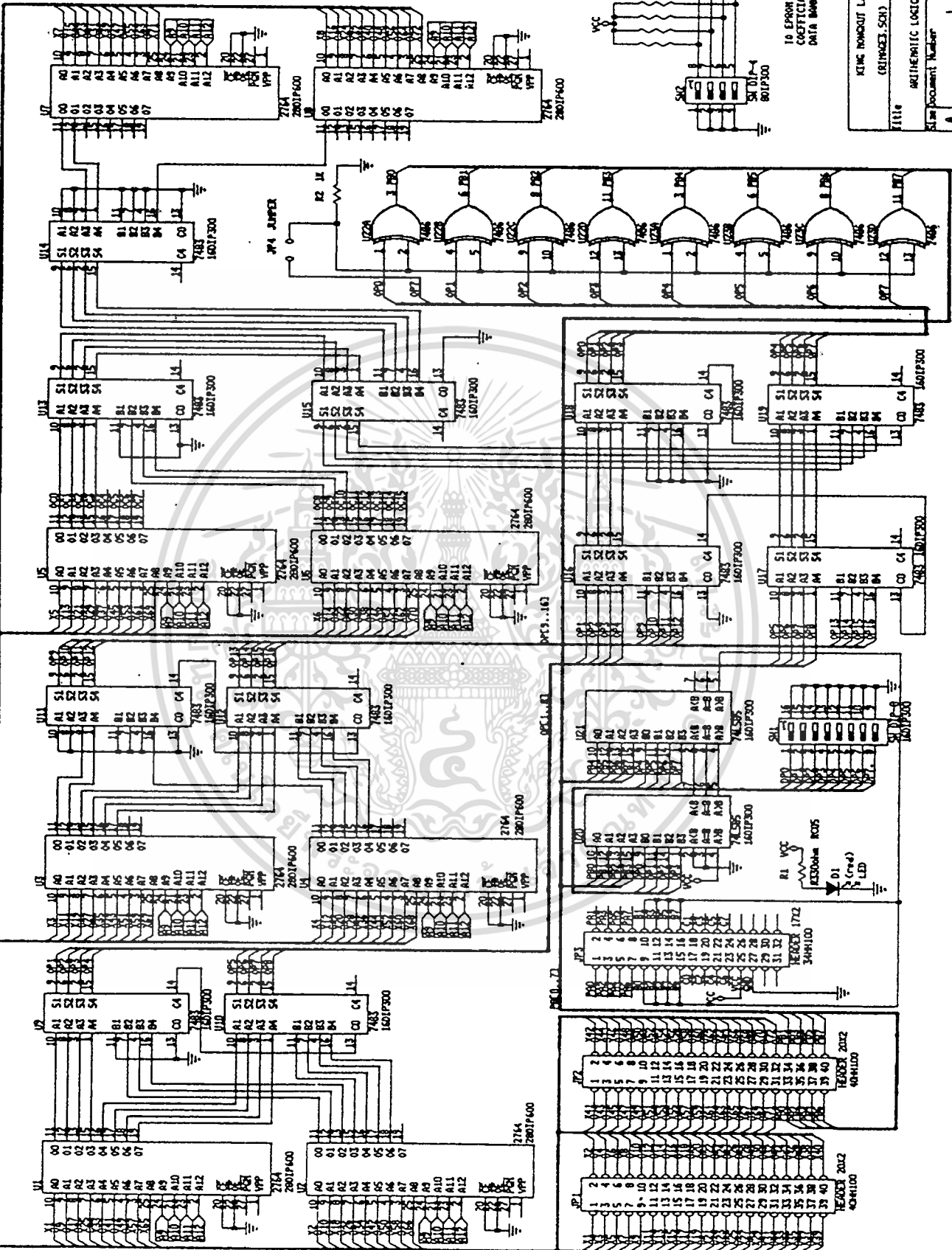


เอกสารนี้เป็นเอกสารทสงวนเวลาสำหรับการใช้งานเพื่อการศึกษาเท่านั้น ไม่อนุญาตให้นำไปเผยแพร่โดยไม่ได้รับอนุญาต
ไม่ว่ากรณีใดๆทั้งสิ้น อีกทั้งห้ามมิให้ดัดแปลงเนื้อหา และต้องอ้างอิงถึงเจ้าของเอกสารทุกครั้งที่มีการนำไปใช้



เอกสารนี้เป็นเอกสารที่สงวนไว้สำหรับการใช้งานเพื่อการศึกษาเท่านั้น ไม่อนุญาตให้นำไปใช้ประโยชน์ด้านการค้า
ไม่ว่ากรณีใดก็ตาม ห้ามนำไปดัดแปลงเนื้อหา และต้องอ้างอิงถึงเจ้าของเอกสารทุกครั้งที่มีการนำไปใช้

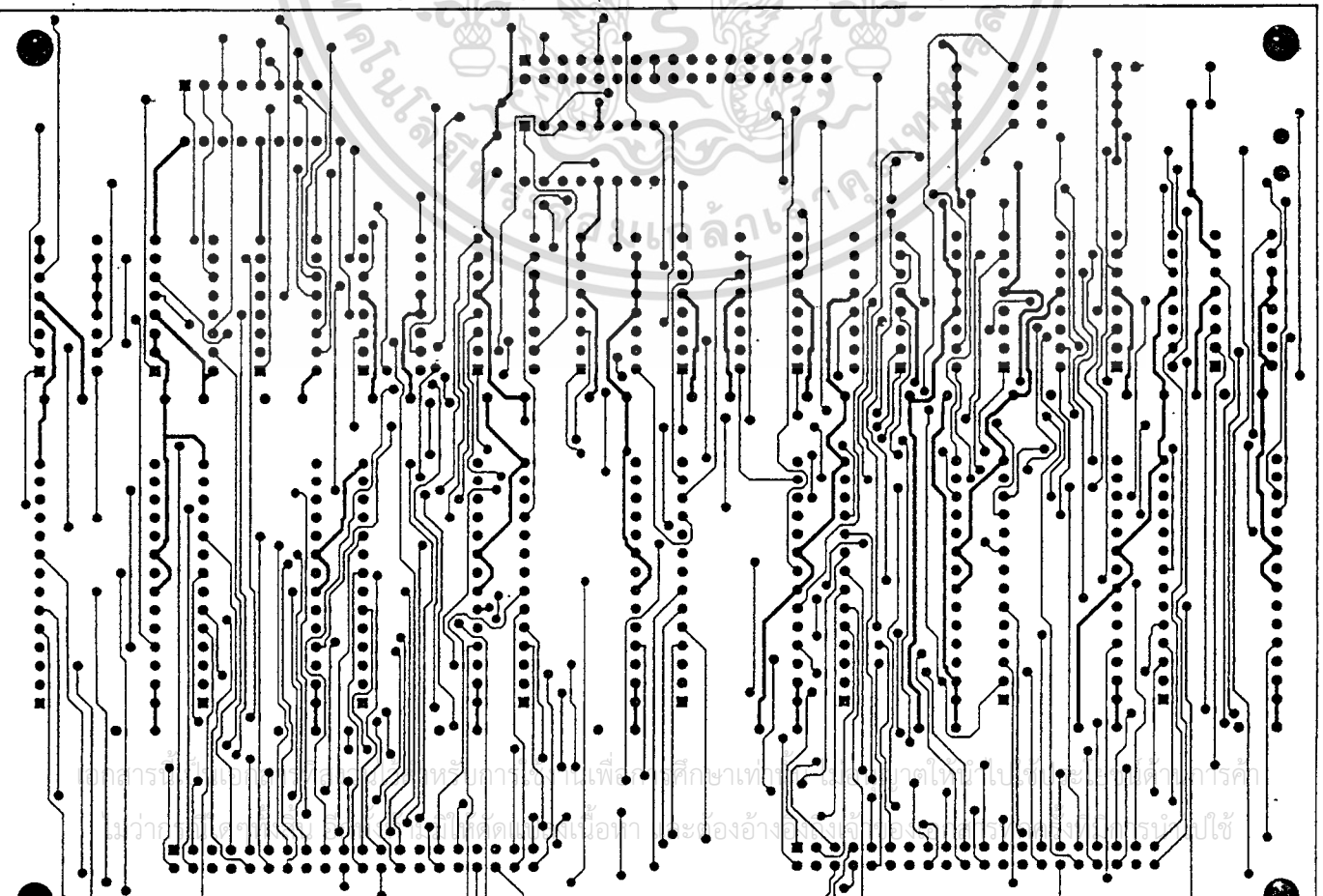
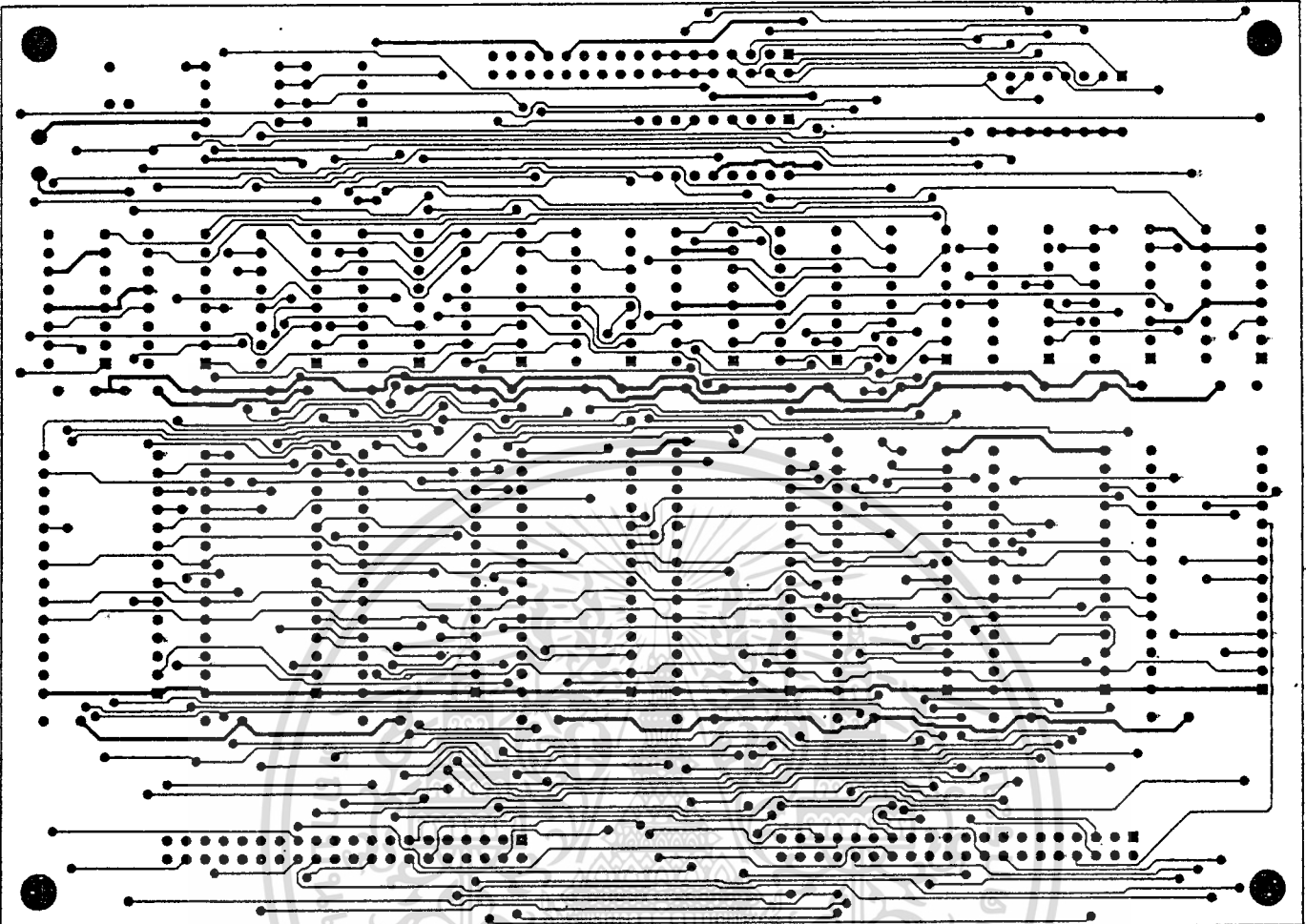
SEL DIP-SW
1
2
3
4
5
6
7
8
9
10
11
12
13
14
15
16



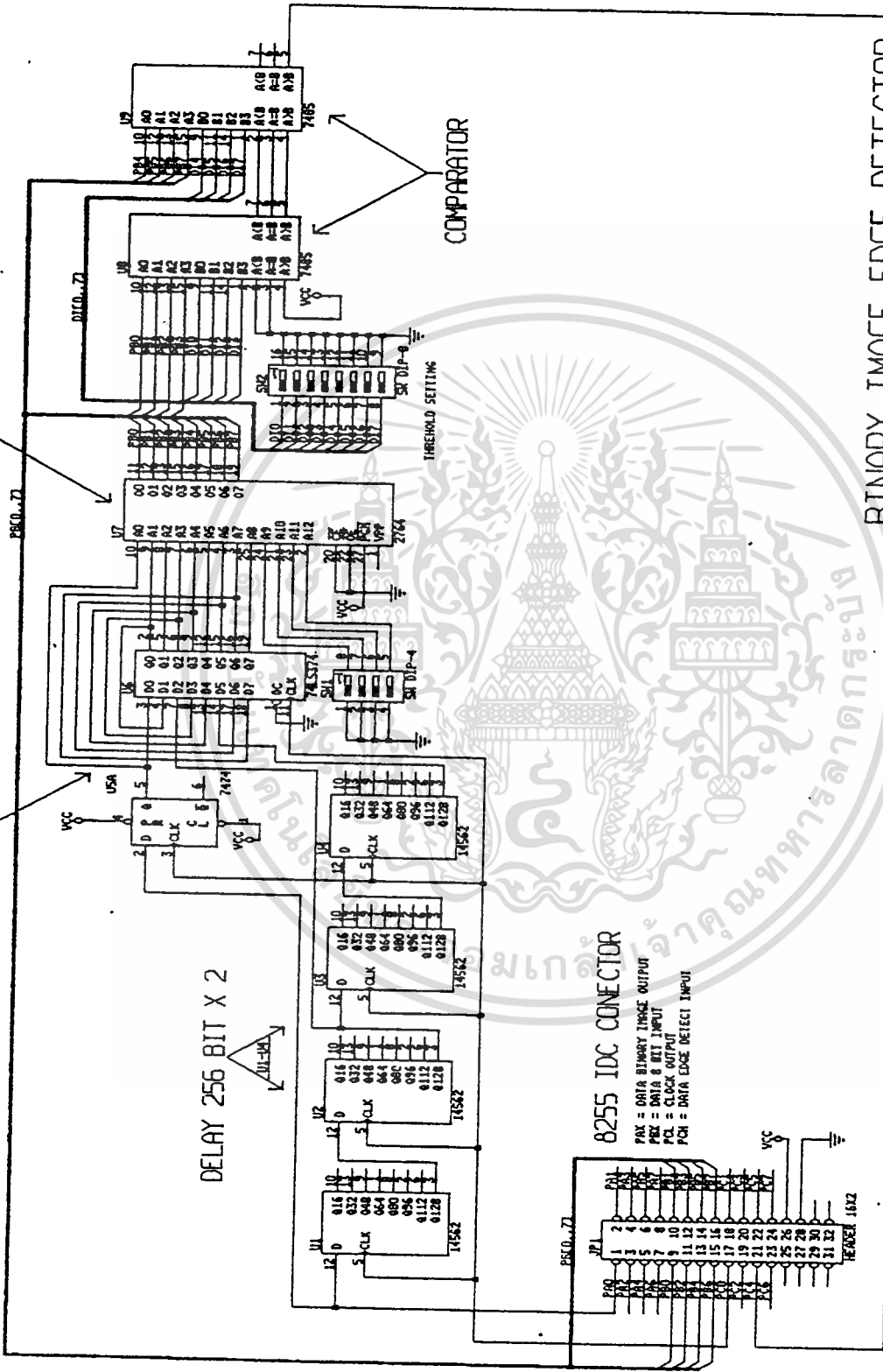
10 EPROM FOR
COEFFICIENT SETTINGS
DATA BANK

Title	KING MOUNT LABORATORY (81MAGEE.SCH)
Drawn	1
Checked	2
Approved	
Revision	

เอกสารนี้เป็นเอกสารที่สงวนไว้สำหรับการใช้งานเพื่อการศึกษาเท่านั้น ไม่อนุญาตให้拿去ไปใช้ประโยชน์ด้านการค้า
ไม่ว่ากรณีใดๆทั้งสิ้น อีกทั้งห้ามมิให้ดัดแปลงเนื้อหา และต้องอ้างอิงถึงเจ้าของเอกสารทุกครั้งที่มีการนำไปใช้



3 BIT SHIFT REGISTER X 3 DISTRIBUTE ARITHMETIC TABLE



BINARY IMAGE EDGE DETECTOR BASE ON LAPLACIAN FILTERING

File	KING WONGT LADYORNG
Site Document Number	BINARY IMAGE EDGE DETECTOR
Date	ED18172.5ch
	1 of 1



เอกสารนี้เป็นเอกสารที่สงวนไว้สำหรับการใช้งานเพื่อการศึกษาเท่านั้น ไม่อนุญาตให้นำไปใช้ประโยชน์ด้านการค้า
ไม่ว่ากรณีใดๆทั้งสิ้น อีกทั้งห้ามมิให้ดัดแปลงเนื้อหา และต้องอ้างอิงถึงเจ้าของเอกสารทุกครั้งที่มีการนำไปใช้

ภาคผนวก



MC14562B

128-BIT STATIC SHIFT REGISTER

The MC14562B is a 128-bit static shift register constructed with MOS P-channel and N-channel enhancement mode devices in a single monolithic structure. Data is clocked in and out of the shift register on the positive edge of the clock input. Data outputs are available every 16 bits, from 16 through bit 128. This complementary MOS shift register is primarily used where low power dissipation and/or high noise immunity is desired.

- Diode Protection on All Inputs
- Noise Immunity = 45% of V_{DD} typical
- Single Supply Operation – Positive or Negative
- Fully Static Operation
- Exceedingly Slow Input Transition Rates May Be Applied to the Clock Input
- 5.6 MHz Operation @ $V_{DD} = 10$ Vdc
- Cascadable to Provide Longer Shift Register Lengths – 1.5 MHz Operation @ $V_{DD} = 10$ Vdc
- Supply Voltage Range = 3.0 Vdc to 18 Vdc
- Capable of Driving Two Low-power TTL Loads, One Low-power Schottky TTL Load or Two HTL Loads Over the Rated Temperature Range

CMOS LSI

(LOW-POWER COMPLEMENTARY MOS)

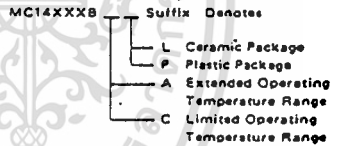
128-BIT STATIC SHIFT REGISTER.



L SUFFIX
CERAMIC PACKAGE
CASE 832

P SUFFIX
PLASTIC PACKAGE
CASE 646

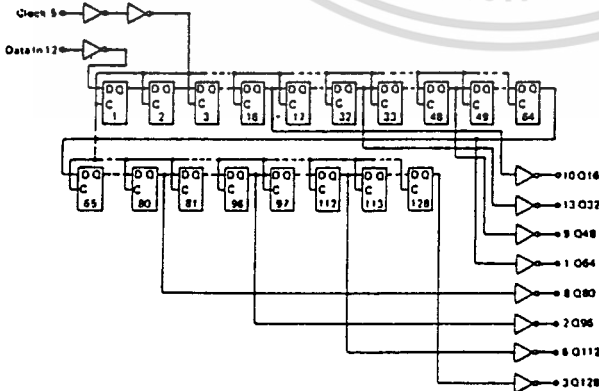
ORDERING INFORMATION



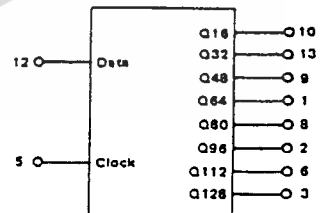
MAXIMUM RATINGS (Voltages referenced to V_{SS})

Rating	Symbol	Value	Unit
DC Supply Voltage	V_{DD}	-0.5 to +18	Vdc
Input Voltage, All Inputs	V_{in}	-0.5 to $V_{DD} + 0.5$	Vdc
DC Current Drain per Pin	I	10	mAdc
Operating Temperature Range – AL Device CL/CP Device	T_A	-55 to +125 -40 to +85	$^{\circ}C$
Storage Temperature Range	T_{stg}	-65 to +150	$^{\circ}C$

LOGIC DIAGRAM



BLOCK DIAGRAM



Pins 4 and 11 not used.

V_{DD} = Pin 14
 V_{SS} = Pin 7

ELECTRICAL CHARACTERISTICS

Characteristic	Symbol	V _{DD} Vdc	T _{low} *		25°C			T _{high} *		Unit	
			Min	Max	Min	Typ	Max	Min	Max		
Output Voltage V _{in} = V _{DD} or 0	V _{OL}	5.0	-	0.05	-	0	0.05	-	0.05	Vdc	
		10	-	0.05	-	0	0.05	-	0.05		
		15	-	0.05	-	0	0.05	-	0.05		
V _{in} = 0 or V _{DD}	V _{OH}	5.0	4.95	-	4.95	5.0	-	4.95	-	Vdc	
		10	9.95	-	9.95	10	-	9.95	-		
		15	14.95	-	14.95	15	-	14.95	-		
Input Voltage [#] (V _O = 4.5 or 0.5 Vdc) (V _O = 9.0 or 1.0 Vdc) (V _O = 13.5 or 1.5 Vdc)	"0" Level	V _{IL}	5.0	-	1.5	-	2.25	1.5	-	1.5	Vdc
			10	-	3.0	-	4.50	3.0	-	3.0	
			15	-	4.0	-	6.75	4.0	-	4.0	
	"1" Level	V _{IH}	5.0	3.5	-	3.5	2.75	-	3.5	-	Vdc
			10	7.0	-	7.0	5.50	-	7.0	-	
			15	11.0	-	11.0	8.25	-	11.0	-	
Output Drive Current (AL Device) (V _{OH} = 2.5 Vdc) (V _{OH} = 4.8 Vdc) (V _{OH} = 9.5 Vdc) (V _{OH} = 13.5 Vdc)	Source	I _{OH}	5.0	-1.2	-	-1.0	-1.7	-	-0.7	-	mA _{dc}
			10	-0.25	-	-0.2	-0.36	-	-0.14	-	
			15	-0.62	-	-0.5	-0.9	-	-0.35	-	
	Sink	I _{OL}	5.0	0.64	-	0.51	0.88	-	0.36	-	mA _{dc}
			10	1.6	-	1.3	2.25	-	0.9	-	
			15	4.2	-	3.4	8.8	-	2.4	-	
Output Drive Current (CL/CP Device) (V _{OH} = 2.5 Vdc) (V _{OH} = 4.8 Vdc) (V _{OH} = 9.5 Vdc) (V _{OH} = 13.5 Vdc)	Source	I _{OH}	5.0	-1.0	-	-0.8	-1.7	-	-0.6	-	mA _{dc}
			10	-0.2	-	-0.16	-0.36	-	-0.12	-	
			15	-0.5	-	-0.4	-0.9	-	-0.3	-	
	Sink	I _{OL}	5.0	0.52	-	0.44	0.88	-	0.36	-	mA _{dc}
			10	1.3	-	1.1	2.25	-	0.9	-	
			15	3.6	-	3.0	8.8	-	2.4	-	
Input Current (AL Device)*	I _{in}	15	-	±0.1	-	±0.00001	±0.1	-	±1.0	μA _{dc}	
Input Current (CL/CP Device)	I _{in}	15	-	±0.3	-	±0.00001	±0.3	-	±1.0	μA _{dc}	
Input Capacitance (V _{in} = 0)	C _{in}	-	-	-	-	5.0	7.5	-	-	pF	
Quiescent Current (AL Device) (Per Package)	I _{DD}	5.0	-	5.0	-	0.010	5.0	-	150	μA _{dc}	
		10	-	10	-	0.020	10	-	300		
		15	-	20	-	0.030	20	-	600		
Quiescent Current (CL/CP Device) (Per Package)	I _{DD}	5.0	-	50	-	0.010	50	-	375	μA _{dc}	
		10	-	100	-	0.020	100	-	750		
		15	-	200	-	0.030	200	-	1500		
Total Supply Current*** (Dynamic plus Quiescent, Per Package) (C _L = 50 pF on all outputs, all buffers switching)	I _T	5.0	I _T = (1.94 μA/kHz) f + I _{DD}						μA _{dc}		
10	I _T = (3.81 μA/kHz) f + I _{DD}										
15	I _T = (5.82 μA/kHz) f + I _{DD}										

*T_{low} = -55°C for AL Device, -40°C for CL/CP Device.
 T_{high} = +125°C for AL Device, +85°C for CL/CP Device.
[#]Noise immunity specified for worst-case input combination.
 Noise Margin for both "1" and "0" level = 1.0 Vdc min @ V_{DD} = 5.0 Vdc
 2.0 Vdc min @ V_{DD} = 10 Vdc
 2.5 Vdc min @ V_{DD} = 15 Vdc

† To calculate total supply current at loads other than 50 pF:
 I_T(C_L) = I_T(50 pF) + 4 × 10⁻³ (C_L - 50) V_{DD}f
 where: I_T is in μA (per package), C_L in pF, V_{DD} in Vdc, and f in kHz is input frequency.

** The formulas given are for the typical characteristics only at 25°C.

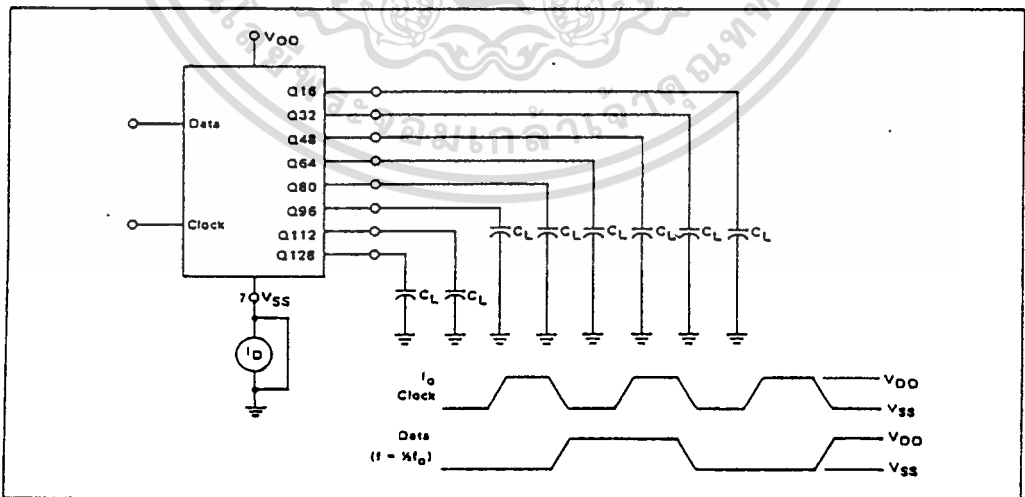
This device contains circuitry to protect the inputs against damage due to high static voltages or electric fields; however, it is advised that normal precautions be taken to avoid application of any voltage higher than maximum rated voltages to this high impedance circuit. For proper operation it is recommended that V_{in} and V_{out} be constrained to the range V_{SS} < (V_{in} or V_{out}) < V_{DD}.
 Unused inputs must always be tied to an appropriate logic voltage level (e.g., either V_{SS} or V_{DD}).

SWITCHING CHARACTERISTICS* (C_L = 50 pF, T_A = 25°C)

Characteristic	Symbol	V _{DD}	Min	Typ	Max	Unit
Output Rise Time t _{TLH} = (3.0 ns/pF) C _L + 30 ns t _{TLH} = (1.5 ns/pF) C _L + 15 ns t _{TLH} = (1.1 ns/pF) C _L + 10 ns	t _{TLH}	5.0 10 15	— — —	180 90 65	360 180 130	ns
Output Fall Time t _{FHL} = (1.5 ns/pF) C _L + 25 ns t _{FHL} = (0.75 ns/pF) C _L + 12.5 ns t _{FHL} = (0.55 ns/pF) C _L + 9.5 ns	t _{FHL}	5.0 10 15	— — —	100 50 40	200 100 80	ns
Propagation Delay Time Clock to Q t _{PLH} , t _{PHL} = (1.7 ns/pF) C _L + 515 ns t _{PLH} , t _{PHL} = (0.66 ns/pF) C _L + 217 ns t _{PLH} , t _{PHL} = (0.5 ns/pF) C _L + 145 ns	t _{PLH} , t _{PHL}	5.0 10 15	— — —	600 250 170	1200 500 340	ns
Clock Pulse Width (50% Duty Cycle)	t _{WH}	5.0 10 15	600 220 150	300 110 75	— — —	ns
Clock Pulse Frequency	f _{cl}	5.0 10 15	— — —	1.9 5.6 8.0	1.1 3.0 4.0	MHz
Data to Clock Setup Time	t _{su(1)} t _{su(0)}	5.0 10 15	-20 -10 0	-170 -64 -60	— — —	ns
Data to Clock Hold Time	t _{h(1)} t _{h(0)}	5.0 10 15	350 165 155	263 109 100	— — —	ns
		5.0 10 15	350 200 140	267 140 93	— — —	ns

*The formula given is for the typical characteristics only.

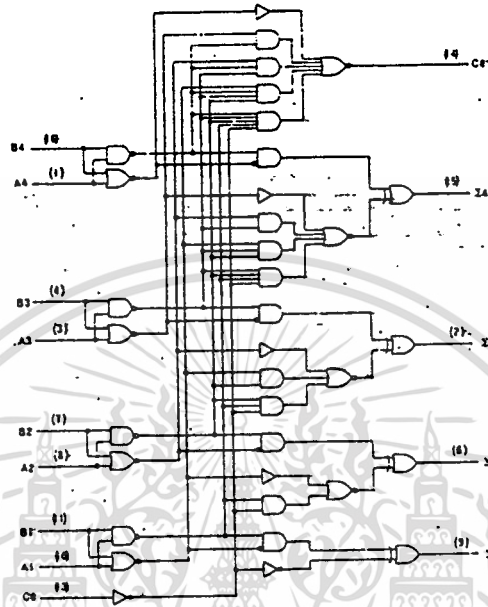
FIGURE 1 – POWER DISSIPATION TEST CIRCUIT AND WAVEFORMS



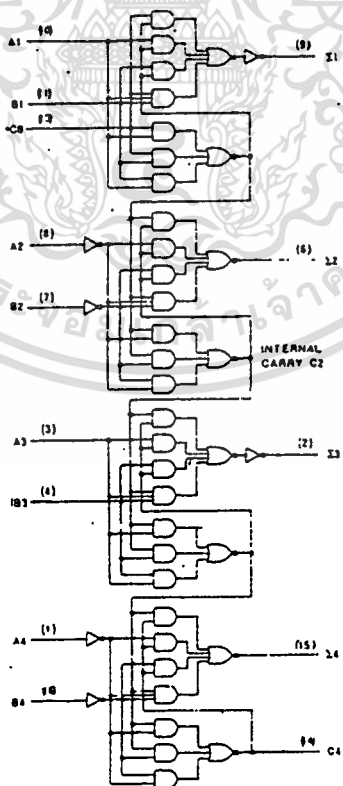
เอกสารนี้เป็นเอกสารที่สงวนไว้สำหรับการใช้งานเพื่อการศึกษาเท่านั้น ไม่อนุญาตให้นำไปใช้ประโยชน์ด้านการค้า
ไม่ว่ากรณีใดๆทั้งสิ้น อีกทั้งห้ามมิให้ดัดแปลงเนื้อหา และต้องอ้างอิงถึงเจ้าของเอกสารทุกครั้งที่มีการนำไปใช้

5483/7483(CONTINUED)

Functional Block Diagrams



7483A 4-BIT BINARY FULL ADDER



74LS83 4-BIT BINARY FULL ADDER

เอกสารนี้เป็นเอกสารที่สงวนไว้สำหรับการใช้งานเพื่อการศึกษาเท่านั้น ไม่อนุญาตให้นำไปใช้ประโยชน์ด้านการค้า
ไม่ว่ากรณีใดทั้งสิ้น อีกทั้งห้ามมิให้ดัดแปลงเนื้อหา และต้องอ้างอิงถึงเจ้าของเอกสารทุกครั้งที่มีการนำไปใช้



F100181 4-Bit Binary/BCD Arithmetic Logic Unit

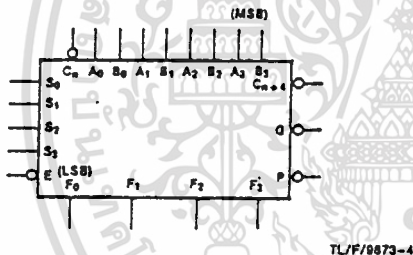
General Description

The F100181 performs eight logic operations and eight arithmetic operations on a pair of 4-bit words. The operating mode is determined by signals applied to the Select (S_n) inputs, as shown in the Function Select table. In addition to performing binary arithmetic, the circuit contains the necessary correction logic to perform BCD addition and subtraction. Output latches are provided to reduce overall package count and increase system operating speed. When the latches are not required, leaving the Enable (\bar{E}) input LOW makes the latches transparent.

The circuit uses internal lookahead carry to minimize delay to the F_n outputs and to the ripple Carry output, \bar{C}_{n+4} . Group Carry Lookahead Propagate (\bar{P}) and Generate (\bar{G}) outputs are also provided, which are independent of the Carry input \bar{C}_n . The \bar{P} output goes LOW when a plus operation produces fifteen (nine for BCD) or when a minus operation produces zero. Similarly, \bar{G} goes LOW when the sum of A and B is greater than fifteen (nine for BCD) in a plus mode, or when their difference is greater than zero in a minus mode. All inputs have 50 k Ω pull-down resistors.

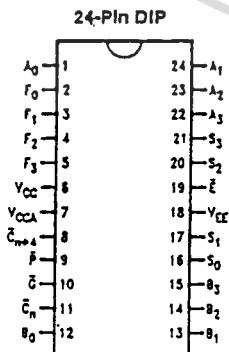
Ordering Code: See Section 8

Logic Symbol

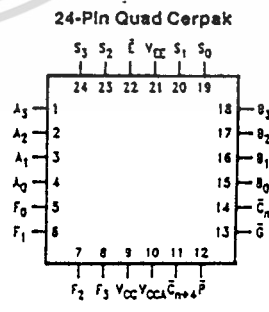


Pin Names	Description
A ₀ -A ₃	Word A Operand Inputs
B ₀ -B ₃	Word B Operand Inputs
C _n	Carry Input (Active LOW)
S ₀ -S ₃	Function Select Inputs
\bar{E}	Latch Enable Input (Active LOW)
\bar{P}	Carry Lookahead Propagate Output (Active LOW)
\bar{G}	Carry Lookahead Generate Output (Active LOW)
C _{n+4}	Carry Output
F ₀ -F ₃	Function Outputs

Connection Diagrams



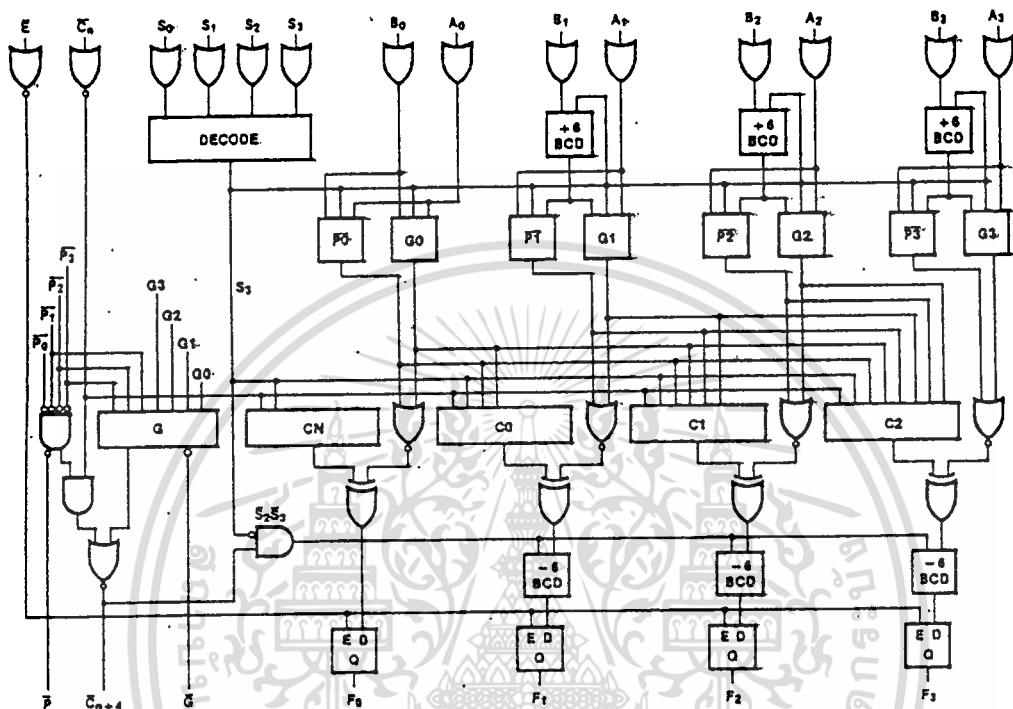
TL/F/9873-1



TL/F/9873-2

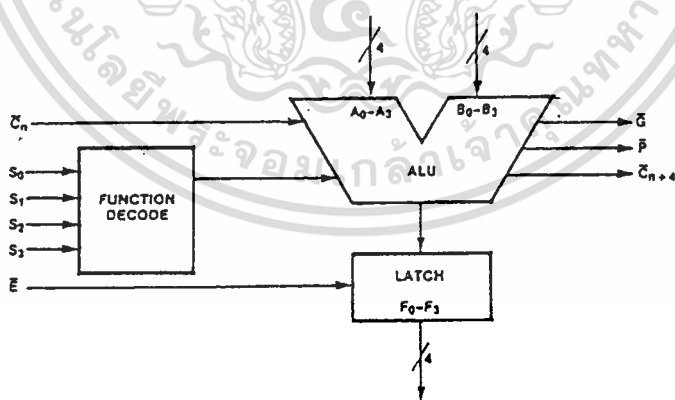
เอกสารนี้เป็นเอกสารที่สงวนไว้สำหรับการใช้งานเพื่อการศึกษาเท่านั้น ไม่อนุญาตให้นำไปใช้ประโยชน์ด้านการค้า
ไม่ว่ากรณีใดทั้งสิ้น อีกทั้งห้ามมิให้ดัดแปลงเนื้อหา และต้องอ้างอิงถึงเจ้าของเอกสารทุกครั้งที่มีการนำไปใช้

Logic Diagram



TL/F/9873-5

Block Diagram



TL/F/9873-6

เอกสารนี้เป็นเอกสารที่สงวนไว้สำหรับการใช้งานเพื่อการศึกษาเท่านั้น ไม่อนุญาตให้นำไปใช้ประโยชน์ด้านการค้า
ไม่ว่ากรณีใดทั้งสิ้น อีกทั้งห้ามมิให้ดัดแปลงเนื้อหา และต้องอ้างอิงถึงเจ้าของเอกสารทุกครั้งที่มีการนำไปใช้

Functional Description

There are two modes of operation: Arithmetic and Logic. The S_3 input controls these two modes:

S_3 = LOW for Arithmetic mode

S_3 = HIGH for Logic mode

The arithmetic mode includes decimal and binary arithmetic operations. S_2 is the control input with S_3 = LOW,

S_2 = LOW for Decimal Arithmetic (BCD)

S_2 = HIGH for Binary Arithmetic

DECIMAL ARITHMETIC OPERATION

Addition

$F = A$ plus B plus C_n . Arguments A and B are directly applied to the inputs. The circuit automatically performs the "+6" and "-6" logic correction internally.

Subtraction

$F = A$ minus B plus C_n . Arguments A and B are directly applied to the inputs. The circuit automatically takes the nines complement of B and adds "+6". A "-6" adjustment is made if the subtraction algorithm calls for it. If there is a carry out, the result is a positive number. With no carry out, the result is a negative number expressed in its nines complement form. Therefore, to perform a subtraction with

results in the tens complement form, an initial carry should be forced into the lowest order bit, i.e., set C_n = LOW.

(tens complement of B) = (nines complement of B) + 1

$F = B$ minus A plus C_n . Operation is similar to and results are the same as $F = A$ minus B plus C_n .

BINARY ARITHMETIC OPERATION

Addition

$F = A$ plus B plus C_n . Arguments A and B are directly applied to the inputs.

Subtraction

$F = A$ minus B plus C_n . Arguments A and B are directly applied to the inputs. The circuit automatically takes the ones complement of B (by inverting B internally). If there is a carry out the result is a positive number. With no carry out, the result is a negative number expressed in its ones complement form. Therefore, to perform a subtraction with results in the twos complement form, an initial carry should be forced into the lowest order bit, i.e., set C_n = LOW.

(twos complement of B) = (ones complement of B) + 1

$F = B$ minus A plus C_n . Operation is similar and results are the same as $F = A$ minus B plus C_n .

Function Table

S_3	S_2	S_1	S_0	F_n Function	Internal Signals		Outputs		
					G_n (n = 0 to 3)	P_n (n = 0 to 3)	C_{n+4}	G_x	P_x
L	L	L	L	$F_n = A$ plus B plus C_n (BCD)	$A_n D_n$	$A_n + D_n$	C_{n+4}	G_x	P_x
L	L	L	H	$F_n = A$ minus B plus C_n (BCD)	$A_n \bar{B}_n$	$A_n + \bar{B}_n$	C_{n+4}	G_x	P_x
L	L	H	L	$F_n = B$ minus A plus C_n (BCD)	$\bar{A}_n B_n$	$\bar{A}_n + B_n$	C_{n+4}	G_x	P_x
L	L	H	H	$F_n = 0$ minus B plus C_n (BCD)	L	\bar{B}_n	C_{n+4}	H	P_x
L	H	L	L	$F_n = A$ plus B plus C_n (Binary)	$A_n B_n$	$A_n + B_n$	C_{n+4}	G_x	P_x
L	H	L	H	$F_n = A$ minus B plus C_n (Binary)	$A_n \bar{B}_n$	$A_n + \bar{B}_n$	C_{n+4}	G_x	P_x
L	H	H	L	$F_n = B$ minus A plus C_n (Binary)	$\bar{A}_n B_n$	$\bar{A}_n + B_n$	C_{n+4}	G_x	P_x
L	H	H	H	$F_n = 0$ minus B plus C_n (Binary)	L	\bar{B}_n	C_{n+4}	H	P_x
H	L	L	L	$F_n = A_n B_n + \bar{A}_n \bar{B}_n$	$A_n B_n$	$A_n + B_n$	C_{n+4}	G_x	P_x
H	L	L	H	$F_n = A_n \bar{B}_n + \bar{A}_n B_n$	$A_n \bar{B}_n$	$A_n + \bar{B}_n$	C_{n+4}	G_x	P_x
H	L	H	L	$F_n = A_n + B_n$	A_n	\bar{B}_n	C_{n+4}	G_x	P_x
H	L	H	H	$F_n = A_n$	A_n	H	C_{n+4}	G_x	L
H	H	L	L	$F_n = \bar{B}_n$	L	B_n	C_{n+4}	H	P_x
H	H	L	H	$F_n = B_n$	L	\bar{B}_n	C_{n+4}	H	P_x
H	H	H	L	$F_n = A_n B_n$	L	$\bar{A}_n + \bar{B}_n$	C_{n+4}	H	P_x
H	H	H	H	$F_n = \text{LOW}$	L	H	C_n	H	L

H = HIGH Voltage Level

L = LOW Voltage Level

$$\bar{P} = \bar{P}_0 + \bar{P}_1 + \bar{P}_2 + \bar{P}_3$$

$$G_x = G_3 + P_3 G_2 + P_3 P_2 G_1 + P_3 P_2 P_1 G_0$$

$$C_{n+4} = G_x \cdot (\bar{P} + C_n)$$

Arithmetic Operations

$$F_n = G_n + \bar{P}_n \cdot C_1 \quad | = 0 \text{ to } 3$$

Logic Operations

$$F_n = G_n + \bar{P}_n$$

Internal Equations for Carry Lookahead

($i = 0, 1, 2, 3$)

$$C_0 = C_n + S_3$$

$$C_1 = G_0 + P_0 C_n + S_3$$

$$C_2 = G_1 + P_1 G_0 + P_1 P_0 C_n + S_3$$

$$C_3 = G_2 + P_2 G_1 + P_2 P_1 G_0 + P_2 P_1 P_0 C_n + S_3$$

Internal Equations for +6 Logic

$$D_0 = B_0$$

$$D_1 = \bar{B}_1$$

$$D_2 = B_1 B_2 + \bar{B}_1 \bar{B}_2$$

$$D_3 = B_1 + B_2 + B_3$$

$$G_x = G_3 P_3 + P_3 G_2 + P_3 P_2 G_1 + P_3 P_2 P_1 G_0$$

Absolute Maximum Ratings

Above which the useful life may be impaired. (Note 1)

If Military/Aerospace specified devices are required, please contact the National Semiconductor Sales Office/Distributors for availability and specifications.

Storage Temperature -65°C to $+150^{\circ}\text{C}$
Maximum Junction Temperature (T_J) $+150^{\circ}\text{C}$

Case Temperature under Bias (T_C) 0°C to $+85^{\circ}\text{C}$
 V_{EE} Pin Potential to Ground Pin -7.0V to $+0.5\text{V}$
Input Voltage (DC) V_{EE} to $+0.5\text{V}$
Output Current (DC Output HIGH) -50mA
Operating Range (Note 2) -5.7V to -4.2V

DC Electrical Characteristics

$V_{EE} = -4.5\text{V}$, $V_{CC} = V_{CCA} = \text{GND}$, $T_C = 0^{\circ}\text{C}$ to $+85^{\circ}\text{C}$ (Note 3)

Symbol	Parameter	Min.	Typ	Max.	Units	Conditions (Note 4)	
V_{OH}	Output HIGH Voltage	-1025	-955	-880	mV	$V_{IN} = V_{IH}$ (Max) or V_{IL} (Min)	Loading with 50Ω to -2.0V
V_{OL}	Output LOW Voltage	-1810	-1705	-1620			
V_{OHC}	Output HIGH Voltage	-1035			mV	$V_{IN} = V_{IH}$ (Min) or V_{IL} (Max)	Loading with 50Ω to -2.0V
V_{OLC}	Output LOW Voltage			-1610			
V_{IH}	Input HIGH Voltage	-1165		-880	mV	Guaranteed HIGH Signal for All Inputs	
V_{IL}	Input LOW Voltage	-1810		-1475	mV	Guaranteed LOW Signal for All Inputs	
I_{IL}	Input LOW Current	0.50			μA	$V_{IN} = V_{IL}$ (Min)	

DC Electrical Characteristics

$V_{EE} = -4.2\text{V}$, $V_{CC} = V_{CCA} = \text{GND}$, $T_C = 0^{\circ}\text{C}$ to $+85^{\circ}\text{C}$ (Note 3)

Symbol	Parameter	Min	Typ	Max	Units	Conditions (Note 4)	
V_{OH}	Output HIGH Voltage	-1020		-870	mV	$V_{IN} = V_{IH}$ (Max) or V_{IL} (Min)	Loading with 50Ω to -2.0V
V_{OL}	Output LOW Voltage	-1810		-1605			
V_{OHC}	Output HIGH Voltage	-1030			mV	$V_{IN} = V_{IH}$ (Min) or V_{IL} (Max)	Loading with 50Ω to -2.0V
V_{OLC}	Output LOW Voltage			-1595			
V_{IH}	Input HIGH Voltage	-1150		-870	mV	Guaranteed HIGH Signal for All Inputs	
V_{IL}	Input LOW Voltage	-1810		-1475	mV	Guaranteed LOW Signal for All Inputs	
I_{IL}	Input LOW Current	0.50			μA	$V_{IN} = V_{IL}$ (Min)	

DC Electrical Characteristics

$V_{EE} = -4.8\text{V}$, $V_{CC} = V_{CCA} = \text{GND}$, $T_C = 0^{\circ}\text{C}$ to $+85^{\circ}\text{C}$ (Note 3)

Symbol	Parameter	Min	Typ	Max	Units	Conditions (Note 4)	
V_{OH}	Output HIGH Voltage	-1035		-880	mV	$V_{IN} = V_{IH}$ (Max) or V_{IL} (Min)	Loading with 50Ω to -2.0V
V_{OL}	Output LOW Voltage	-1830		-1620			
V_{OHC}	Output HIGH Voltage	-1045			mV	$V_{IN} = V_{IH}$ (Min) or V_{IL} (Max)	Loading with 50Ω to -2.0V
V_{OLC}	Output LOW Voltage			-1610			
V_{IH}	Input HIGH Voltage	-1165		-880	mV	Guaranteed HIGH Signal for All Inputs	
V_{IL}	Input LOW Voltage	-1830		-1490	mV	Guaranteed LOW Signal for All Inputs	
I_{IL}	Input LOW Current	0.50			μA	$V_{IN} = V_{IL}$ (Min)	

Note 1: Absolute maximum ratings are those values beyond which the device may be damaged or have its useful life impaired. Functional operation under these conditions is not implied.

Note 2: Parametric values specified at -4.2V to -4.8V .

Note 3: The specified limits represent the "worst case" value for the parameter. Since these "worst case" values normally occur at the temperature extremes, additional noise immunity and guard banding can be achieved by decreasing the allowable system operating ranges.

Note 4: Conditions for testing shown in the tables are chosen to guarantee operation under "worst case" conditions.

DC Electrical Characteristics $V_{EE} = -4.2V$ to $-4.8V$ unless otherwise specified, $V_{CC} = V_{CCA} = GND$, $T_C = 0^\circ C$ to $+85^\circ C$

Symbol	Parameter	Min	Typ	Max	Units	Conditions
I_{IH}	Input HIGH Current S_n, \bar{E} All Others			350 250	μA	$V_{IN} = V_{IH (Max)}$
I_{EE}	Power Supply Current	-300	-210	-130	mA	Inputs Open

Ceramic Dual-In-Line Package AC Electrical Characteristics $V_{EE} = -4.2V$ to $-4.8V$, $V_{CC} = V_{CCA} = GND$

Symbol	Parameter	$T_C = 0^\circ C$		$T_C = +25^\circ C$		$T_C = +85^\circ C$		Units	Conditions
		Min	Max	Min	Max	Min	Max		
t_{PLH} t_{PHL}	Propagation Delay A_n, B_n to F_n	2.00	6.90	2.10	6.80	2.30	7.40	ns	Figures 1 and 2.
t_{PLH} t_{PHL}	Propagation Delay A_n, B_n to \bar{F}, \bar{G}	1.40	4.70	1.40	4.40	1.40	4.70	ns	
t_{PLH} t_{PHL}	Propagation Delay A_n, B_n to \bar{C}_{n+4}	2.00	6.50	2.00	6.50	2.10	6.80	ns	
t_{PLH} t_{PHL}	Propagation Delay \bar{C}_n to F_n	1.60	5.10	1.60	5.20	1.60	5.50	ns	Figures 1 and 2
t_{PLH} t_{PHL}	Propagation Delay \bar{C}_n to \bar{C}_{n+4}	1.30	3.00	1.40	3.00	1.40	3.10	ns	
t_{PLH} t_{PHL}	Propagation Delay S_n to F_n	1.40	8.80	1.50	8.60	1.50	9.00	ns	
t_{PLH} t_{PHL}	Propagation Delay S_n to \bar{F}, \bar{G}	1.70	7.40	2.00	5.90	2.00	6.50	ns	Figures 1 and 2
t_{PLH} t_{PHL}	Propagation Delay S_n to \bar{C}_{n+4}	2.70	10.10	2.80	8.50	2.90	8.70	ns	
t_{PLH} t_{PHL}	Propagation Delay \bar{E} to F_n	1.00	3.40	0.90	3.60	1.10	3.80	ns	Figures 1 and 2
t_{TLH} t_{THL}	Transition Time 20% to 80%, 80% to 20%	0.45	2.70	0.45	2.60	0.45	2.70	ns	Figures 1 and 2
t_s	Setup Time A_n, B_n S_n \bar{C}_n	7.60 8.70 4.80		7.60 8.50 5.00		8.10 9.60 5.30		ns	Figure 3
t_h	Hold Time A_n, B_n S_n \bar{C}_n	0.10 0.60 0.60		0.10 0.60 0.60		0.10 0.60 0.60		ns	
$t_{pw(L)}$	Pulse Width LOW \bar{E}	2.00		2.00		2.00		ns	Figure 2

เอกสารนี้เป็นเอกสารที่สงวนไว้สำหรับการใช้งานเพื่อการศึกษาเท่านั้น ไม่อนุญาตให้นำไปใช้ประโยชน์ด้านการค้า
ไม่ว่ากรณีใดทั้งสิ้น อีกทั้งห้ามมิให้ดัดแปลงเนื้อหา และต้องอ้างอิงถึงเจ้าของเอกสารทุกครั้งที่มีการนำไปใช้

ประวัติผู้เขียน

ชื่อผู้เขียน	นายสมจินต์ ทองปลิว
วันเดือนปีเกิด	23 กันยายน พ.ศ. 2512
สถานที่เกิด	จังหวัดกรุงเทพฯ
วุฒิการศึกษาระดับปริญญาตรี	อุตสาหกรรมศาสตรบัณฑิต สาขาวัดและควบคุมทาง อุตสาหกรรม
สถานที่สำเร็จการศึกษา	สถาบันเทคโนโลยีพระจอมเกล้าเจ้าคุณทหาร ลาดกระบัง
ปีที่สำเร็จการศึกษา	ปีการศึกษา 2534
ผลงานทางวิชาการที่ได้รับการตีพิมพ์	เรื่องการสร้างวงจรของสัญญาณเชิงเลขสองมิติ โดย Distributed Arithmetics. วิศวกรรมลาดกระบัง
ประสบการณ์การทำงาน	วิศวกร บริษัท อีริคสัน ประเทศไทย จำกัด หัวหน้าแผนกวิศวกรรม บริษัท ฮาซาสี อินสทรูเมนท์ ประเทศไทย จำกัด
อาชีพปัจจุบัน	ผู้จัดการ บริษัท ที. เทค เอ็นจิเนียริง จำกัด

เอกสารนี้เป็นเอกสารที่สงวนไว้สำหรับการใช้งานเพื่อการศึกษาเท่านั้น ไม่อนุญาตให้นำไปใช้ประโยชน์ด้านการค้า
ไม่ว่ากรณีใดทั้งสิ้น อีกทั้งห้ามมิให้ดัดแปลงเนื้อหา และต้องอ้างอิงถึงเจ้าของเอกสารทุกครั้งที่มีการนำไปใช้